

الجمهورية الجزائرية الديمقراطية الشعبية
REPUBLIQUE ALGERIENNE DEMOCRATIQUE ET POPULAIRE

30/86

وزارة التعليم والبحث العلمي
MINISTERE DE L'ENSEIGNEMENT ET DE LA RECHERCHE SCIENTIFIQUE

26X

ECOLE NATIONALE POLYTECHNIQUE



DEPARTEMENT GENIE HYDRAULIQUE

PROJET DE FIN D'ETUDES

(En vue de l'obtention du Diplôme d'Ingénieur d'Etat)

SUJET

CALCUL TECHNIQUE D'UN CHATEAU D'EAU CYLINDRIQUE DE 2000 M³

5 PLANCHES

Proposé par :

Pr. FARKAS

Etudié par :

A. HADJAM
A. BOUHALI

Dirigé par :

Pr. FARKAS

PROMOTION : JUIN 1986

الجمهورية الجزائرية الديمقراطية الشعبية

REPUBLIQUE ALGERIENNE DEMOCRATIQUE ET POPULAIRE

« * »

وزارة التعليم والبحث العلمي

MINISTERE DE L'ENSEIGNEMENT ET DE LA RECHERCHE SCIENTIFIQUE

« * »

ECOLE NATIONALE POLYTECHNIQUE

المدرسة الوطنية المتعددة التقنيات

BIBLIOTHEQUE

المكتبة

Ecole Nationale Polytechnique

DEPARTEMENT GENIE HYDRAULIQUE

PROJET DE FIN D'ETUDES

(En vue de l'obtention du Diplôme d'Ingénieur d'Etat)

SUJET

CALCUL TECHNIQUE D'UN CHATEAU D'EAU CYLINDRIQUE DE 2000 M³

Proposé par :

Pr. FARKAS

Etudié par :

A. HADJAM
A. BOUHALI

Dirigé par :

Pr. FARKAS

PROMOTION : JUIN 1986

- **REMERCIEMENTS** -

المدرسة الوطنية المتعددة التقنيات
BIBLIOTHEQUE —
المكتبة —
Ecole Nationale Polytechnique

Nous tenons à exprimer notre profonde gratitude à notre promoteur M^E FARKAS , pour ces conseils à chacune de nos entrevues.

Nos remerciements à tous les professeurs et assistants qui ont rempli la Noble tâche de nous former et plus particulièrement à Monsieur A.KETTAB , notre chef de département.

Nous tenons par ailleurs à remercier vivement tous ceux qui ont contribué par leur aide à la réalisation de ce projet et notamment M^E DAREM .M.

- DEDICACES -

المدرسة الوطنية المتعددة التقنيات
BIBLIOTHEQUE — المكتبة
Ecole Nationale Polytechnique

Je dédie cet humble et modeste travail :

- A la mémoire de ma mère, et de ma femme dont je garde l'amour impérissable
- A la mémoire de mon père dont je garde l'image éternelle de la grandeur d'Ame
- A tous mes frères et soeurs qui n'ont ménagé aucun effort pour me voir réussir
- A toute ma famille
- A ceux qui m'ont aidé et assisté dans le besoin
- A tous mes amis

A. BOUHALI

Je dédie ce modeste ouvrage en signe de respect et de reconnaissance à :

- la mémoire de mon père pour son soutien moral et matériel.
- ma mère qui n'a ménagé aucun effort pour que je puisse être un homme
- mon frère, pour son aide et son encouragement à mon égard.
- toute ma famille (frères, soeurs, beaux-frères, belles-sœurs)
- tous ceux qui m'ont aidé de loin ou de près pour l'élaboration de ce projet
- ma future épouse

A. HADJAM

عنوان: ... HYDRAULIQUE ...
العنوان: ... M. FARKAS
المهندس: A. HADJAM
A. BOUMALI

دراسة تقنية لخزان مائي مرتفع

تستغرق هذه الدراسة والتي تحدد مساحة الاحتياجات المائية لسكنى مستقبلية وعلى المدى البعيد ، كما تعتمد هذه الدراسة على تقييم ال الكميات الكافية من الحديد المستعملة في الامتداد (المسلح بكل جزء من الأجزاء المكونة لهذا الخزان الكبير الذي تقدر حمولته بـ 2000 m^3 والذي ينبعو على
جهاز متساوي الحجم على شكل حلقات

عنوان: CALCUL TECHNIQUE D'UN CHATEAU D'EAU
المحتوى: L'étude repose sur l'identification des besoins en eau potable à un horizon futur.
Comme elle consiste au calcul des différentes parties de l'ouvrage ainsi qu'en calcul des aciers de ferrailage nécessaires pour tout élément de ce dernier.
La cuve de ce grand réservoir est constituée de deux (2) bagages annulaires de capacité 1000 m^3 chacune.

الموضوع: TECHNICAL STUDY OF A "WATER STORE"

المحتوى: The study consist of the calculation of the different parts of the project and the computation of the steels necessary for each élément needed.

The "cure" of this big water store is formed of two 1000 m^3 annular compartments.

- SOMMAIRE -

المدرسة الوطنية المتعددة التقنيات
BIBLIOTHEQUE — المكتبة
Ecole Nationale Polytechnique

<u>Chapitre I</u>	" Généralités "	page
I-1	Introduction	1
I-2	Situation géographique	4
I-3	Estimation du nombre d'habitant à l'horizon 2000	5
<u>Chapitre II</u>	" Evaluation des besoins en eau "	
II-1	Estimation des besoins à l'horizon 2000	6
II-2	Calcul des consommations journalières maximales et débit de pointe	8
II-3	Etude comparatif des ressources en eau	9
<u>Chapitre III</u>	" Distribution "	
III-1	Détermination de la capacité du réservoir	10
III-2	Calcul du réseau maillé : Distribution	10
III-3	Dimensionnement de la cuve	16
III-4	Altitude et emplacement du chateau d'eau	17
<u>Chapitre IV</u>	" Etude Genie - civil du chateau d'eau "	
IV-1	Présentation de l'ouvrage	19
IV-2	Caractéristiques des matériaux	20
IV-3	Calcul des éléments de la cuve	27
IV-4	Détermination de la période propre de vibration	44
IV-5	Etude du vent	46
IV-6	Etude seismique	51
IV-7	Etude hydrodynamique	55
IV-8	Calcul de la tour	61
IV-9	Fondation	73
- Conclusion générale		75
Annexes(I et II)		76

المدرسة الوطنية المتعددة التقنيات
المكتبة —
BIBLIOTHEQUE —
Ecole Nationale Polytechnique

CHAP. I

GENERALITES

I-1- Introduction

1- Présentation de l'ouvrage

L'ouvrage qui nous a été proposé consiste à l'étude et au calcul technique d'un château d'eau de 2000 m^3 , répondant aux besoins de la ville de St Cloud ($P = 24000$ habitant). La hauteur totale comptée du sol $H_t = 44,69 \text{ m}$.

La tour est constituée d'un voile circulaire d'épaisseur 35 cm , surmontée d'une cuve circulaire d'épaisseur constante $e = 0,18 \text{ m}$.

Le matériaux utilisé : Béton armé

Taux de travail du sol : 3,5 bars

2- Description du château d'eau

Le réservoir (cuve) est de type circulaire, constitué de deux loges annulaires de capacité 1000 m^3 chacune, reposant sur la tour (fût) cylindrique. A partir d'une porte métallique placée au pied du fût, l'accès au réservoir se fera par une série d'echelles métalliques séparées par des paliers de repos en béton armé situés à l'intérieur du fût.

3- Importance du château d'eau

En raison de son emplacement, le château d'eau est un élément important, ces constructions étant classé comme ouvrage d'art. Le souci esthétique doit être primordial car il est devenu un point capital, une telle construction devant être absolument un oeuvre d'art.

4- Rôle d'un réservoir d'eau

a) Le réservoir a essentiellement pour but de servir de régulateur aux variations de la consommation pendant la période où la consommation exède la production, il se vide par contre il se remplit aux heures creuses où la consommation est inférieure

à la production

b/- Le réservoir doit aussi permettre lorsque les eaux sont élevées par pompage de faire face sans suspendre complètement le service à une interruption imprévue des installations de refoulement ou même de provoquer volontairement leur arrêt pour effectuer des répartitions indispensables.

c/- Le réservoir doit enfin en tous temps, une réserve suffisante pour faire face aux besoins instantanés très importants des services chargés de la lutte contre l'incendie.

5- Règles imposées par l'exploitation et l'entretien

Il faut généralement prévoir outre les vidanges et les trop-pleins un court-circuitage du réservoir afin de prévoir la mise hors service de l'ensemble de l'ouvrage en cas d'avarie grave. Cette précaution sera prise si l'on a eu besoin de prévoir une liaison directe de la conduite de départ.

6- classification des réservoirs

Les réservoirs peuvent être classés en fonction de critères différents suivants :

a/- selon la position par rapport au sol

- Au niveau du sol (ou semi-enterré)
- Sur poteaux
- sur pylônes (ou tours)
- Sur bâtiment

b/- Selon la forme de la cuve

- Réservoir carré
- Réservoir rectangulaire
- Réservoir circulaire
- Réservoir de forme quelconque

c/- Selon la nature du liquide à conserver

- Réservoir à eau

- cuve à vins, bières, cidres, etc....
- citernes à produits noirs (goudron, bitume)
- Réservoirs à hydro-carbures (pétrol, essence, gaz-oil, huiles minérales)

d) - selon leurs fonctions

- Réservoirs d'émagasinement quand il s'agit seulement de liquides divers.
- Bassin de traitement (pour épuration des eaux usées, le malaxage des produits, etc.)
- Bassin sportif (piscines, etc....).
- Cuve à gazomètre

e) - selon le volume (capacité)

- grand réservoir
- réservoir moyen
- petit réservoir

Du point de vue de la construction proprement dite, les notions prédominantes sont : le volume et l'élevation.

7- Maintien de la qualité de l'eau dans le réservoir

Il est impératif de prévoir au niveau de la cuve une aération qui permettra de changer l'air en contact avec l'eau.

En effet la stagnation de l'eau dans le réservoir au delà de quelques jours sans aération, risque de modifier ses qualités et sa température et de la rendre désagréable ou même impropre à la consommation (fonction de micro-organismes ou même algues).

Moyens d'épêcher le développement des micro-organismes:

on peut agir dans deux directions :

- Empêcher les organismes de trouver des conditions physiques de vie où ils profitent.
- Tanir leurs ressources alimentaires .

c'est ainsi qu'on doit maintenir un taux de chlore résiduel élevé, notamment par utilisation de "PEROXYDE DE CHLORE", utiliser le charbon actif pour absorber les composés complexes ozonés.

Substituer le sulfate d'Alumine ou Chlorure Ferrique comme coagulant, Assurer une circulation de l'eau de façon à ce que la vitesse soit toujours notable et enfin couvrir le réservoir pour le mettre à l'abri de la lumière et à éviter le maximum l'échauffement de l'eau. Les parois de la cuve devront être parfaitement étanches.

I-2- Situation de la ville

a/- Situation Géographique

La ville de ST.CLOUD se situe en bordure de la route nationale N°11 à 27 km à l'Est d'ORAN et 25 km à l'Ouest d'ARZEW.

b/- Situation Topographique

Le centre de ST.CLOUD est caractérisé par une pente douce et régulière qui varie de la côte 130 m et la côte 170 m sur une longueur de 1500 m d'où une pente moyenne de 2,67 % .

c/- Situation climatique

L'aspect climatique de la région de ST.CLOUD se caractérise par un climat méditerranien, d'où un hiver plus ou moins froid et un été chaud, ainsi on assiste à :

- Une saison pluvieuse d'Octobre à Avril , les pluies sont inégalement réparties dans cette saison . La pluviométrie est de l'ordre de 320 mm à 660 mm . La température moyenne oscille généralement pendant cette saison autour de 14 °C avec une température minimale pouvant atteindre jusqu'à 8 °C.

- Une saison chaude de juin à septembre avec une température qui varie entre 19 °C et 32 °C.

I-3 - Estimation du nombre d'habitants

A l'horizon 2000 l'évolution démographique dans notre pays suit la loi des accroissements géométriques donné par la relation des intérêts composés

$$N = N_0 (1 + r)^n$$

avec

N : population future à l'horizon voulue (horizon l'an 2000 de moyen terme)

N_0 : population à l'année de référence ($N_0 = 9000$ Hab. en 1975)

r : taux d'accroissement annuel de la population (4%)

n : nombre d'années séparant les deux horizons. ($n = 35$)

d'où

$$N = 9000 (1 + 0,04)^{35} \simeq 24000 \text{ Hab.}$$

CHAP. II

EVALUATION DES

BESOINS EN EAU

II-1 Estimation des besoins en eau potable à l'horizon 2000

- Besoins domestiques

Nombre d'habitant	Dotation	Consommation m^3/j
24 000	250 $\ell/j/hab$	6000

Besoins scolaires

Dénomination	Nombre ou surface en m^3	Dotation (ℓ/j)	Consommation (m^3/j)
03 écoles existantes	2.800	30	84
02 écoles projetées	1.200	30	36
02 C.E.M	590	50	29,5
03 C.E.M projetés	860	50	43
01 lycée projeté	600	50	20

- Besoins sanitaires

$222,5 \text{ m}^3/j$

Dénomination	Nombre	Dotation $\ell/j/une unité$	Consommation (m^3/j)
01 centre de santé	100 pass/j	50	5
02 Bains	270 per/j	50	7

- Besoins Socio- culturel

$12 \text{ m}^3/j$

Dénomination	Nombre	dotation $\ell/j/unité$	Consommation (m^3/j)
02 Mosquées	2x 150	20	6
01 Cinéma	200	7	1,4
01 Centre culturel	60	4	0,24

Besoins Artisanales et commerciaux

$7,64 \text{ m}^3/j$

Dénomination	Nombre	Dotation $\ell/j/unité$	Consommation (m^3/j)
03 boutangeries	—	2000	6
25 commerçants	25	20	0,5
04 café - Restaurants	4.100	5	2
01 Abattoire	20 t/j	200	4
01 poissonnerie	30 t/j	250	7,5

Les besoins municipaux : (estimés)

dénomination	Nombre	dotation l/j/unité	Consommation (m ³ /j)
A.P.C - DAIRAS	-	-	8
justice	-	-	6
DARIC	-	-	6
C.A.F.S	-	-	4
P.T.T	-	-	8
Hotel	10	150	1,5
			33,5 m ³ /j

En raison de l'augmentation de la consommation dans le temps, dues au progrès de l'hygiène, les extensions possibles de l'agglomération des puits dans le réseau de distribution. On est contraint de prévoir une majoration de compensation sur le débit journalier. En supposant que notre réseau est bien entretenu, les majorations sont de l'ordre :

- 20% pour l'horizon 2000.

dénomination	consommation (m ³ /j)	majoration de 20%	Total après majoration
domestiques	6000	1200	7200
scolaires	222,5	44,5	267
sanitaires	12	2,4	14,4
sociaux- culturels	7,64	1,528	9,168
Municipaux	33,5	6,7	40,2
Artisanals	20	4	24
commerciaux			

$$\sum = 7554,77 \text{ m}^3/\text{j}$$

II-2 Calcul de la Consommation journalière maximale et débit de pointe

étude des problèmes posés par la variation des débits

Les différentes consommations mensuelles, journalière et horaires sont les causes principales de la variation du débit.

Ainsi on applique au débit moyen des coefficients correspondants, afin d'obtenir le débit de pointe du jour le plus chargé de l'année.

Nous définissons ces coefficients tels que:

a/- coefficient d'irrégularité de la consommation journalière (k_1) (où coefficient journalier k_j) définit par le rapport entre la consommation maximale journalière et la consommation moyenne journalière.

$$k_1 = k_j = \frac{\text{Cons. max. Jour.}}{\text{Cons. moy. Jour.}} = \frac{Q_j^{\max}}{Q_j^{\text{moy}}}$$

le coefficient varie de (1,15 ÷ 4,3)

Dans notre cas la valeur de k_j est prise égale à 1,2 $\rightarrow k_j = 1,2$

b/- Coefficient d'irrégularité de la consommation horaire ($k_2 = k_a$) définit par le rapport entre la consommation horaire maximale et la consommation horaire moyenne.

$$k_2 = \frac{\text{Cons. hor. max.}}{\text{Cons. hor. moy.}}$$

le coefficient varie en fonction de: $k_2 = \alpha \cdot \beta$ où

α : Coefficient qui prend les valeurs suivantes
 $1,2 < \alpha < 1,4$

β : est en fonction de la population

population	1000	1500	2000	6000	10,000	20.000	50.000
β	2	1,8	1,5	1,4	1,3	1,2	1,15

dans notre cas on prend

$$\alpha = 1,3$$

$$\beta = 1,18$$

$$k_2 = \alpha \cdot \beta = 1,3 \cdot 1,18 = 1,534$$

c/- coefficient de pointe "kp"

Ce coefficient est défini par le produit entre les deux coefficients où:

$$k_p = 1,2 \cdot 1,534 = 1,84$$

Calcul des consommations journalières et débit de pointe:

En multipliant ce coefficient (k_p) par la consommation moyenne journalière

en trouve le débit de pointe :

$$Q_p = k_p Q_{\text{moy-jour}}$$

Avec lequel sera dimensionnée la conduite de distribution

c) le débit d'apport ($Q_{\text{max-jour}}$) est obtenue en multipliant le coefficient journalier (k_j) par la consommation moyenne journalière . Avec lequel sera dimensionnée la conduite de l'adduction .

Tableau des consommations Moyennes, Maximales, Journalières et de pointe horaire.

cons. moy. jour. (m^3/j)	k_j	cons. max. jour. (m^3/j)	k_0	k_p	débit de pointe (m^3/j)
7554,768	1,2	9065,72	1,534	1,84	579,20

II-3 ETUDES comparatives des Ressources

Après les estimations faites ci- dessus les besoins en eau potable de la ville de S^{et} cloud à l'horizon 2000 s'élevant à :

Ressources

$$\left. \begin{array}{l} 01 \text{ puit} \dots 13 \text{ l/s} \\ 01 \text{ puit} \dots 14 \text{ l/s} \\ 01 \text{ puit} \dots 20 \text{ l/s} \\ \text{Source (RAIS EL-AIN)} Q=10\% \end{array} \right\} Q = 62 \text{ l/s}$$

soit $5356,800 \text{ m}^3/\text{j}$

les ressources disponibles nous donnent un débit de 62 l/s soit $5356,800 \text{ m}^3/\text{j}$ très suffisant à l'heure actuelle par contre on remarque un déficit de 43 l/s à l'horizon 2000 . ce déficit pourra être couvert par deux forages prévus à proximité de l'agglomération

CHAP. III

DISTRIBUTION

III-1 Détermination de la capacité du réservoir

Le découpage en tranches horaires pendant lesquelles le débit reste constant se fait à l'aide d'un analyseur de débit.

Dans une première approximation, on peut admettre les répartitions selon les coefficients horaires ($a_n\%$)

Ces coefficients sont en fonction de l'importance de la population et les heures de desserte.

Le volume du réservoir sera égal à :

$$V_r = \Delta V_{max}^+ + \Delta V_{max}^- + V_{ri}$$

avec V_{ri} : réserve d'incendie

ΔV_{max}^+ et ΔV_{max}^- : excès et déficits lors des différentes heures de la journée.

Voir tableau

III-2 Réseau de distribution

Le réseau de distribution de la ville de St. cloud est du type maillé suivant les entre-croisements des routes, avec des ramifications dans les parties les plus éloignées (Voir annexe planche N° 1)

Calcul du réseau maillé

Le calcul d'un réseau maillé est conduit par approximation successives, selon la méthode de HARDY - CROSS.

cette méthode repose sur les deux lois suivantes :

1^{er} loi : en un noeud quelconque de conduites, la somme des débits qui entrent à ce noeud est égale à la somme des débits qui sortent.

2^{eme} loi : Le long d'un parcours orienté et fermé ; la somme algébrique des

TABLEAU DE CALCUL DE LA CAPACITÉ DU RÉSERVOIR

H1

heures	Qh %	Volume (m ³)		Volume cumulé (m ³)		différence ΔV (m ³)	
		Q · Δt	Q · Δt · $\frac{24}{100}$	apport	consommation	ΔV ⁺	ΔV ⁻
0 - 1	1,5	377,74	135,97	377,74	135,97	241,77	-
1 - 2	1,5	"	"	755,48	271,94	483,54	-
2 - 3	1,5	"	"	1133,22	407,91	725,31	-
3 - 4	1,5	"	"	1510,96	543,88	967,08	-
4 - 5	2,5	"	226,64	1888,7	770,52	1118,18	-
5 - 6	3,5	"	317,30	2266,44	1087,82	1178,62	-
6 - 7	4,5	"	407,96	2644,18	1495,78	1148,4	-
7 - 8	5,5	"	498,62	3021,92	1994,4	1027,52	-
8 - 9	6,25	377,74	566,61	3399,66	2561,01	838,65	-
9 - 10	6,25	"	"	3777,4	3127,62	649,78	-
10 - 11	6,25	"	"	4155,14	3694,23	460,91	-
11 - 12	6,25	"	"	4532,88	4260,84	272,04	-
12 - 13	5,00	"	453,29	4910,62	4714,13	196,49	-
13 - 14	5,00	"	"	5288,36	5167,42	120,94	-
14 - 15	5,5	"	498,62	5666,10	5666,04	0,06	
15 - 16	6,00	"	543,95	6043,84	6209,99	-	166,15
16 - 17	6,00	377,74	"	6421,58	6753,94	-	332,36
17 - 18	5,5	"	498,62	6799,32	7252,56	-	453,24
18 - 19	5,00	"	453,29	7177,06	7705,85	-	528,79
19 - 20	4,50	"	407,96	7554,8	8113,81	-	559,01
20 - 21	4,0	"	362,63	7932,54	8476,44	-	543,9
21 - 22	3,0	"	271,97	8310,28	8748,41	-	438,13
22 - 23	2,0	"	181,32	8688,02	8929,73	-	241,71
23 - 24	1,5	377,74	135,97	9065,76.	9065,7	0,06	-

$$V_R = 1737,63 + 120 = 1857,63 \text{ m}^3$$

$$V_R \approx 2000 \text{ m}^3$$

MAILLES ADJAC.	CONDUITES	DIAMETRES (mm)	$L_{e, \text{adjac}}^{\text{g}}$ (m)	1 ^{ere} APPROXIMATION			1 ^{ere} CORRECTION		
				Q_0 (m ³ /s)	RQ_0^4	RQ_0	C.P.M	C. MAILLE ADJAC.	TOTAL
II	1-2	0.2	281.75	0.02	0.788	39.40	$-7.06 \cdot 10^{-4}$		$-7.06 \cdot 10^{-4}$
	2-3	0.1	287.50	0.0058	2.68	463.47	$-7.06 \cdot 10^{-4}$		$-7.06 \cdot 10^{-4}$
	3-4	0.15	287.50	-0.014	-1.81	129.06	$-7.06 \cdot 10^{-4}$		$-7.06 \cdot 10^{-4}$
	I 4-1	0.3	287.50	-0.0568	-0.75	13.28	$-7.06 \cdot 10^{-4}$	$1.73 \cdot 10^{-3}$	$1.024 \cdot 10^{-3}$

$$\Delta Q = -7.06 \cdot 10^{-4} \quad \Sigma = 0.91 \quad \Sigma = 645.22$$

I	II 1-4	0.3	287.50	0.0568	0.78	13.54	$-1.73 \cdot 10^{-3}$	$7.06 \cdot 10^{-4}$	-0.00102
	III 4-8	0.15	365.125	0.0144	2.42	168.27	"	$-3.51 \cdot 10^{-3}$	-0.00524
	IV 8-9	0.25	287.50	-0.0397	-0.97	24.36	"	$-8.32 \cdot 10^{-5}$	-0.00181
	V 9-1	0.3	365.125	-0.07	-1.45	20.72	"		$-1.73 \cdot 10^{-3}$

$$\Delta Q = -1.73 \cdot 10^{-3} \quad \Sigma = 0.786 \quad \Sigma = 226.88$$

III	IV 4-6	0.15	375.75	0.0142	2.41	170.00	$3.51 \cdot 10^{-3}$	$-1.048 \cdot 10^{-3}$	$2.47 \cdot 10^{-3}$
	6-7	0.10	365.125	-0.00865	-7.55	$8.73 \cdot 10^2$	"		$3.51 \cdot 10^{-3}$
	7-8	0.20	375.75	-0.02286	-1.36	59.57	"		$3.51 \cdot 10^{-3}$
	I 4-8	0.15	365.125	-0.01438	-2.42	168.27	"	$1.73 \cdot 10^{-3}$	$5.24 \cdot 10^{-3}$

$$\Delta Q = 3.51 \cdot 10^{-3} \quad \Sigma = -8.92 \quad \Sigma = 127 \cdot 10^3$$

IV	II 4-3	0.15	287.50	0.014	1.81	129.06	$1.048 \cdot 10^{-3}$	$7.06 \cdot 10^{-4}$	$1.754 \cdot 10^{-3}$
	3-5	0.10	375.75	0.0056	3.24	$5.81 \cdot 10^2$	"		
	5-6	0.10	287.50	-0.00863	-5.9	686.15	"		
	III 6-4	0.15	375.75	-0.0142	-2.41	170.00	"	$-3.51 \cdot 10^{-3}$	$-2.46 \cdot 10^{-3}$

$$\Delta Q = 1.048 \cdot 10^{-3} \quad \Sigma = -3.28 \quad \Sigma = 156.63$$

V	10-9	0.15	201.25	-0.015	-1.45	96.67	$8.32 \cdot 10^{-5}$		$8.32 \cdot 10^{-5}$
	I 9-8	0.25	287.50	0.040	0.97	24.36	"	$1.73 \cdot 10^{-3}$	0.00181
	8-12	0.15	385.25	0.017	3.57	209.65	"		$8.32 \cdot 10^{-5}$
	12-11	0.10	485.875	0.00314	1.36	431.94	"		"
	11-10	0.10	379.50	-0.00667	-4.69	702.87	"		"

$$\Delta Q = 8.32 \cdot 10^{-5} \quad \Sigma = -0.24 \quad \Sigma = 1465.5$$

H_1 et H_2 élaborés par l'exécution du programme
du calcul de réseau maillé sur le TI 59 planche A

pertes de charge est nulle

$$\sum_{i=1}^n \Delta H_i = \sum_{i=1}^n R_i Q_i^2 = 0$$

R : résistance de la conduite.

Principe de la méthode de HARDY-CROSS

La méthode de HARDY-CROSS consiste tout d'abord à se fixer dans chaque maille, une répartition des débits, ainsi qu'un sens d'écoulement tout en respectant la première loi, et dans chaque tronçon en doit avoir des vitesses d'écoulement convenables comprisent dans l'intervalle ($0,3 \div 1,5 \text{ m/s}$) et l'on calcule les pertes de charges correspondantes tout en les équilibrant dans chaque maille (2ème loi) en corrigeant par approximations successives les débits supposés.

Calcul des débits corréctifs

$$\Delta Q_i = - \frac{\sum_{i=1}^n R_i Q_i^2}{2 \sum_{i=1}^n R_i Q_i}$$

$$R = J_Q \cdot L_e = \left(\frac{8f}{D^4 \pi g} \right) \cdot (1,15 L_g)$$

avec

J_Q : gradient de la perte de charge débitaire

L_e : longueur équivalente = $1,15 L_g$

L_g : longueur géométrique

$$R = 0,0828 \frac{f}{D^5} \cdot 1,15 L_g$$

f : coef. de frottement calculé par la formule de COOLEBROOK $E = 10^5 \text{ m}^{-1} \quad \gamma = 10^6$

chaque maille est calculée séparément, les corrections à apporter à la valeur estimée en première approximation des débits sont divisées en deux :

- celles propres à la maille considérée avec le signe de ΔQ_0 et la dite maille.
- celles propres à la maille adjacente, en ce qui concerne les conduites communes à deux mailles, avec le signe contraire de celui de ΔQ_0 calculé pour la maille adjacente.

pour avoir le nouveau débit Q_1 . les mêmes opérations sont recommencées avec Q_1 , puis on poursuit les approximations jusqu'à ce que les valeurs de ΔQ soient voisines de zéro (pratiquement $0 < \Delta Q < 0,4$) et jusqu'à ce que les pertes de charges sur le contour fermé soient inférieures à $0,5$ m environ.

Voir tableau H2.

Dimensionnement de la conduite d'aménée

$$L = 500 \text{ m}$$

$$\varepsilon = 10^{-3} \text{ m}$$

$$Q = 160 \text{ l/s} = 0,16 \text{ m}^3/\text{s}$$

On propose une vitesse d'écoulement dans la conduite de $1,3 \text{ m/s}$

$$Q = V \cdot A \Rightarrow D = \sqrt{\frac{4Q}{\pi L \cdot V}} \approx 0,4 \text{ m}$$

On prendra un diamètre normalisé de 400 mm

$$\text{La vitesse réelle sera } V = \frac{4Q}{\pi D^2} = 1,27 \text{ m/s}$$

Vérification du régime d'écoulement

$$\frac{\varepsilon}{D_h} = \frac{10^{-3}}{0,4} = 0,25 \times 10^{-2}$$

$$Re = \frac{V \cdot D}{\gamma} = \frac{1,27 \cdot 0,4}{10^{-6}} = 5,08 \cdot 10^5 \quad \left. \right\} \begin{matrix} \text{Mody} \\ \text{Régime turbulent rigueux} \end{matrix}$$

D'après la théorie de la longueur fluide-dynamique pour un profil circulaire plein (Abaque N°9) $D_o = 1,539 \quad \Lambda = \frac{D}{D_o} = 0,259909031$

$$\text{En application de la formule : } \frac{Q}{\sqrt{J}} = \Lambda^{2,5} \left(15,96 - 8,681 \ln \frac{\varepsilon}{\Lambda} \right) = 2,21200551$$

$$\Rightarrow J = 5,231997 \cdot 10^{-3}$$

Vérification par Darcy-W

$$f = \left(1,14 - 0,86 \ln \frac{\varepsilon}{D_h} \right)^2 = 0,025254078$$

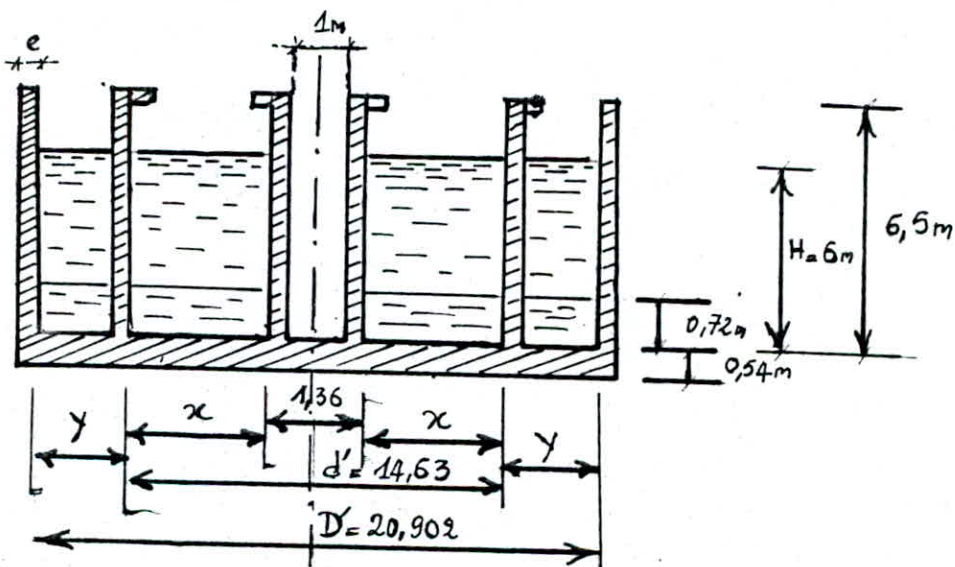
$$J = \frac{f \cdot V^2}{D_h \cdot 2g} = 5,19015 \cdot 10^{-3}$$

$$\Delta H_f = J \cdot 1,15 \cdot L_a = 2,98 \text{ m}$$

III-3 Dimensionnement de la cuve

Vu la capacité importante de la cuve, on est contraint de diviser cette cuve d'eau en deux loges annulaires de capacités identiques, d'où son utilité du point de vue entretien.

$$\left. \begin{array}{l} V_T = 2000 \text{ m}^3 ; V_I = V_{II} = 1000 \text{ m}^3 \\ H_I = I_{II} = 6,0 \text{ m} \\ e = 0,18 \text{ m} \end{array} \right\} \Rightarrow S_I = S_{II} : \text{surface de base de deux loges}$$



$$d' = 1,36 + 2x$$

$$D' = d' + 2e + 2y$$

$$x = 6,635 \text{ m}$$

$$d' = 14,63 \text{ m}$$

$$D' = 14,99 + 2y$$

$$S_I = S_{II} = \frac{V_I}{H_I} = \frac{1000}{6} = 166,67 \text{ m}^2$$

$$S_I = \frac{\pi}{4} (d'^2 - 1,36^2)$$

$$S_{II} = \frac{\pi}{4} (D'^2 - (d' + 2e)^2) = 166,67 \text{ m}^2$$

$$= \frac{\pi}{4} ((14,99) + 2y)^2 - 14,99^2$$

$$y = 2,965 \text{ m} \Rightarrow D' = 20,902 \text{ m}$$

NB : On réserve dans chaque loge de la cuve une hauteur de 0,72 m d'eau pour les réserves d'incendie pour les mesures de sécurité en cas de besoins.

III-4 Altitude et emplacement du chateau d'eau

L'emplacement du chateau d'eau projeté doit être choisi de façon à satisfaire aux abonnées une pression suffisante au moment de la pointe.

$$C_r = C_t + H + h_{wi} + H_{we} + P_s$$

avec C_r : cote du radier

C_t : cote du terrain = 158,8

H_t : hauteur de la tour

H : hauteur prise en fonction du nombre d'étage = 12 m. ($R+3$)

h_{wi} : pertes de charges singulières

P_s : colonne d'eau supplémentaire tenant compte des appareils (chauffe eau)
($P_s = 3 \text{ m}$)

h_{we} : pertes de charges linéaires sur le tronçon reliant le chateau d'eau au point le plus haut.

On a estimé que les pertes de charges singulières sont de l'ordre de 15% des pertes de charges linéaires.

Le calcul des pertes de charges linéaires

La longueur de la conduite reliant le chateau d'eau au point le plus haut du réservoir.

$$L_1 = 1825 \text{ m} ; L_2 = 1323 \text{ m}$$

le débit de pointe $Q_p = 161,0 \text{ l/s}$

la vitesse d'écoulement $V < 1 \text{ m/s}$

$$C_{t_1} + H_{tour} = C_R = H + pdc + P_s + C_{t_2}$$

$$158,5 + H_{tour} = 12 + 11,69 + 3 + 170$$

$$\text{d'où } H_{tour} = 38,19 \text{ m}$$

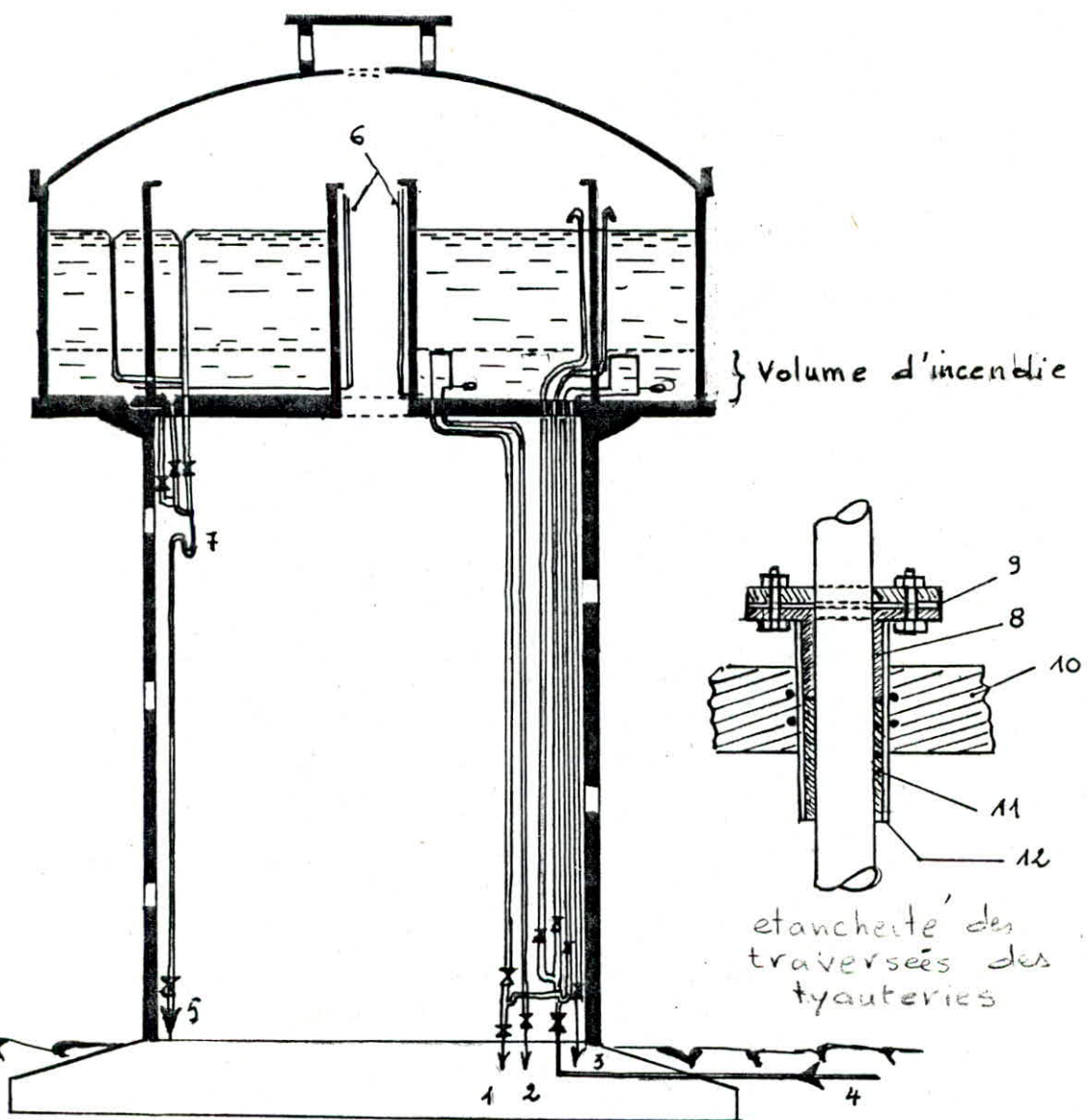
conduites		ϕ (mm)	V (m/s)	L_g (m)	R_e	J	ΔH_L (m)	ΔH_g (m)	ΔH_T (m)	f_{Nik}	$f_{col.}$
1 ^{er} Parcours	1-4	300	0,84	250	$2,52 \cdot 10^5$	0,0036	0,84021	0,12603	0,96624	0,27363	0,280069
	4-8	150	0,64	317,5	96 000	0,00483	1,5341	0,23011	1,76416	0,033678	0,346804
	8-12	150	0,96	335	144 000	0,10787	3,6138	0,54207	4,15589	0,033678	0,344132
	12-11	100	0,40	422,5	40 000	0,003276	1,38438	0,20766	1,592034	0,038440	0,4013876
		Σ 1325				Σ = 8,4783					
2 nd parcours	1-9	300	0,98	317,5	$2,94 \cdot 10^5$	0,004563	1,44871	0,217306	1,624032	0,273635	0,279359
	9-10	150	0,85	117	$1,275 \cdot 10^5$	0,008474	1,48297	0,22244	1,705418	0,03368	0,034483
	10-11	100	0,84	330	$0,84 \cdot 10^5$	0,014178	4,67874	0,701811	5,380551	0,38440	0,03938
		Σ		8,710							

Le calcul est obtenu par l'exécution du programme de calcul des pertes de charges sur la TI 59 (planche n° B)

CHAP. IV

ETUDE GENIE CIVIL
DU CHATEAU
D'EAU

IV-1 Présentation de l'ouvrage.



1. conduite de distribution
2. conduite d'eau de réserve d'incendie de la loge interne.
3. " " " " " " " " externe.
4. conduite de refoulement.
5. conduite de vidange de la cuve et les eaux du trop-plein
6. évén
7. Siphon.
8. plomb coulé et maté
9. plaque caoutchouc
10. paroi du réservoir
11. corde goudronnée
12. Fourreau

IV-2 Caractéristiques des Matériaux

Béton

On utilisera un béton dosé à 400 kg/m^3 de CPA 325. contrôle atténué

Contrainte de compression admissible

$$\bar{\sigma}_b' = f_b' \bar{\epsilon}_{28}' \quad \text{avec } \bar{\epsilon}_{28}' : \text{résistance nominale de compression du béton} \\ = 300 \text{ bars (béton dosé à } 400 \text{ kg/m}^3 \text{ de CPA 325)}$$

et $f_b' = \alpha \cdot \beta \cdot \gamma \cdot \varepsilon$ ε_b' : coeffs sans dimension.

- CPA 325 $\alpha = 1$ dépend de la dose du ciment utilisé
- $\beta = 5/6$ contrôle atténué du Béton
- $\gamma = 1$
- ε dépend de la distribution des contraintes dans la section
- Compression Simple $\rightarrow \varepsilon = 0,3$
- Flexion simple et flexion composée quand l'effort normal est une traction.
- Flexion composée quand l'effort normal est une compression.

$$\varepsilon = \begin{cases} 0,6 \\ 0,3 \left(1 + \frac{e_0}{3e_1} \right) \end{cases}$$

avec e_0 : L'excentricité de la force extérieure / ou c.d.g de la section complète du béton seul.

e_1 : Désigne le rayon vecteur, de même signe que e_0 , du noyau central de cette même section dans le plan radial passant par le centre de pression.

Pour les sollicitations du second genre, les valeurs de ε sont multipliées par 1,5

Exemple :

Section annulaire de faible épaisseur de diamètre moyen D , on aura $e_1 = D/4$

Pour $0 \leq e_0 < 0,75D$ $\varepsilon = 0,3 \left(1 + 1,33 \frac{e_0}{D} \right)$

Pour $e_0 \geq 0,75D$ $\varepsilon = 0,6$

- ε : dépend de la nature des sollicitations et de la forme de la section, Dans tous les cas on prendra $\varepsilon = 1$

Nous obtenons

- sous SP₁ :

- Compression Simple : $\bar{\sigma}_b' = 1 \cdot \frac{5}{6} \cdot 1,03 \cdot 1 \cdot 300 = 75 \text{ bars}$
- Flexion Simple : $\bar{\sigma}_b' = 1 \cdot \frac{5}{6} \cdot 1,06 \cdot 1 \cdot 300 = 150 \text{ bars}$

- sous SP₂

- Compression Simple : $\bar{\sigma}_b' = 1,5 \bar{\sigma}_b' (\text{SP}_1) \quad \bar{\sigma}_b' = 112,5 \text{ bars}$
- Flexion simple : $\bar{\sigma}_b' = 1,5 \bar{\sigma}_b' (\text{SP}_1) \quad \bar{\sigma}_b' = 225 \text{ bars}$

Contrainte de traction de référence

$$\bar{\sigma}_b = \rho_b \bar{\delta}'_{28}$$

$$\text{avec } \rho_b = \alpha \cdot \beta \cdot \gamma \cdot \Theta$$

α, β, γ : gardent les mêmes valeurs et même significations que précédemment.

et

$$\Theta = 0,018 + \frac{2,1}{\bar{\delta}'_{28}} = 0,018 + \frac{2,1}{300} = 0,025$$

d'où

$$\bar{\delta}'_b = 1 \cdot \frac{5}{6} \cdot 1 \cdot 0,025 \cdot 300 = 6,25 \text{ bars}$$

Cette contrainte est relativement faible et difficile à respecter. Le nouveau texte du cahier des charges applicables à la construction des réservoirs et cuves en Béton Armé, établie en 1966 par la chambre syndicale des constructeurs en ciment armé prévoit une contrainte admissible de traction $\bar{\sigma}_b$ égale à :

$$\bar{\sigma}_b = \Theta \bar{\delta}_{28}$$

avec

$\bar{\delta}_{28} \leq 22$ bars . limite de rupture en traction à 28 et un coefft $\Theta \geq 1$ qui a pour valeurs :

$$\Theta = \begin{cases} 1 & \text{dans le cas de traction simple} \\ 1 + 2 \frac{e_0}{3h} & \text{en flexion composée} \quad \left\{ \begin{array}{l} e_0 : \text{excentricité} \\ h : \text{épaisseur} \end{array} \right. \\ \frac{5}{3} & \text{dans le cas de flexion simple} \end{cases}$$

On se limitera à $\bar{\sigma}_b = 22$ bars

Contrainte de cisaillement admissible

La contrainte tangente du plan neutre τ_b est donnée au droit de chaque section droite en fonction de la contrainte maximale de compression du béton $\bar{\sigma}'_b$ couramment sur cette même section, par les inégalités suivantes :

$$\bar{\sigma}'_b \leq \bar{\sigma}'_{b_0} \rightarrow \tau_b \leq 3,5 \bar{\sigma}_b = 21,8 \text{ bars}$$

$$\bar{\sigma}'_{b_2} \leq \bar{\sigma}'_b \leq 2 \bar{\sigma}'_{b_0} \rightarrow \tau_b \leq \left(4,5 - \frac{\bar{\sigma}'_b}{\bar{\sigma}'_{b_0}} \right) \bar{\sigma}_b$$

On utilisera les aciers :

• A haute adhérence F_eE40A

donc $\bar{\sigma}_{en} = 4200 \text{ kg/cm}^2$ pour $\phi \leq 20 \text{ mm}$

$$\bar{\sigma}_{en} = 4000 \text{ kg/cm}^2 \text{ pour } \phi > 20 \text{ mm}$$

• Doux (ou rondes lisses) F_eE24

donc $\bar{\sigma}_{en} = 2400 \text{ kg/cm}^2 \forall \phi$

Contrainte Admissible de traction $\bar{\sigma}_{a_1}$

$$\text{Sans SP}_1 \quad \bar{\sigma}_{a_1} = \frac{2}{3} \sigma_{en}$$

$$\text{Sans SP}_2 \quad \bar{\sigma}_{a_1} = \sigma_{en}$$

Sections	$F_e 40A$	$F_e 40E$	$F_e 24$
SP_1	$\phi \leq 20 \text{ mm}$	$\phi > 20 \text{ mm}$	1600
	2800	2670	
SP_2	4200	4000	2400

Fissuration

Afin de tenir compte de la fissuration, la valeur de la Contrainte de traction des armatures est limitées à :

$$\bar{\sigma}_a \leq \min \begin{cases} \bar{\sigma}_{a_1} \\ \max(\sigma_1, \sigma_2) \end{cases}$$

$$\sigma_1 = \frac{k \cdot n}{\phi} \frac{\bar{\omega}_f}{1 + 10 \bar{\omega}_f} \rightarrow \text{contrainte de fissuration systématique}$$

$$\sigma_2 = 2,4 \sqrt{\frac{n}{\phi} k \bar{\sigma}_b} \rightarrow \text{Contrainte de fissuration accidentelle}$$

Contrainte Admissible définitive de l'acier sans présence d'humidité

$\phi (\text{mm})$	5	6	8	10	12	14	16	20	25	32
Aciers doux	1600	1600	1523	1362	1244	1151	1076	964	862	761
Aciers H.A	2436	2227	1926	1723	1574	1455	1361	1219	1090	963

Ce tableau nous donne $\bar{\sigma}_a$ prise par le calcul des éléments non en contact avec l'eau. σ_1 n'est pas à considérer car elle est toujours plus petite que σ_2 .

Parois du réservoir

La paroi étant constamment en contact avec l'eau, la contrainte admissible de traction est définie par

$$\bar{\sigma}_a = \min \begin{cases} \bar{\sigma}_{a_1} \\ \max(\sigma_1, \sigma_2) \end{cases}$$

avec

$$\sigma_1 = \frac{k \cdot n}{\phi} \frac{\bar{\omega}_f}{1 + 10 \bar{\omega}_f} + 300 \text{ n}$$

$$\sigma_2 = 2,4 \sqrt{\frac{n}{\phi} k \bar{\sigma}_b} + 300 \text{ n} \quad \text{et} \quad k = 0,3 \cdot 10^5$$

Le terme complémentaire 300 n tient compte du fait qu'une des faces des éléments est en contact permanent avec l'eau, le phénomène de gonflement du béton intervient d'une manière favorable en réduisant l'ouverture des fissures. C'est ce qui motive le terme Complémentaire 300 n.

Valeurs de \bar{G}_q étant inférieure à G_q , on obtiendra le tableau donnant $\bar{G}_q = \min(G_{q_1}, G_{q_2})$

Contrainte Admissible de traction de l'acier en présence de l'humidité

$\phi(\text{mm})$	5	6	8	10	12	14	16	20	25	32
Aciers doux	1600	1600	1600	1600	1544	1451	1376	1264	1162	1061
Aciers H.A	2800	2707	2406	2203	2054	1935	1841	1700	1570	1443

Contrainte de compression Admissible

$$\bar{G}'_q = \frac{2}{3} G_{en} \quad \text{les pièces soumises à la compression simple pour lesquelles l'acier utilisé tel que } G_{en} < 3300 \text{ kg/cm}^2$$

$$\bar{G}_q = \frac{2}{3} \frac{G_{en}^2}{33400}$$

d'où

$$\text{H.A : } \begin{cases} \bar{G}_q = 2800 \text{ kg/cm}^2 \text{ pour } \phi \leq 20 \text{ mm} \\ \bar{G}'_q = 2670 \text{ kg/cm}^2 \text{ pour } \phi > 20 \text{ mm} \end{cases}$$

$$\text{Aciers doux : } \bar{G}'_q = 1150 \text{ kg/cm}^2.$$

Contrainte d'Adhérence Admissible

$$\text{Zone d'ancrage normal} \quad \bar{\tau}_b = 1,25 \Psi_d^2 \bar{G}_b$$

$$\text{Zone d'ancrage en pleine masse} \quad \bar{\tau}_b = 2 \Psi_d^2 \bar{G}_b$$

Ψ_d : coefficient de scellement et a pour valeur

$$\text{Aciers H.A} \rightarrow \Psi_d = 1,5$$

$$\text{Aciers doux} \rightarrow \Psi_d = 1$$

$\bar{\tau}_d (\text{kg/cm}^2)$	Aciers H.A	Aciers doux
Ancrage Normal	17,91	7,96
Ancrage en pleine Masse	28,66	12,74

Recouvrement des Barres Droites

La jonction de deux barres parallèles identiques est assurée par recouvrement lorsque

deux extrémités se chevauchent sur une longueur l_r

$$l_r = l_d \rightarrow \text{pour } d < 5\phi$$

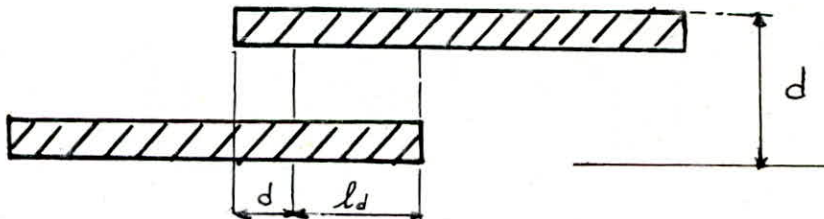
$$l_r = l_d + d \rightarrow \text{pour } d > 5\phi$$

d : distance entre - axes des barres

l_d : longueur de scellement droit.

$$l_d = \frac{\phi}{4} \frac{\bar{E}_a}{\bar{C}_b} \text{ en traction}$$

$$l_d = \frac{\phi}{4} \frac{\bar{E}'_a}{\bar{C}'_b} \text{ en compression (avec } \bar{E}'_a = \frac{2}{3} E_{en})$$



ϕ : diamètre nominal de la barre

Avant - Metra

Détermination du poids de l'ouvrage

Dalle circulaire

$$\phi = 4,4 \text{ m}$$

$$e = 0,08 \text{ m}$$

$$P'_1 = \frac{\pi}{4} \phi^2 e f_b = \frac{\pi}{4} \cdot (4,4)^2 \cdot 0,08 \cdot 2,5 = 3,04 \text{ t}$$

$$\begin{aligned} \text{Etanchéité + enduit} &\longrightarrow 0,05 \text{ t/m}^2 \\ \text{Surcharges d'exploitation} &\longrightarrow 1,2 \cdot 0,1 \quad \left. \begin{array}{l} \\ \end{array} \right\} 0,17 \text{ t/m}^2 \end{aligned}$$

$$P_1^* = 3,21 \text{ t}$$

Poids de la ceinture sous dalle

$$P_2^* = \pi (3,95^2 - 3,7^2) \cdot 0,2 \cdot 2,5 = 3 \text{ t}$$

Total

$$P_{1t}^* = 6,21 \text{ t}$$

Calcul du lanternneau

On dispose de 8 poteaux 25×25

$$P_2' = 8 (0,25 \cdot 0,25 \cdot 1,8) \cdot 2,5$$

Calcul de la ceinture sous poteaux

$$P_2'' = \pi (4^2 - 3,3^2) \cdot 0,22 \cdot 2,5$$

Total

$$\boxed{P_{2t} = 11,07 t}$$

Calcul de l'acrotère

$$V_3 = 2\pi \cdot 0,15 \cdot 0,3 \cdot 10,631 \approx 3 m^3$$

$$\boxed{P_3 = 3 \cdot 2,5 = 7,51 t}$$

Poids de la coupole

$$P_{coup} = 1983,923 \text{ daN/m} \longrightarrow 1,98 t/m$$

$$P = 1,98 \cdot 2\pi \cdot R = 1,98 \cdot 2\pi \cdot 10,631 = \boxed{132,257 t}$$

(y compris étanchéité, surcharges, etc....)

Poids de la cuve (Parois)

$$S_1 = \pi \left(\frac{D_1^2 - d_1^2}{4} \right) = \frac{\pi}{4} (21,262^2 - 20,902^2) = 11,921 m^2$$

$$P_1 = f_b \cdot V_1 = f_b \cdot S_1 \cdot h = 2,5 \cdot 11,921 \cdot 6,5 = 193,716 t$$

$$S_2 = \frac{\pi}{4} \cdot (D_2^2 - d_2^2) = \frac{\pi}{4} (14,99^2 - 14,63^2) = 8,374 m^2$$

$$P_2 = f_b \cdot V_2 = f_b \cdot S_2 \cdot h = 2,5 \cdot 8,374 \cdot 6,5 = 136,0775 t$$

$$S_3 = \frac{\pi}{4} \cdot (D_3^2 - d_3^2) = \frac{\pi}{4} (1,36^2 - 1^2) = 0,667 m^2$$

$$P_3 = f_b \cdot V_3 = f_b \cdot S_3 \cdot h = 2,5 \cdot 0,667 \cdot 6,5 = 10,843 t$$

d'où

$$\boxed{P_t = P_1 + P_2 + P_3 = 340,636 t}$$

Poids de la dalle de la base de la cuve

$$S_d = \frac{\pi}{4} (D^2 - d^2) = \frac{\pi}{4} (21,262^2 - 1^2) = 354,271 m^2$$

$$P_d = f_b \cdot V_b = f_b \cdot S_d \cdot h = 2,5 \cdot 354,271 \cdot 0,54 = \boxed{478,265 t}$$

Poids du fût

$$S_f = \frac{\pi}{4} (14,99^2 - 14,29^2) = 16,0975 m^2$$

$$P_f = f_b \cdot S_f \cdot h = 2,5 \cdot 16,0975 \cdot 38,19 = \boxed{1536,9 t}$$

Vu l'importance du fût, la tour doit comprendre des dalles de repos.
Pour notre cas 5 dalles suffiront.

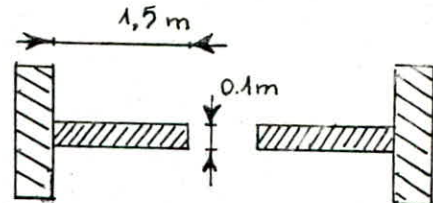
Poids des 5 dalles

$$S = \frac{\pi}{4} (D^2 - d^2) = \frac{\pi}{4} (14,29^2 - 11,29^2) = 60,271 \text{ m}^2$$

$$P = f_b \cdot S \cdot 0,1 = 2,5 \cdot 60,271 \cdot 0,1 = 75,338 \text{ t}$$

Surcharges d'escalier + accessoires $\longrightarrow 100 + 100 = 200 \text{ kg/m}^2$

$$G = 0,200 \cdot 5 = 0,2 \cdot 60,271 = 12,0542 \text{ t}$$



Poids de l'enduit

$$V_1 = \frac{\pi}{4} (20,902^2 - 20,862^2) \cdot 6,5 = 8,528 \text{ m}^3$$

$$V_2 = \frac{\pi}{4} (15,03^2 - 14,99^2) \cdot 6,5 = 6,13 \text{ m}^3$$

$$V_3 = \frac{\pi}{4} (14,29^2 - 14,25^2) \cdot 6,5 = 5,827 \text{ m}^3$$

$$V_4 = \frac{\pi}{4} (1,4^2 - 1,36^2) \cdot 6,5 = 0,563 \text{ m}^3$$

$$V_{\text{étanch. dalle}} = [(20,862^2 - 15,03^2) + (14,25^2 - 1,4^2)] \cdot 0,02 \cdot \frac{\pi}{4} = 6,447 \text{ m}^3$$

$$\text{d'où } V_t = 27,495 \text{ m}^3$$

Poids volumique de l'enduit utilisé $\longrightarrow 1,2 \text{ t/m}^3$

le Poids nécessaire de l'enduit sera de $P_e = 27,495 \cdot 1,2 = 32,994 \text{ t}$

Poids de la ceinture supérieure

$$V = 14,37 \text{ m}^3 \longrightarrow P = 35,925 \text{ t}$$

Poids de la ceinture inférieure

$$V = 14,37 \text{ m}^3 \longrightarrow P = 35,925 \text{ t}$$

Poids de la cuve vide

$$P_{cv} = \sum_{i=1}^6 P_i = 6,21 + 11,07 + 7,51 + 132,257 + 340,636 + 478,265 = 975,948 \text{ t}$$

Poids de la cuve pleine

$$P_{cp} = 975,948 + 2000 = 2975,948 \text{ t}$$

Poids total au niveau de la fondation

$$\text{Cuve Vide} \longrightarrow 975,948 + 12,054 + 75,338 = 1063,34 \text{ t}$$

$$\text{Cuve pleine} \longrightarrow 1063,34 + 2000 = 3063,34 \text{ t}$$

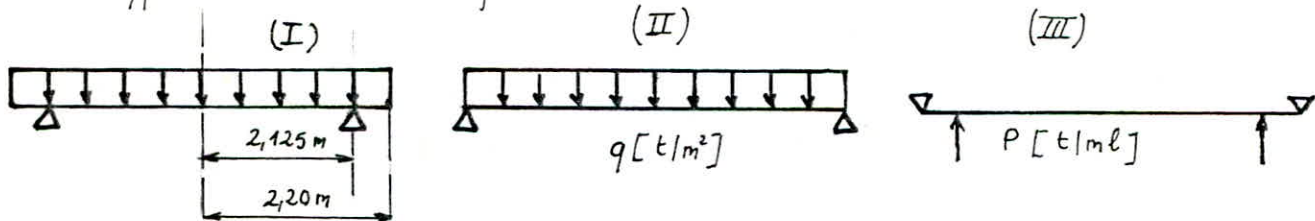
IV-3 Calcul des éléments de la Cuve

Dalle de couverture de Lanterneau

épaisseur

0,08 m

- * Nous considérons cette dalle comme une plaque circulaire uniformément chargée dont l'appui sera une circonférence.

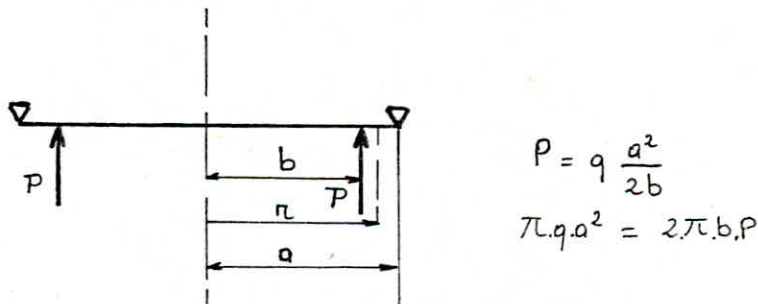


* En ce qui concerne le 3^{eme} Cas (III). On considère la plaque circulaire appuyée sur sa circonférence et soumise à une charge $P[t/ml]$ sur un rayon 2,125 m

* En ce qui concerne le 2^{eme} Cas (II). On considère la plaque circulaire appuyée sur sa circonférence et soumise à une charge uniformément répartie $q[t/m²]$

Détermination du moment radial suivant les deux cas:

Cas(III) :



Valeur de q :

remarque : On considère seulement la combinaison $G + 1,2 P$
avec

P : surcharge (on considère la neige comme charge utile)

G : charge permanente (poids propre + induit)

En ce qui concerne notre région : $P_{n_0} = 35 \text{ kg/m}^2 \rightarrow$ surcharge normale

$P'_n = 60 \text{ kg/m}^2 \rightarrow$ surcharge externe

$$\text{On tire } = (0,08 \cdot 2,5 + 0,05) + 1,2 \cdot 0,035 = 0,292 \text{ t/m}^2$$

En ce qui concerne le calcul du moment radial, on appliquera les formules des plaques "BARES" page 425

$$0 \leq r \leq b$$

$$M_r = \frac{P \cdot a}{4} (\beta) [(1-\mu)(1-\beta^2) - 2(1+\mu) \log \beta] \quad (1)$$

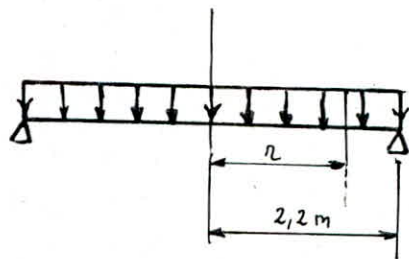
$$\text{avec } \beta = \frac{b}{a} ; \mu = 0,15 ; P = q \frac{a^2}{2b}$$

en remplaçant dans (1) $M_r = q \cdot a^2 \cdot \frac{\beta}{4} [(1-\beta^2) - 2(1+\mu) \log \beta]$

Cas (II)

$$e = \frac{r}{a} \quad (r: \text{compté à partir du centre de la plaque})$$

$$M_r = q \frac{a^2}{16} (3 + \mu) (1 - e^2)$$



valeur de M_r

$$\beta = \frac{b}{a} = \frac{2,125}{2,20} \approx 0,966$$

$r (m)$	$e = \frac{r}{a}$	$M_r (\text{t.m}/\text{m}\ell)$	
		Cas (III)	Cas (II)
0	0	0,024	0,278
$b = 2,125$	0,966	0,024	0,0186
$a = 2,20$	1	0	0

Calcul du moment Tangentiel

Cas (III) :

Pour partie médiane $\rightarrow (a \leq r \leq b)$

$$M_\varphi = M_r = q \frac{a^2}{8} [(1-\mu)(1-\beta^2) - 2(1+\mu) \log \beta]$$

$$T_r = 0$$

Pour partie extérieure $\rightarrow (b \leq r \leq a)$

$$\beta = \frac{b}{a}$$

$$\varphi = \frac{r}{a} \quad M_\varphi = q \frac{a^2}{8} [(1-\mu)(2-\beta^2(\frac{1}{\beta^2}+1)) - 2(1+\mu) \log \beta]$$

Cas (II)

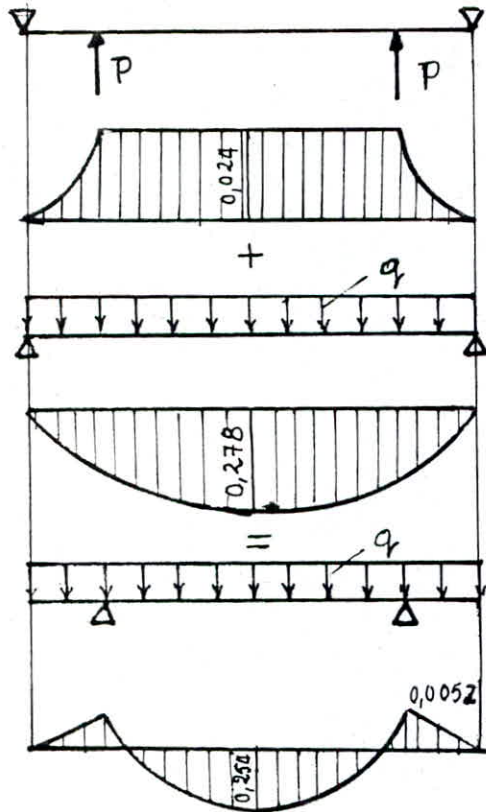
$$M_\varphi = q \frac{a^2}{16} [(3+\mu) - (1+3\mu) \beta^2]$$

$r (m)$	$\beta = \frac{r}{a}$	$M_\varphi (\text{t.m}/\text{m}\ell)$	
		Cas (III)	Cas (II)
0	0	0,024	0,278
2,125	0,966	0,024	0,1587
2,1625	0,983	0,022	0,1544
2,20	1	0,032	0,1501

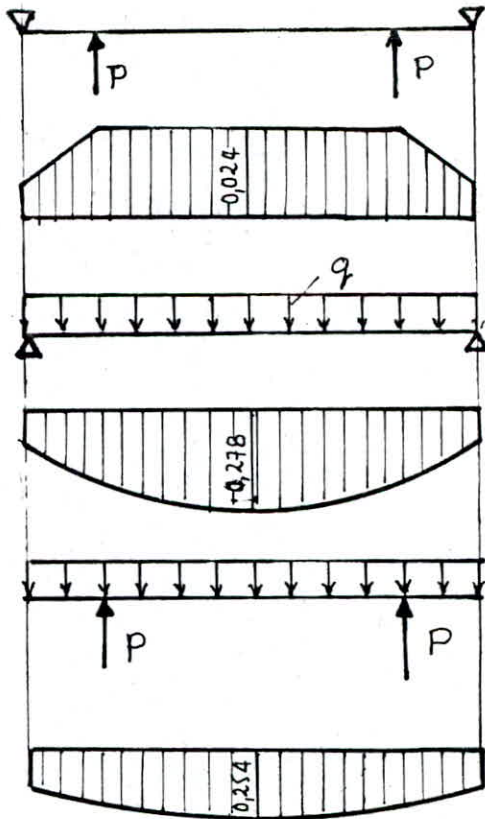
Superpositions des moments

$$\boxed{\text{Cas (I)} = \text{Cas (II)} + \text{Cas (III)}}$$

somme des moments radiaux



somme des moments tangentiels



Ferraillage de la dalle circulaire

Armatures radiales

Armatures inférieures

le moment de flexion est $M_r = 0,254 \text{ t.m / m}^2$

On prendra pour notre calcul $h_t = 8 \text{ cm} \rightarrow h = 5 \text{ cm}$
(ferraillage d'après P. CHARRON) $b = 100 \text{ cm}$

$$\bar{\sigma}_q = 1723 \text{ kg/cm}^2 \rightarrow \phi_{10}$$

$$\bar{\sigma}_b = 150 \text{ kg/cm}^2$$

$$\mu = \frac{15 \cdot M_r}{\bar{\sigma}_q \cdot b \cdot h^2} = \frac{15 \cdot 0,254}{1723 \cdot 100 \cdot 25 \cdot 10^{-4}} = 0,0845$$

$$\rightarrow \varepsilon = 0,8826$$

$$K = 27,6$$

$$\Rightarrow A = \frac{0,254 \cdot 10^5}{1723 \cdot 0,8826 \cdot 5} = 3,34 \text{ cm}^2$$

Armatures supérieures

$$\mu = \frac{15 \cdot 5,2 \cdot 10^2}{1723 \cdot 100 \cdot 5^2} = 1,81 \cdot 10^3 \rightarrow \left\{ \begin{array}{l} \varepsilon = 0,98 \\ K = 0,245 \end{array} \right.$$

$$A = \frac{5 \cdot 10^2}{1723 \cdot 0,98 \cdot 5} = 0,0592 \text{ cm}^2$$

Armature inférieure \rightarrow 4T10 / ml
Armature supérieure \rightarrow 4T10 / ml

Armature circulaire

$$M_\varphi = 0,254 \text{ t.m/ml} \rightarrow \text{armature affective } \boxed{5\text{T10}/\text{ml}}$$

Ferraillage des poteaux

On néglige l'effet du vent sur ces éléments (poteaux 25x25). Les poteaux sont comprimés sous les charges et surcharges.
charge à prendre en compte

- poids de la dalle circulaire $\longrightarrow P = 3,04 \text{ t}$

- poids propre des poteaux $\longrightarrow P = 2,25 \text{ t}$

contrainte maximale du béton dans chaque poteau

$$\bar{\sigma}_b \approx 0,074 \text{ kg/cm}^2 \ll \bar{\sigma}_{b_0}$$

Le béton suffit à lui seul pour reprendre l'effort de compression, on adoptera donc un ferraillage minimum.

$$\omega = 0,2 \% \longrightarrow 4\text{T14}$$

Ceinture supérieure sous la dalle

Soumise au poids de la dalle ainsi qu'à son propre poids.

- poids de la dalle (y compris étanchéité + induit) $\longrightarrow 3,21 \text{ t}$
- poids propre de la ceinture $\longrightarrow 6,21 \text{ t}$

$$\bar{\sigma}_b \approx 0,29 \leq \bar{\sigma}_{b_0}$$

On adoptera une section d'acier de 0,25% de la section du béton

$$A = 0,25 \cdot e = 0,25 \cdot 0,2 = 5 \text{ cm}^2$$

Aciers Verticaux \longrightarrow 6T12 / ml

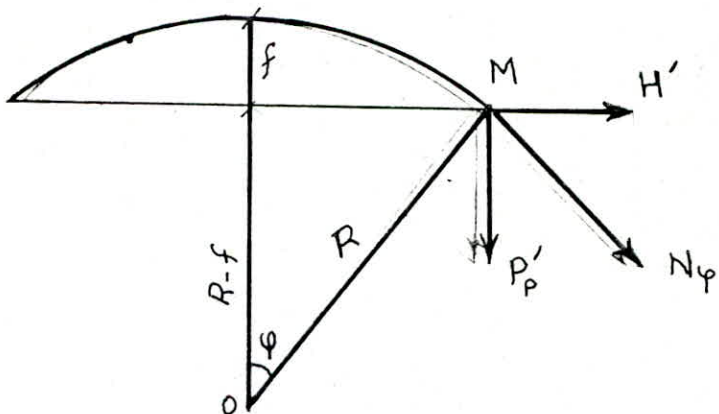
Aciers Cercles \longrightarrow 6T12 / ml

Acrotères

L'effet du vent sur l'acrotère est négligeable, la contrainte de compression dans le béton sous l'effet de son propre poids est très faible, donc on adoptera un ferraillage forfaitaire.

Cercles : 2T10 / ml
Armatures verticales 2T10 / ml

Etude de la coupole



$S = 2\pi R f$: surface de la coupole

R : rayon de la sphère

$$P_p = 2\pi R f P$$

$$\text{Poids par mètre de coupole} \quad P'_p = \frac{P_p}{2\pi r} = \frac{2\pi R f P}{2\pi r} = \frac{P \cdot R \cdot f}{r}$$

$$\text{On a} \quad R = \frac{r^2 + f^2}{2f} \quad \Rightarrow \quad r^2 = (2R - f)f.$$

d'où

$$P'_p = \frac{P \cdot f (r^2 + f^2)}{2rf}.$$

Les triangles OIM et H'N_phi P'_p sont semblables

$$\frac{H'}{R-f} = \frac{P'_p}{r} \quad H' = \frac{P'_p}{r} (R-f) \quad \Rightarrow \quad H' = \frac{P \cdot f (r^2 + f^2)}{2rf} \cdot \frac{R-f}{r}$$

$$R-f = \frac{r^2-f^2}{2f} - f = \frac{r^2-f^2}{2f} \quad \Rightarrow \quad H' = \frac{P \cdot f (r^2+f^2)}{2rf} \cdot \frac{r^2-f^2}{2rf} = \frac{P(r^4-f^4)}{4f^2r^2}$$

Application numérique

$$f = 2,5 \text{ m}$$

$$e = 8 \text{ cm}$$

$$r = 10,631 \text{ m}$$

$$h = 6,0 \text{ m}$$

Pour les surcharges : Si nous considérons une surcharge q par mètre carré de projection horizontale, nous calculons de même

$$P_q = \pi r^2 q$$

$$\text{par mètre de contour} \quad P'_q = \frac{\pi r^2 q}{2\pi r} = \frac{q \cdot r}{2}$$

$$H'_q = P'_q \cdot \frac{R-f}{r} = \frac{q \cdot r}{2} \cdot \frac{r^2-f^2}{2rf} = \frac{q(r^2-f^2)}{4f} \quad \text{or on a} \quad H'_q = \frac{q(r^4-f^4)}{4f}$$

pour une meilleure sécurité on prend :

$$H' = \frac{q(r^4 - f^4)}{4f \cdot r^2} = \frac{q(r^2 + f^2)}{4f} \cdot \frac{r^2 - f^2}{r^2} = \frac{q(r^2 + f^2)}{4f} \left(1 + \frac{f^2}{r^2}\right) > \frac{q(r^2 + f^2)}{4f}$$

Effort de compression dans les méridiens

$$N_e = \sqrt{H'^2 + P^2} \rightarrow \text{sert à vérifier la contrainte de compression}$$

$$\sigma_b' = \frac{N_e}{b \cdot e} = \frac{N_e}{100e}$$

Calcul de la ceinture

La ceinture est soumise à un effort de traction T tel que

$$T = H' \cdot r \quad \text{la section d'acier sera } A = \frac{T}{\sigma_a}$$

$$\text{La contrainte de la traction dans la ceinture est } \sigma_b' = \frac{T}{B + nA}$$

Application numérique $f = 2,5 \text{ m}$ $e = 8 \text{ cm}$ $r = 10,631 \text{ m}$ $h = 6,0 \text{ m}$

$$R = \frac{r^2 + f^2}{2f} = \frac{10,631^2 + 2,5^2}{2 \cdot 2,5} = 23,85 \text{ m}$$

$$S = 2\pi R f = 2 \cdot 3,14 \cdot 23,85 \cdot 2,5 = 374,445 \text{ m}^2$$

charges

- poids propre $P_p = 2500 \cdot 0,08 = 200 \text{ daN/m}^2$

- étanchéité, isolation $P_e = 40 \text{ daN/m}^2$

$$\text{d'où } P = 240 \text{ daN/m}^2$$

surcharges

- Surcharge d'exploitation = 100 kg/m^2 $q = 100 \text{ daN/m}^2$

$$P + 1,2q = 240 + 1,2 \cdot 100 = 360 \text{ daN/m}^2$$

calcul des efforts

* calcul des charges et surcharges par mètre de pourtour

- charges $P'_q = \frac{P \cdot S}{2\pi r} = \frac{240 \cdot 374,445}{2 \cdot 3,14 \cdot 10,631} = 1346,0634 \text{ daN/m}$

- Surcharges

$$P'_q = \frac{q \cdot r}{2} = \frac{120 \cdot 10,631}{2} = 637,86 \text{ daN/m}$$

$$P' = P'_q + P'_q = 1983,9234 \text{ daN/m}$$

poussée horizontale

$$H' = \frac{(P + 1,2q)(r^4 - f^4)}{4f \cdot r^2} = \frac{360(10,631^4 - 2,5^4)}{4 \cdot 2,5 \cdot 10,631} = 4056,21 \text{ daN/m}$$

$$\text{donc } H' = 4056 \text{ daN/m}$$

effort de compression dans les méridiens

$$N_e = \sqrt{H'^2 + P'^2} = \sqrt{1984^2 + 4056^2} = 4515,299 \text{ daN/m}$$

Calcul des contraintes

* contrainte de compression $G'_b = \frac{N_e}{100e} = \frac{4515,299}{100 \cdot 0,08} = 5,64 \text{ kg/cm}^2 < \bar{G}'_b$

* contrainte de cisaillement $\bar{C}_b = \frac{P'}{100e} = \frac{1984}{100 \cdot 0,08} = 2,48 \text{ kg/cm}^2 < \bar{C}_b$

Calcul des Armatures

Comme les contraintes de compression et de cisaillement sont inférieures aux contraintes admissibles, le béton suffit lui seul, mais on mettra quand même des armatures destinées à résister aux efforts de retrait et aux efforts dissymétriques.

- Suivant les méridiens $A_1 = 0,3 \cdot e = 0,3 \cdot 8 = 2,4 \text{ cm}^2$

$$A_1 = 5 HA8/ml = 2,5 \text{ cm}^2$$

- Suivant les parallèles $A_2 = \frac{A_1}{3} = \frac{2,4}{3} = 0,8 \text{ cm}^2$

$$A_2 = 4 HAG/ml$$

Vérification de la coupole au poinçonnement

On vérifiera la coupole au poinçonnement causée par une charge de 170 kg. répartie sur une surface de 40.40 cm²

$$\frac{1,5 P}{P_c \cdot h_t} \leq 1,2 \bar{G}_b \quad \text{avec}$$

$$P_c = 40 \left(40 + \frac{2h_t}{2} \right) = 40 \left(40 + \frac{2 \cdot 8}{2} \right) = 192 \text{ cm}$$

$$1,5 \cdot \frac{170}{192 \cdot 8} = 0,15 \text{ kg/cm}^2 < 1,2 \bar{G}_b$$

h_t : épaisseur de la coupole

P_c : charge de 170 kg

P_c : périphérie dans le plan moyen de la coupole en tenant compte de la diffusion

Calcul de la ceinture

$$T = H \cdot r = 4056 \cdot 10,631 = 43119,336 \text{ daN}$$

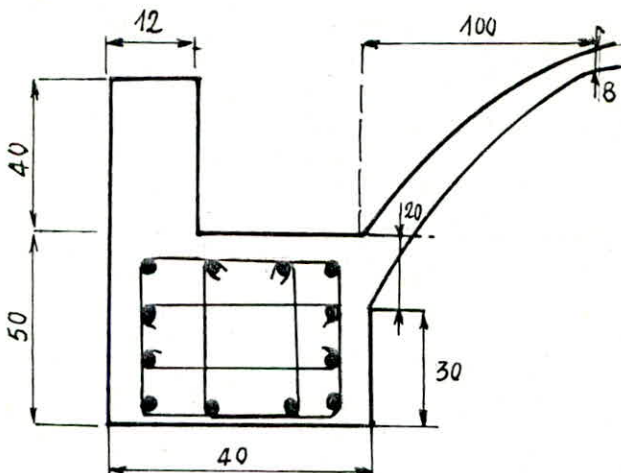
La section de l'acier sera de $A = \frac{T}{\bar{G}_q} = \frac{43119,336}{1224} = 35,228 \text{ cm}^2$

$$A = 12 HA20 = 37,7 \text{ cm}^2 \rightarrow \bar{G}_q = 1224 \text{ kg/cm}^2$$

La section de béton nécessaire en limitant la contrainte de traction du béton à 186

$$B = \frac{T - nA}{\bar{G}_{bn}} = \frac{43119,336 - 15 \cdot 37,7}{18} = 2364,102 \text{ cm}^2$$

Or la section de notre ceinture est $50 \cdot 40 + 40 \cdot 12 = 2480 \text{ cm}^2$.



Vérification de la ceinture

* condition de fragilité $\omega_f = \frac{A}{B} > \frac{3\bar{\sigma}_b}{\bar{\sigma}_{en}}$

$$\bar{A} \geq \frac{3\bar{\sigma}_b}{\bar{\sigma}_{en}} \cdot B = \frac{3 \cdot 6,25}{4200} \cdot 2480 = 11,07 \text{ cm}^2$$

$$A = 37,7 \text{ cm}^2 > \bar{A} = 11,07 \text{ cm}^2$$

* Condition de fissuration

$$\bar{\sigma}_1 = k \frac{n}{\phi} \frac{\omega_f}{1 + 10\omega_f} \quad \text{avec } \omega_f = \frac{37,7}{50 \cdot 40} = 0,019$$

$$\bar{\sigma}_1 = 0,5 \cdot 10^6 \cdot \frac{1,6}{20} \cdot \frac{0,019}{1 + 0,019} = 639 \text{ kg/cm}^2 < \bar{\sigma}_2 \Rightarrow \text{Vérifié}$$

$$\text{Car } \bar{\sigma}_q = \min \left\{ \frac{2}{3} \bar{\sigma}_{en}, \max(\bar{\sigma}_1, \bar{\sigma}_2) \right\}$$

$$\bar{\sigma}_q = \frac{T}{A} = \frac{43118,336}{37,7} = 1143,75 \text{ kg/cm}^2 < \bar{\sigma}_q = 1224 \text{ kg/cm}^2$$

Etude des parois

La paroi sera étudiée dans le cas où la cuve du château d'eau soit pleine et donc soumise à la poussée de l'eau. Pour une question de sécurité on négligera dans ce cas la poussée du vent.

Apartir de la théorie de la membrane, TIMOSHENKO, est arrivé à étudier dans son ouvrage intitulé "coques et plaques" pages 485 et 486.

L'équilibre d'une coque soumise à des pressions extérieures et c'est à partir des déplacements des éléments de la coque. Il est arrivé à donner les relations entre le déplacements et les éléments de réduction qui sont :

* $N_e = \frac{D(1-\mu^2)}{a} \cdot \omega \quad D = \frac{E \cdot t}{1-\mu^2} \quad \text{résistance de la dilatation}$

$$\begin{aligned} M_x &= k \cdot \omega'' \\ T_x &= k \cdot \omega''' \end{aligned} \Rightarrow k = \frac{E \cdot t^3}{12(1-\mu^2)} \quad \text{résistance de la flexion}$$

où

t : épaisseur de la paroi $t = 0,18 \text{ m}$

a : rayon interne de la cuve. $a = 20,902 \text{ m}$

μ : coefficient de poisson.

ω : déplacement radial de l'élément de paroi

M_x : Moment fléchissant sur l'élément de la paroi

N_e : poussée radiale sur l'élément de la paroi

T_x : effort tranchant sur l'élément de paroi

Dans notre cas la poussée d'eau, ω sera la solution de l'équation diff. suivante

$$K \omega'' + D a^2 (1 - \mu^2) \cdot \omega = \gamma a^4 (h - a)$$

où γ : masse volumique de l'eau

La solution particulière de cette équation est $\omega = \frac{\gamma \cdot a^2}{D(1-\mu^2)} (h-x)$

La solution de l'équation homogène est de la forme

$$\omega = e^{-\frac{\alpha}{q}x} \left(C_1 \cos \frac{\alpha}{q}x - i C_2 \sin \frac{\alpha}{q}x \right) + e^{\frac{\alpha}{q}x'} \left(C_3 \cos \frac{\alpha}{q}x' + i C_4 \sin \frac{\alpha}{q}x' \right)$$

$$\text{où } \alpha = \sqrt{\frac{3a^2(1-\mu^2)}{t^2}} \quad \text{et } x' = h-x$$

Vu que α est un terme de grande valeur alors les fonctions $e^{\alpha x}$ et $e^{-\alpha x}$ croissent très vite, en faisant varier x ou x' à partir de zéro. Donc à l'inverse, les fonction $e^{-\alpha x}$ et $e^{\alpha x'}$ auront rapidement des valeurs très faibles si on s'éloigne de $x=0$ et $x'=0$.

* Au bord inférieur on aura comme solution de l'équation homogène

$$\omega = e^{-\frac{\alpha}{q}x} \left(C_1 \cos \frac{\alpha}{q}x + i C_2 \sin \frac{\alpha}{q}x \right)$$

* La solution générale de l'équation non homogène sera :

$$\omega = e^{-\frac{\alpha}{q}x} \left(C_1 \cos \frac{\alpha}{q}x + i C_2 \sin \frac{\alpha}{q}x \right) + \frac{\gamma \cdot a^2}{D(1-\mu^2)} (h-x)$$

Les parois supposées encastrées sur le radier

$$\frac{\partial \omega}{\partial x} = 0 \implies C_1 = -\frac{\gamma \cdot a^2 \cdot h}{D(1-\mu^2)}$$

$$\frac{\partial^2 \omega}{\partial x^2} = 0 \implies C_2 = \frac{1}{i} \left(\frac{\gamma \cdot a^2 \cdot h}{D(1-\mu^2)} + \frac{\gamma \cdot a^3}{\alpha D(1-\mu^2)} \right) = \frac{1}{i} \frac{\gamma \cdot a^2}{D(1-\mu^2)} \left[-h + \frac{a}{\alpha} \right]$$

$$M_x = \frac{t^2 \cdot \gamma \cdot \alpha^2 \cdot e^{-\frac{\alpha}{q}x}}{6(1-\mu^2)} \left[-h \sin \frac{\alpha}{q}x + \left(h - \frac{a}{\alpha} \right) \cos \frac{\alpha}{q}x \right]$$

$$* N_e = e^{-\frac{\alpha}{q}x} \left[-\gamma \cdot a \cdot h \cdot \cos \frac{\alpha}{q}x + \gamma a \left(-h + \frac{a}{\alpha} \right) \sin \frac{\alpha}{q}x \right] + \gamma a (h-x)$$

$$T = \frac{-t^2 \cdot \alpha^3 \gamma}{6a(1-\mu^2)} e^{-\frac{\alpha}{q}x} \left[+h(\cos \frac{\alpha}{q}x - \sin \frac{\alpha}{q}x) + \left(h - \frac{a}{\alpha} \right) (\cos \frac{\alpha}{q}x + \sin \frac{\alpha}{q}x) \right]$$

Le cahier des charges pour le calcul des réservoirs et cuves de châteaux-d'eau le poids volumique de l'eau à 1200 kg/m^3 au lieu de 1000 kg/m^3 .

$t = 0,18 \text{ m}$ épaisseur de la paroi

$a = 20,902 \text{ rayon interne de la cuve}$

$\mu = \frac{1}{6}$ coef. de poisson du béton armé

ω : déplacement radial de l'élément de la cuve

$$\alpha = \sqrt[4]{\frac{3a^2(1-\mu^2)}{t^2}} = 9,1727$$

$$M_x = 560,7946 e^{-0,439x} [-6 \sin 0,439x + 3,722 \cos 0,439x]$$

$$M_{\max} = 2,0873 \text{ t.m/m}\ell$$

$$N_q = e^{-0,439x} [-150494,4 \cos 0,439x - 93356,69 \sin 0,439x] + 25082,4 (6-x)$$

$$T = 121,93 (9,72 \cos 0,439x - 2,28 \sin 0,439x) e^{-0,439x}$$

effort cote	$M_x (\text{t.m/m}\ell)$	$N_q (\text{t/m}\ell)$	$T (\text{t/m}\ell)$
0,00	+ 2,0873	0	1,1852
1,00	+ 0,2961	12,010	0,6154
2,00	- 0,5219	30,526	0,2257
3,00	- 0,6562	40,9103	0,00763
4,00	- 0,7305	39,1016	- 0,08489
5,00	- 0,6419	26,4414	- 0,10225
6,00	- 0,4876	6,184	- 0,0840569

Ferrailage horizontal des viroles : $A_{\min} = 0,15\% B' = 18 \cdot 0,15 \cdot \frac{100}{100} = 2,7 \text{ cm}^2$
 $\approx A_{\min} = 5,4 \text{ cm}^2$

Viroles	$T_i = \frac{F_i + F_{i+1}}{2} (\text{t/m}\ell)$	$A_i = T_i / \bar{G}_q (\text{cm}^2)$	$A (\text{cm}^2)$ chusie	espacement
0 ÷ 1	6,005	2,92	6HA12 = 6,78	35
1 ÷ 2	21,268	10,324	6HA16 = 12,06	35
2 ÷ 3	35,71815	17,338	6HA20 = 18,84	35
3 ÷ 4	40,0059	19,42	6HA12 6HA20 = 25,62	35
4 ÷ 5	32,772	15,908	6HA20 = 18,84	35
5 ÷ 6	16,184	7,85	6HA14 = 9,23	35

$$M = 2,087 \text{ t.m}$$

$$h_t = 18 \text{ cm} \quad d = d' = 2 \text{ cm}$$

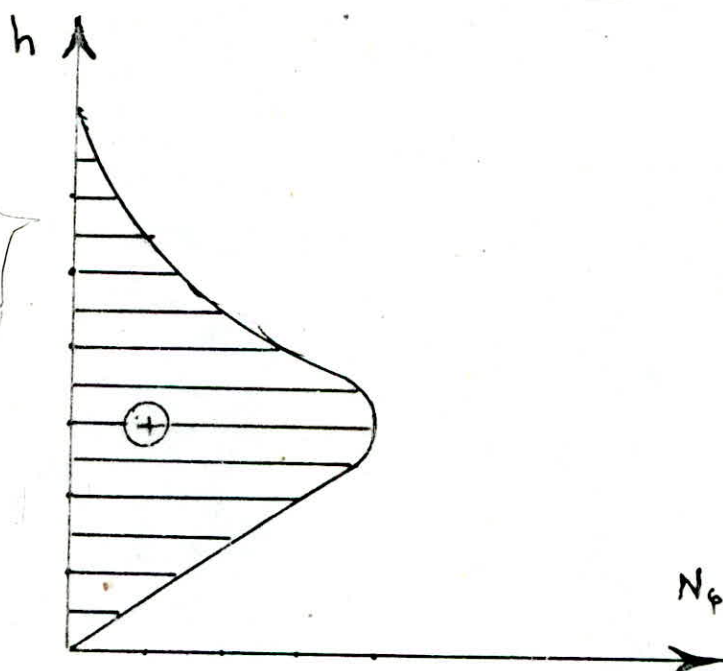
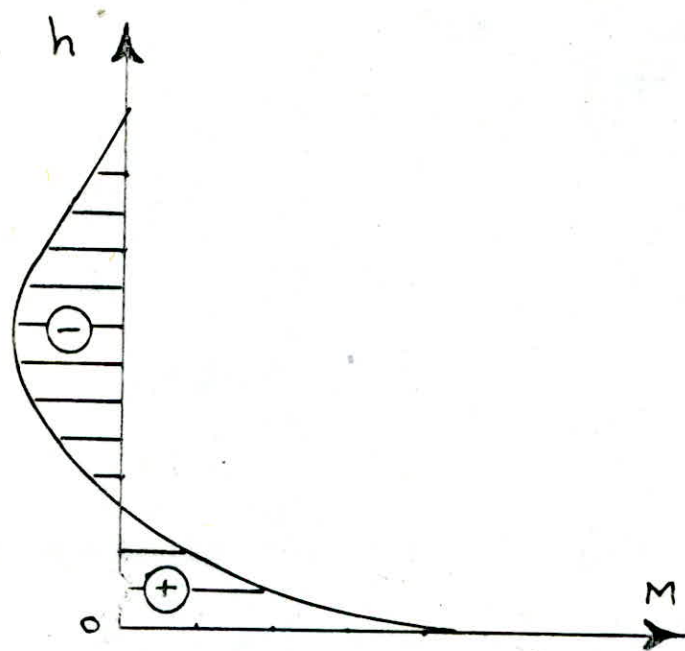
$$\rightarrow \mu = 3,406$$

$$\left\{ \begin{array}{l} k = 1,4 \\ \alpha = 0,9146 \\ E = 0,6951 \\ \omega = 32,66 \\ \mu' = 0,3179 \end{array} \right.$$

$$G_b' = 150 \text{ b} \approx 150 \text{ kg/cm}^2$$

$$\bar{G}_q = \begin{cases} 2670 \text{ kg/cm}^2 & ; \phi > 20 \\ 2800 \text{ kg/cm}^2 & ; \phi \leq 20 \end{cases}$$

Diagrammes de M et N_p dues à la poussée de l'eau sur les parois de la cuve



$$\bar{\sigma}_b' = \frac{\sigma_b}{k} = \frac{2800}{1,14} = 2000 > 150 \text{ kg/cm}^2 \Rightarrow \text{nécessité des armatures comprimées}$$

$$M_1 = \mu' \cdot \bar{\sigma}_b' \cdot b \cdot h = 1871795,2 \text{ kg.cm}$$

$$\Delta M = M - M_1 = 215504,8 \text{ kg.cm}$$

$$A' = \frac{\Delta M}{(h-d) \bar{\sigma}_q'} = 5,765 \text{ cm}^2 \Rightarrow 4\phi 14 = 6,15 \text{ cm} \text{ Armatures minimales}$$

$$A = \frac{\Delta M}{\bar{\sigma}_q \cdot \varepsilon \cdot h} + \frac{\Delta M}{(h-d') \bar{\sigma}_q} = 9,495 \text{ cm}^2 \Rightarrow A = 4\phi 20 = 12,56 \text{ cm}^2$$

Vérification des contraintes

$$S = b \frac{y^2}{2} + n A' (y - d') - n A (h_t - d - y) = 0$$

$$\text{est de la forme } a_1 y^2 + b_1 y + c_1 = 0$$

avec

$$a_1 = \frac{b}{2n} = \frac{100}{30} = 3,33$$

$$b_1 = A + A' = 18,71 \text{ cm}^2$$

$$c_1 = -[A'd' + A(h_t - d)] = -213,26$$

$$y = 2,269 \text{ cm.}$$

Moment d'inertie de la section par rapport à l'axe neutre

$$I = \frac{b}{3} y^3 + n A' (y - d')^2 + n A (h_t - d - y)^2 = 35912,458 \text{ cm}^4$$

$$\bar{\sigma}_b' = k y = \frac{M}{I} y = 131,88 \text{ kg/cm}^2 < \bar{\sigma}_b' = 150 \text{ kg/cm}^2.$$

$$\bar{\sigma}_q = n k (y - d') = 226,67 \leq 2800 \text{ kg/cm}^2$$

Vérification de l'effort tranchant

$$T_{\max} = 1,1852 t$$

$$\bar{\tau}_b = \frac{T}{b \cdot 3} = \frac{1185,2}{100 \cdot \frac{7}{8} \cdot 16} = 0,846 \text{ kg/cm}^2 < 2,5 \bar{\sigma}_b = 2,5 \cdot 6,25 = 15,625 \text{ kg/cm}^2$$

donc $\bar{\tau}_b < \bar{\tau}_b$

L'effort tranchant sera repris par les armatures horizontales en arcs et par les armatures en épingles de maintien.

Ferraillage du radier

$q_h = 7,2 \text{ t/m}^2$: charges réparties due à l'eau

$q_b = 1,35 \text{ t/m}^2$: charges réparties due au poids propres de la dalle

$$q = q_h + q_b = 8,55 \text{ t/m}^2$$

$P = 3,178 \text{ t/m}$ poids de parois de la loge interne

Fermentation du radier

$q_h = 7,2 \text{ t/m}^2$: charges réparties dûe à l'eau

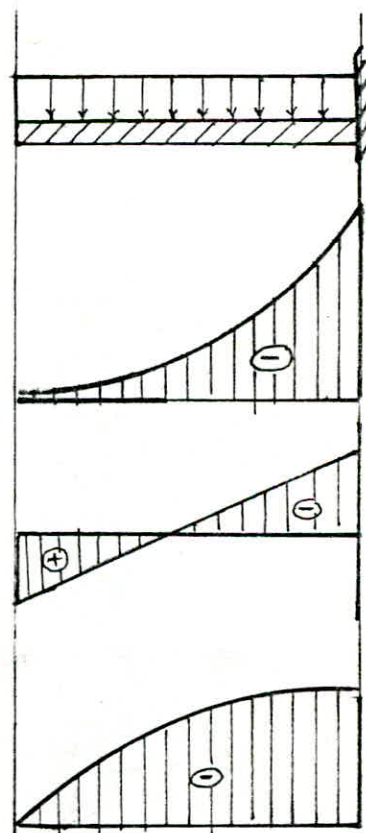
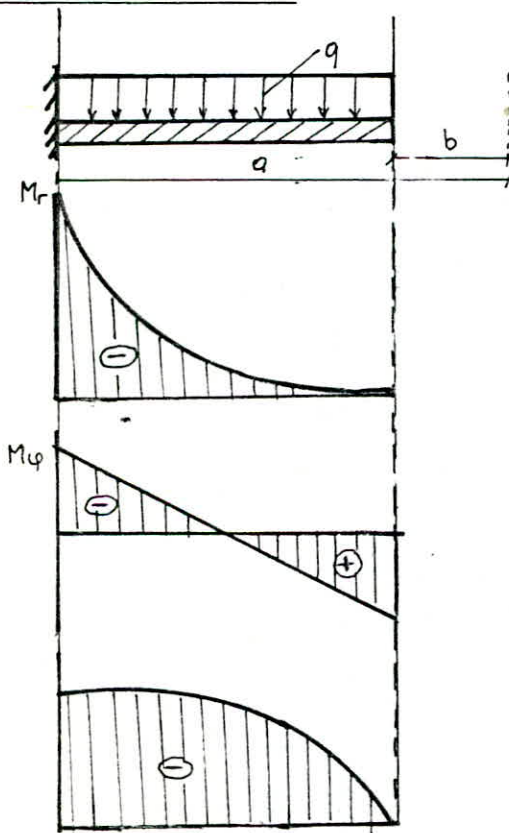
$q_b = 1,35 \text{ t/m}^2$: charges réparties dûe au poids propre de la dalle

$$q = q_h + q_b = 8,55 \text{ t/m}^2$$

$P = 3,178 \text{ t/m}$ poids de parois de la loge interne

Dalle annulaire interne

1^{er} Cas



w: déplacement vertical de la pièce

M_r : moment radial

M_ϕ : moment tangentiel

$$W = \frac{q a^4}{64 D} \left[-1 + 2(1-k_0 - 2\beta^2) (1-\varphi^2) + \varphi^4 - 4k_0 \log \varphi - 8\beta^2 \varphi^2 \log \varphi \right]$$

$$T_r = q \frac{a}{2} \left(\varphi - \beta^2 \frac{1}{\varphi} \right)$$

$$M_r = q \frac{a^2}{12} \left[(1-\mu)(1-k_0) + 4\beta^2 - (3-\mu)\varphi^2 - (1-\mu) k_0 \frac{1}{\varphi^2} + 4(1+\mu)\beta^2 \log \varphi \right]$$

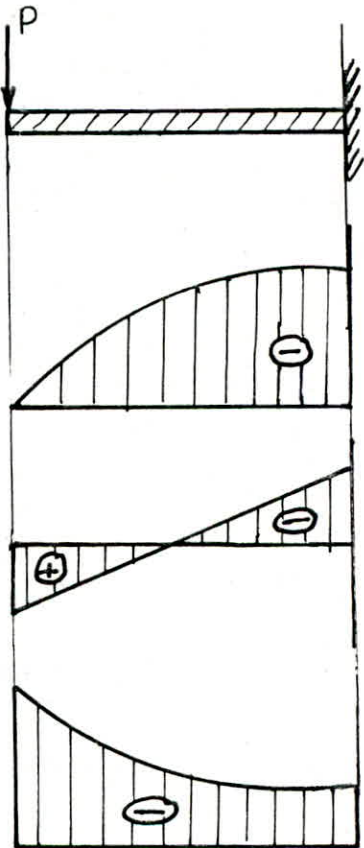
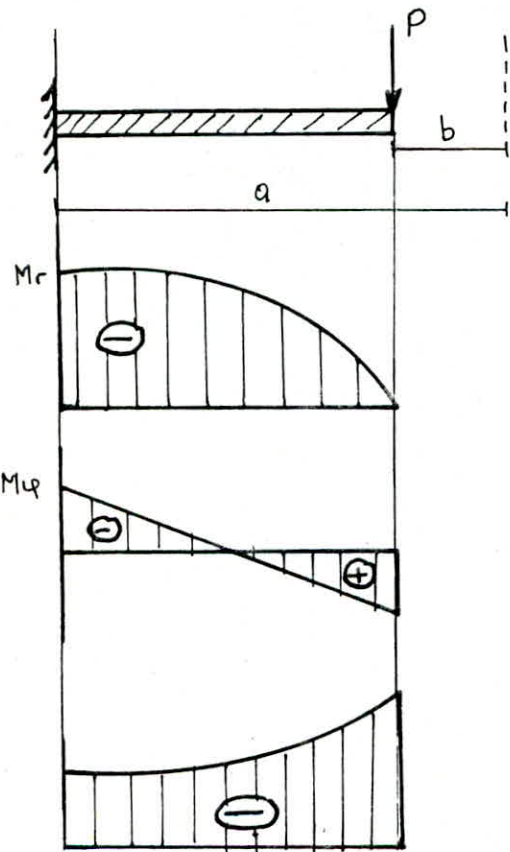
avec

$$K_0 = \frac{(1-\mu)\beta^2 + (1+\mu)(1+4\beta^2 \log \beta)}{(1-\mu) + (1+\mu)\beta^2}$$

$\varphi = \frac{x}{a}$, $\beta = \frac{b}{a}$ pour les sollicitations maximales $x=a$.

$$\varphi = 1 \quad M_r = 47,32 \text{ t.m/m} \quad , \quad M_\varphi = 53,99 \text{ t.m/m} \quad , \quad T_r = 31,125 \text{ t/m}$$

2^{eme} cas



$$W = \frac{P a^3 \beta}{8D} \left[(1+2k_1)(1-\varphi^2) + 4k_1 \log \varphi + 2\varphi^2 \log \varphi \right]$$

$$T_r = P \cdot \frac{\beta}{\varphi}$$

$$M_r = P \cdot \frac{a \beta}{2} \left[-1 + (1+\mu) k_1 + (1-\mu) k_1 \frac{1}{\varphi^2} - (1+\mu) \log \varphi \right]$$

$$M_\varphi = P \frac{a}{2} \beta \left[-\mu + (1+\mu) k_1 - (1-\mu) k_1 \frac{1}{\varphi^2} - (1+\mu) \log \varphi \right]$$

$$\text{avec } k_1 = \frac{1+(1+\mu) \log \beta}{1-\mu + (1+\mu) \beta^2} \cdot \beta^2$$

$$D = \frac{E \cdot h^3}{12(1-\mu^2)}$$

D : rigosité fléxionnelle de la dalle
h : épaisseur de la dalle

les sollicitations max à $x=a$

$$M_r = 0,7966 \text{ t.m/ml} \quad , \quad M_\varphi = 0,135 \text{ t.m/ml} \quad , \quad T_r = 0,217 \text{ t/ml}$$

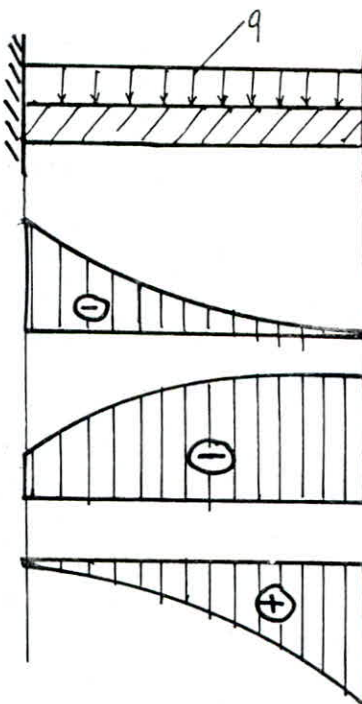
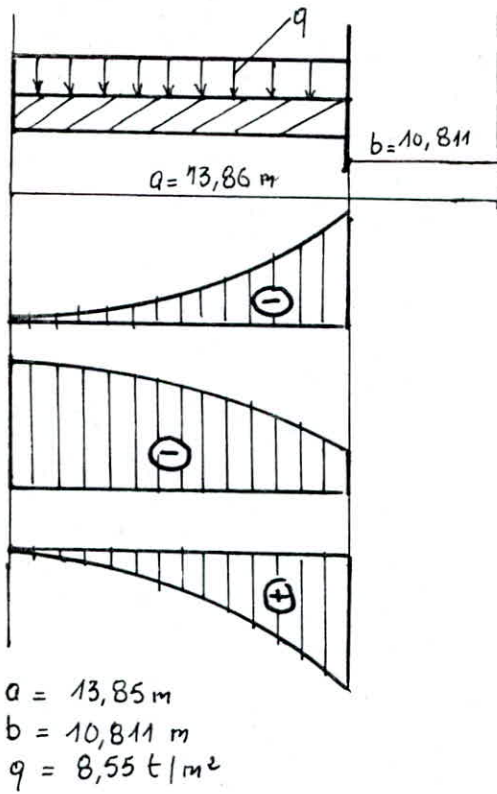
- on superposant les deux diagrammes on aura :

$$M_r = M_{rq} + M_{rp} = 48,12 \text{ t.m/ml}$$

$$M_\varphi = M_{\varphi q} + M_{\varphi p} = 54,13 \text{ t.m/ml}$$

Dalle annulaire externe

1^{er} Cas



$$W = \frac{q a^2}{64 D} \left[-\beta^4 + 2(\beta^2 - k_2 - 2)(\beta^2 - \varphi^2) + \varphi^4 - 4k_2 \beta^2 \log \frac{\varphi}{\beta} - 8\mu^2 \log \frac{\varphi}{\beta} \right]$$

$$T_r = -q \frac{a}{2} \left(\varphi - \frac{1}{4} \right)$$

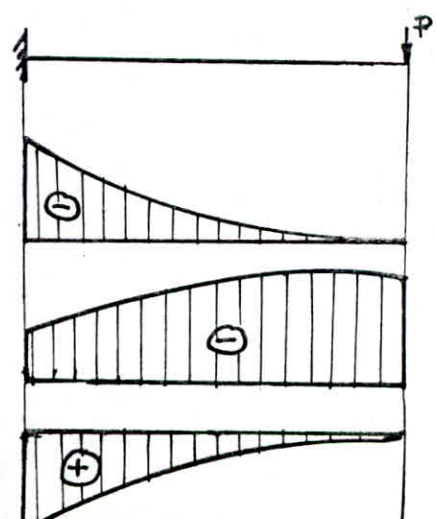
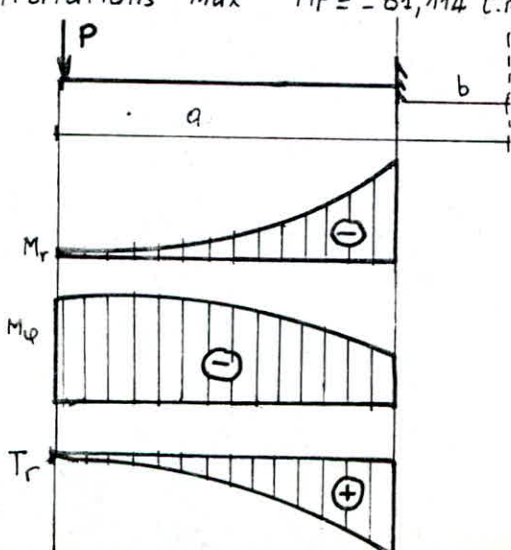
$$M_r = q \frac{a^2}{16} \left[(1+\mu)(\beta^2 - k_2) + 4\mu - (3+\mu)\varphi^2 - (1-\mu)k_2 \frac{\beta^2}{\varphi^2} + 4(1+\mu) \log \frac{\varphi}{\beta} \right]$$

$$M_\varphi = q \frac{a^2}{16} \left[(1+\mu)(\beta^2 - k_2) + 4\mu - (1+3\mu)\varphi^2 + (1-\mu)k_2 \frac{\beta^2}{\varphi^2} + 4(1+\mu) \log \frac{\varphi}{\beta} \right]$$

avec $k_2 = \frac{1+\mu+(1-\mu)(\beta^2 - 4 \log \beta)}{1+\mu+(1-\mu)\beta^2}$

les sollicitations max $M_r = -81,114 \text{ t.m/ml}$ $M_\varphi = -43,78 \text{ t.m/ml}$, $T_r = -29,75 \text{ t.m/ml}$

2^{eme} Cas



$$a = 13,86 \text{ m}$$

$$b = 10,811 \text{ m}$$

$$P = P_p + P_c = 4,96 \text{ t/m}\ell$$

$$W = P \frac{q^3}{8D} \left[(1+2k_3) (\beta^2 - \varphi^2) + 4k_3 \beta \log \frac{\varphi}{\beta} + 2\varphi^2 \log \frac{\varphi}{\beta} \right]$$

$$T_r = \frac{P}{\varphi}$$

$$M_r = -P \frac{q}{2} \left[k_3(1+\mu) - 1 + (1-\mu)k_3 \frac{\beta^2}{\varphi^2} - (1-\mu) \log \frac{\varphi}{\beta} \right]$$

$$M_\varphi = -P \frac{q}{2} \left[-\mu + (1+\mu)k_3 - (1-\mu)k_3 \frac{\beta^2}{\varphi^2} - (1+\mu) \log \frac{\varphi}{\beta} \right]$$

avec

$$k_3 = \frac{1 - (1+\mu) \log \beta}{1 + \mu + (1-\mu)\beta^2}$$

sollicitations max

$$M_r = -11,686 \text{ t.m/m}\ell, M_\varphi = -5,13 \text{ t.m/m}\ell; T_r = 6,35 \text{ t/m}\ell$$

* On superpose les deux diagrammes on aura :

$$M_r = M_{rq} + M_{rp} = 92,80 \text{ t.m/m}\ell$$

$$M_\varphi = M_{\varphi q} + M_{\varphi p} = 48,91 \text{ t.m/m}\ell$$

Calcul des aciers

$$\overline{G}_b' = 150 \text{ kg/cm}^2$$

$$h_t = 54 \text{ cm} \Rightarrow h = 49 \text{ cm}$$

$$b = 100 \text{ cm} \quad \text{on choisit les aciers HA25} \rightarrow \overline{G}_a = 1574 \text{ kg/cm}^2$$

$$\alpha = \frac{15 \overline{G}_b'}{15 \overline{G}_b' + \overline{G}_a} = 0,59 \quad \gamma = 1 - \frac{\alpha}{3} = 0,80$$

moment résistant du béton

$$M_{rb} = \frac{1}{2} \alpha \overline{G}_b' b h = 84,99 \text{ t.m}$$

$$\text{Si } M_{rb} > M \Rightarrow A' = 0 \quad \text{et} \quad A = \frac{M}{\gamma \cdot h \cdot \overline{G}_a}$$

$$\text{Si } M_{rb} < M \Rightarrow A' \neq 0$$

$$A = \frac{\Delta M}{(h-d) \overline{G}_a} \quad \text{et} \quad A = \frac{M}{\gamma h \overline{G}_a} + \frac{\Delta M}{(h-d) \overline{G}_a}$$

Vérification des contraintes

Soit y la distance de l'axe neutre de la section à la fibre la plus comprimée

* le moment statique sera : $S = b \frac{y^2}{2} + n'A'(y - d') - nA(h-y) = 0$
et on cherche la valeur de y

* moment d'inertie $I = b \frac{y^3}{3} + n'A'(y - d')^2 + nA(h-y)^2$

$$\overline{G}_b' = \frac{M}{I} \cdot y \quad \text{et} \quad \overline{G}_a = n \frac{M}{I} (h-y)$$

Calcul des aciers et Vérification des contraintes

		A'	A' adopté	A	A adopté	y_{cm}	I_{cm}	σ_b kg/cm^2	σ_a kg/cm^2
Dalle interne	$M_r = 48,12 t.m$	0	0	77,98	16 HA 25 78,54	24,18	1196993,72	97,21	1436,67
	$M_\varphi = 54,13 t.m$	0	0	87,72	18 HA 25 88,36	24,18	1296993,724	109,34	1553,79
Dalle externe	$M_r = 92,80 t.m$	5,51	6,03 $3\phi 16$	83,08	"	41,59	8235382,39	60,544	1166,27
	$M_\varphi = 48,91 t.m$	0	0	79,54	18 HA 25 88,36	24,28	1206194,53	98,45	1503,55

IV-4 Détermination de la période propre de vibration de l'ouvrage

On se propose de déterminer la période avec une méthode, car il existe une deuxième méthode, celle de RAYLEIGH, mais on se contente de la première qui nous apparaît plus simple :

Formule pour une masse concentrée sur un support de masse non négligeable (MARIUS-DIVERS)

$$T = 2\pi \sqrt{\frac{P'h^3}{3EIg}} \quad \text{avec} \quad P' = P + \frac{33}{140} \mu \cdot h.$$

avec

h : hauteur du support comptée de l'encastrement au centre de gravité de la masse oscillante.

I : Moment d'inertie de la section transversale du support.

E : Module d'élasticité instantané.

P : poids de la masse concentrée.

μ : poids du support par unité de longueur (kg/ml)

Cuve vide

p1

Éléments du château	Bras de levier (m)	Poids (t)
Dalle circulaire	$z_1 = 48,70$	3,21
poteaux sous dalle	$z_2 = 47,76$	2,25
ceinture sur coupole	$z_3 = 46,90$	3,9
coupole de couverture	$z_4 = 45,59$	132,257
A cratère	$z_5 = 44,09$	7,51
ceinture supérieure	$z_6 = 43,32$	35,925
Cuve	$z_7 = 41,44$	340,636
ceinture inférieure	$z_8 = 38,56$	35,925
Dalle de cuve	$z_9 = 38,46$	478,265

$$\sum P_i z_i = 1204,884 t.$$

$$\sum_{i=1}^9 P_i z_i = 42216,766 t.m.$$

$$z_G = \frac{\sum_{i=1}^9 P_i z_i}{\sum_{i=1}^9 P_i} = 35,038 + 2,5 = 37,538 m$$

$$\mu = \frac{\pi}{4} (D_e^2 - D_i^2) f_b = \frac{\pi}{4} (14,99^2 - 14,29^2) \cdot 2,5 = 40,243 t/ml$$

$$I = \frac{\pi}{64} (D_e^4 - D_i^4) = \frac{\pi}{4} (14,99^4 - 14,28^4) = 16,0975 \text{ m}^4$$

-45-

$$E_i = 21000 \sqrt{5_{28}} = 21000 \sqrt{1,02.300} = 367349,969 \text{ kg/cm}^2$$

Cuve vide plus la moitié du fût

$$\bar{z} = \frac{40,243 \cdot \frac{38,19}{2} \cdot (19,095 + \frac{19,095}{2} + (975,948 + 120) \cdot 37,538 + 4 \cdot 24,774 \cdot 32,45)}{40,243 \cdot \frac{38,19}{2} + (975,948 + 120) + 4 \cdot 24,774}$$

$$\bar{z} = \frac{22010,045 + 41139,696 + 3215,66}{768,44 + 1095,948 + 99,096} \rightarrow \bar{z} = 33,80 \text{ m}$$

$$P' = P + \frac{33}{140} \text{ p.h} = 1963,484 + \frac{33}{140} \cdot 40,243 \cdot 34,19 \rightarrow P' = 2284,105 \text{ t}$$

$$T_y = 2\pi \sqrt{\frac{P' \cdot h^3}{3 \cdot E \cdot I \cdot g}} = 2\pi \sqrt{\frac{2284,105 \cdot (33,80)^3}{9,81 \cdot 3 \cdot 367349,969 \cdot 160,975}}$$

$$\rightarrow T_y = 1,414 \text{ A}$$

Cuve pleine plus la moitié du fût

$$\bar{z} = \frac{2284,105 \cdot 33,80 + 2000 \cdot 37,44}{2284,105 + 2000} \rightarrow \bar{z} = 35,49 \text{ m}$$

$$P' = 4284,105 + \frac{33}{140} \cdot 40,243 \cdot 35,49 \rightarrow P' = 4620,750 \text{ t.}$$

$$T_p = 2\pi \sqrt{\frac{4620,750 \cdot (35,49)^3}{9,81 \cdot 3 \cdot 367349 \cdot 160,975}} \rightarrow T_p = 2,164 \text{ A}$$

IV-5 Action d'ensemble du Vent

L'action d'ensemble du vent est la résultante géométrique R de toutes les actions P sur les différentes parois de la construction.

La résultante peut se décomposer suivant deux directions :

* direction parallèle à celle du vent : trainée T

* direction perpendiculaire du vent : Dérive L

L'effort de trainée est donné par $T = C_t \cdot \beta \cdot \gamma \cdot q \cdot D_e$

$C_t = C_{t_0} \gamma_0$: → Dépend de l'élancement de la tour et la rugosité de sa surface, il est lié aux efforts aérodynamiques provoqués par la forme circulaire de la section.

C_{t_0} : → cylindre rigueux à la base circulaire sans nervure.

$$\lambda = \frac{z^2}{S_t} \quad h = z : \text{hauteur totale de l'ouvrage} = 47,73 \text{ m}$$

S_t : Aire totale de la projection verticale de la construction .

Calcul des sections (Projection Verticale)

$$\text{Tour} \quad S_1 = h_t d_t = 38,19 \cdot 14,39 = 572,47 \text{ m}^2$$

$$\text{Cuve} \quad S_2 = 2\pi c h_c = 2 \cdot 10,631 \cdot 7,04 = 149,684 \text{ m}^2$$

$$\text{Coupole} \quad S_3 = \frac{\pi R^2}{360} \Theta - \pi (R-f) = 3,14 \cdot \frac{(23,85)^2}{360} \cdot 52,94 - 10,63 (23,85-2,5)$$

$$S_3 = 35,69 \text{ m}^2$$

$$S_t = S_1 + S_2 + S_3 = 757,844 \text{ m}^2$$

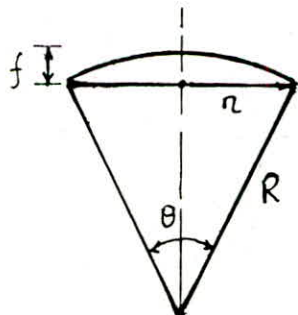
$$\lambda = \frac{47,73^2}{757,844} = 3,006 \quad (\text{NV65 page 145 R III.10. cat. IV})$$

$$\gamma_0 = 1,012$$

$$C_t = C_{t_0} \cdot \gamma_0 = 0,55 \cdot 1,012 \approx 0,557$$

$\beta = (1 + \xi \bar{C})$: coef. de majoration dynamique dépend de la période de résonnance lié aux efforts de résonnance provoqués par les oscillations de la tour et du niveau considéré.

ξ = coef. de réponse donné en fonction de la période T du mode fondamental d'oscillation de la structure .



γ : Coef. de pulsation déterminé à chaque niveau considéré en fonction de sa côte au dessus du sol

δ : coef. de réduction tenant compte de l'effet des dimensions, il est donné par les règles (NY 65 page 231) en fonction de hauteur de construction et du niveau pris en considération.

$$\delta = 0,88$$

De: diamètre extérieur à la section considérée

$$q : \text{pression du vent} \quad q = k_s \cdot q_H \quad q_H = 175 \frac{h+18}{h+60}$$

q_H : pression du vent à la hauteur h

$$k_s = 1,30 \text{ (coef. de site régional)}$$

$$\text{donc } T = 0,557 \left(1 + \frac{\gamma}{\gamma} \right) \cdot 0,88 \cdot 1,30 \cdot 175 \cdot \frac{h+18}{h+60} \cdot \text{De}$$

$$T = 111,51 \left(1 + \frac{\gamma}{\gamma} \right) \text{ De} \cdot \frac{h+18}{h+60}$$

Tous les résultats de calcul des coef, ainsi que les pressions normales (q_n) et extrêmes (q_e) sont rangés dans le tableau suivant.

$$T_r = 1,414 \downarrow$$

$$T_p = 2,164 \downarrow$$

V1

γ	C_t	γ	ξ_r	ξ_p	S	k_s	q	B_r	B_p	q_n	q_e
0,00	0,557	0,360	0,82	1,20	0,88	1,30	52,50	1,295	1,432	68,25	119,44
4,00	"	"	"	1,20	"	"	60,16	"	"	78,21	136,87
8,00	"	"	"	1,20	"	"	66,91	"	"	86,98	152,22
12	"	0,358	"	"	"	"	72,92	1,294	1,430	94,80	165,90
16	"	0,350	"	"	"	"	78,29	1,287	1,42	101,78	178,115
20	"	0,345	"	"	"	"	83,125	1,283	1,414	108,06	189,11
24	0,557	0,340	0,82	"	0,88	1,30	87,50	1,279	1,408	113,75	199,06
28	"	0,334	"	"	"	"	91,48	1,274	1,401	118,924	208,924
32	"	0,328	"	"	"	"	95,11	1,269	1,394	123,64	216,37
36	"	0,321	"	"	"	"	98,44	1,263	1,385	127,97	223,77
38,19	"	0,318	"	"	"	"	100,15	1,261	1,382	130,195	227,84
40	"	0,315	"	1,20	"	"	101,5	1,258	1,378	131,95	230,91
44	"	0,309	"	"	"	"	104,33	1,253	1,371	135,63	237,35
47,73	"	0,304	"	"	"	"	106,77	1,249	1,365	138,80	242,9
-2,5	0,557	0,360	0,82	"	0,88	1,30	57,40	1,295	1,432	74,62	130,59

$$q_n = k_s q_r \rightarrow \text{pression normale}$$

$$q_e = 1,75 q_n \rightarrow \text{pression externe.}$$

Action perpendiculaire à la direction du vent

La force de derive est donné par $L = C_L \cdot S' \cdot \beta \cdot q_{cr} \cdot De \frac{H}{h}$

$C_L = 0,2$: coef. dérive (expérimental) donné par NV65 (p.288)

$\beta = \frac{\pi c}{\Delta} = \frac{\pi c}{0,3} = 10,47$: coef dynamique, structure en état de résonnance (page 288)

$S' = 0,8$: coef. de réduction tenant compte de l'effet de dimension

$z = H = 47,73 \text{ m}$: côte du niveau considéré compté à partir du sol.

La résonnance se produit quand la période des rafales du vent est égale à la période propre de vibration de la structure selon la théorie de "KARMAN"

$$T_k = \frac{De}{S \cdot V} \quad (\text{N.V page 287})$$

V: vitesse du vent.

$S = 0,2$ nombre de STROUHAL. donné par NV65 (page 287)

$De = 21,26 \text{ m}$: diamètre extérieur de la tour $T_k = T \Rightarrow V_{cr} = \frac{De}{S \cdot T}$

Les vibrations latérales doivent être compatibles avec le régime lamininaire du vent. $V_{cr} \leq 25 \text{ m/s}$.

Dans le cas où la vitesse $V_{cr} > 25 \text{ m/s}$, les oscillations latérales sont négligeables, où l'incompatibilité entre le régime turbulent et tourbillons de KARMAN

Réservoir vide $T = 1,414 \Rightarrow V_{cr} = \frac{21,26}{0,2 \cdot 1,414} = 75,18 > 25 \text{ m/s}$

" plein $T = 2,164 \Rightarrow V_{cr} = \frac{21,26}{0,2 \cdot 2,164} = 49,12 > 25 \text{ m/s}$

Remarque : L'augmentation de la vitesse du vent diminue la possibilité de mise en résonnance, on a donc admis (NV65) arbitrairement à partir de vitesse de 25 m/s. Il est utile de faire un calcul à la résonnance pour NV65 : les oscillations latérales sont donc négligeables

$$R = \sqrt{T^2 + L^2} = T$$

les pressions et les forces sont données par le tableau ci-dessous

v2

Cote m	cuve vide				cuve pleine			
	q_{rn} (daN/m)	q_{re} (daN/m ²)	T_n (daN/m)	T_e (daN/m)	q_{rn} (daN/m ²)	q_{re} (daN/m ²)	T_n (daN/m)	T_e (daN/m)
0,00	33,325	58,31	499,542	874,067	36,851	64,489	552,396	966,690
4,00	38,187	66,823	572,423	1001,676	42,227	73,897	632,983	1107,716
8,00	42,472	74,326	636,655	1114,147	46,965	82,189	704,005	1232,013
12	46,251	80,933	693,302	1213,186	51,112	89,446	766,169	1340,796
16	49,388	86,429	740,326	1295,571	54,492	95,361	816,835	1429,461
20	52,275	91,481	783,602	1371,300	57,613	100,823	863,619	1511,337
24	54,855	95,996	822,276	1438,98	60,388	105,679	905,216	1584,128
28	57,126	99,971	856,319	1498,565	62,821	109,937	941,687	1647,956
32	59,160	103,53	886,808	1551,915	64,987	113,727	974,155	1704,768
36	60,942	106,649	913,521	1598,669	66,829	116,951	1001,767	1754,095
38,19	61,089	106,906	915,724	1602,253	66,951	117,164	1003,595	1756,288
40	62,587	109,527	1330,772	2328,763	68,557	119,975	1457,659	2550,909
44	64,077	112,138	1362,405	2384,278	70,111	122,694	1490,700	2608,720
47,3	65,366	114,391	1389,812	2432,181	71,437	125,015	1518,893	2658,069
-2,5	36,435	63,761	774,681	1356,686	40,290	70,508	856,646	1499,141

$$\begin{cases} q_{rn} = C_t \cdot \beta_v \cdot S \cdot g \\ q_{re} = 1,75 q_{rn} \end{cases}$$

$$D_2 = 21,262 \text{ m}$$

$$D_3 = 14,99 \text{ m}$$

$$\begin{cases} T_n = q_{rn} \cdot D \\ T_e = q_{re} \cdot D \end{cases}$$

cuve vide					cuve pleine			
effort tranchant		mouvement fléchissant			effort tranchant		mouvement fléchissant	
z	S ^c Nor.	S ^c exp.	S ^c Nor.	S ^c exp.	S ^c Nor.	S ^c exp.	S ^c Nor.	S ^c exp.
0,00	37,16	65,03	1182	2069,25	40,82	71,43	1298,42	2272,08
4,00	36,90	64,575	950,96	1664,18	40,53	70,92	1044,62	1827,96
8,00	36,12	63,21	750,62	1313,59	39,68	69,44	824,55	1442,86
12	34,81	60,92	579,32	1013,81	38,24	66,92	636,38	1113,59
16	32,98	57,72	434,97	761,198	36,23	63,40	477,81	836,11
20	30,64	53,62	315,49	552,11	33,66	58,90	346,56	606,44
24	27,76	48,58	218,79	382,88	30,49	53,35	240,34	420,57
28	24,37	42,65	142,78	249,865	26,77	46,84	156,84	274,45
32	20,46	35,81	85,37	149,40	22,48	39,34	93,78	164,10
36	16,02	28,04	44,48	77,84	17,60	30,80	48,86	85,50
38,19	13,37	23,40	28,34	49,60	14,69	25,71	31,13	54,47
40	11,06	19,36	18,02	31,54	12,15	21,26	19,79	34,63
44	5,58	9,77	3,89	6,81	6,12	10,71	4,27	7,47
47,73	0	0	0	0	0	0	0	0
-2,50	38,42	66,72	1240,90	2180,25	41,91	72,74	1381,71	2951,80

IV-6 Etude Au Séisme

Notre ouvrage sera implanté dans une zone de moyenne sismosité (zone II). Cette zone est donc susceptible d'être soumise à d'importantes secousses sismiques pouvant provoquer de désordres dans la construction et parfois la ruine totale, à moins que celle-ci ne soit pas conçue de façon à pouvoir résister aux forces sismiques horizontales agissant sur la structure.

Notre étude consiste donc en la vérification sous les sollicitations d'ensemble de la résistance et la stabilité de la structure afin de justifier la sécurité de la construction vis à vis des efforts sismiques.

Les sollicitations d'origine sismiques peuvent s'évaluer soit :

- Par application à la structure d'un système de forces dont les effets statiques seront considérés engendrant les mêmes efforts sur l'action sismique.
- Par un calcul dynamique direct, et donc disposer de spectres de réponses; ceci dit des graphes donnant directement l'accélération de l'onde sismique en fonction de la fréquence, ceci pour un séisme antérieur.

Ainsi pour nos calculs, on utilisera le premier procédé (ci-dessus) ceci en faisant un calcul statique équivalent.

Soulignons d'une part que les forces sismiques équivalentes données par la méthode statique sont inférieures aux forces réelles qui se produisraient dans la structure élastique sous l'action du séisme extrême.

Notre étude est basée sur les règles parasismiques Algérienne (R.P.A 81)

Principe de Calcul

Dans la conception du présent règlement, les forces réelles dynamiques se développant dans la construction seront remplacées par un système de forces fictives statiques dont les efforts seront considérés équivalents.

aux effets de l'action sismique

Les systèmes équivalents résultants de la combinaison sont formés :

- D'un système de forces élémentaires horizontales
- D'un système de forces verticales
- D'un système de couple de torsion d'ensemble axiale.

Pour notre cas, les charges sont axiales et symétriques, le couple de torsion n'existe pas, de même que l'action sismique. verticale, on doit considérer uniquement la force horizontale V

Calcul de la force sismique V

La force sismique horizontale totale agissant sur la structure est :

$$V = ABDQW \quad (\text{article 3-1 RPA-81})$$

A: coefficient d'accélération de zones : dépend du groupe d'usage de la structure et de la zone sismique.

Le château d'eau est donc considéré comme un ouvrage important nécessaire aux besoins vitaux (usage I)

$$\begin{array}{l} \text{groupe d'usage I} \\ \text{zone II} \end{array} \} A = 0,25$$

D: facteur d'amplification dynamique moyen, sera déterminé d'après le type de sol en fonction de la période T de l'ouvrage

Pour un sol ferme $D = 2\sqrt{\frac{0,7}{T}}$ (RPA. page 17)

château d'eau vide

$$T_V = 4,414 \rightarrow D = 0,92$$

château d'eau plein

$$T_P = 2,164 \rightarrow D = 0,744$$

B: facteur de comportement de la structure, dépend de son type et de la nature de ses contreventements.

Ouvrage reposant sur un voile porteur (fût) $\rightarrow B = \frac{1}{3}$ (voir RPA page 22)

Q = facteur de qualité du système de contreventement d'une structure donnée

est fonction de l'hyperstaticité et de la surabondance du système en plan, de sa régularité en élévation et de la qualité du contrôle pendant la construction.

$$Q = 1 + \sum_{q=1}^{q=6} P_q.$$

P_q : pénalité dépendant de l'observation

Dans notre cas tous les critères sont observés à savoir :

conditions minimales des files porteuses ... 0,1

symétrie en plan 0,1

surabondance en plan 0

régularité en élévation 0 d'où $Q = 1,3$

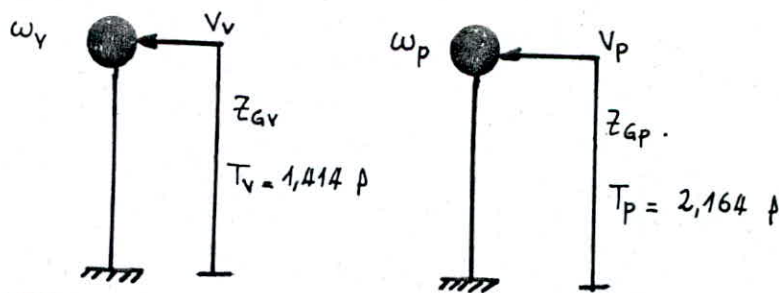
contrôle de la qualité du matériau 0,1

Contrôle de la qualité de la construction 0

W : poids de la structure, sa valeur comprend la totalité des charges permanentes

$W_v = 1063,34 \text{ t}$	$V_v = 636,57 \text{ t}$
$W_p = 3063,34 \text{ t}$	$V_p = 1481,43 \text{ t}$

La structure va osciller sous l'effet du séisme, ainsi pour la description du comportement physique de cette structure, on a recours à un modèle mathématique qui est caractérisé par les propriétés physiques du système oscillant

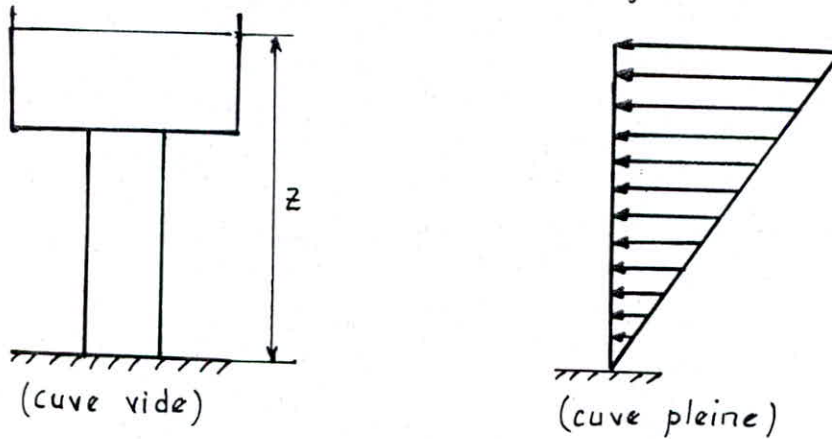


Remarque :

On a considéré toute la masse d'eau liéé rigidement à la cuve, on calculera donc l'effort agissant sur la structure. En réalité on aura une partie d'eau qui oscillera par rapport à la cuve, et ceci lors d'une secousse sismique (voir étude hydrodynamique). Ainsi on dimensionnera la structure en considérant le cas le plus défavorable.

Principe de modélisation

Notre structure sera modelisée comme étant une masse concentrée au niveau du centre de gravité de la cuve. Ceci en prenant comme hypothèse que la masse du support ne sera pas négligeable et qui sera uniformément répartie.



Moment fléchissant et efforts Tranchants

q_v (t.m)	z	δ	$M(z)$		$T(z)$		q_p (t.m)
			Cuve vide	Cuve pleine	Cuve vide	Cuve pleine	
26,673	47,73	0	0	0	0	0	0
	42,19	$0 \leq z \leq 5,54$	393,48	915,735	139,2	323,93	
	38,19	$0 \leq z \leq 9,54$	1132,90	2636,57	229,53	533,013	
	36,00	$0 \leq z \leq 13,54$					
	32	$0 \leq z \leq 17,54$	3600,40	8379,67	381,88	888,74	
	28	$0 \leq z \leq 21,54$					
	24	$0 \leq z \leq 25,54$	7147,64	1663,442	498,94	1161,23	
	20	$0 \leq z \leq 29,54$					
	16	$0 \leq z \leq 33,54$	11488,51	2673,676	580,29	1350,48	
	12	$0 \leq z \leq 37,54$					
	8	$0 \leq z \leq 41,54$	16336,9	38020,2	625,845	1456,5	
	4	$0 \leq z \leq 45,54$					
	0,00	$0 \leq z \leq 49,54$	21406,66	4981,886	635,63	1479,25	
	-2,5	$0 \leq z \leq 52,04$	22994,13	5350,64	634,36	1469,34	

62,075

IV-7 ETude de l'effet hydrodynamique de l'eau

Sous l'effet d'une excitation, la structure se met en mouvement. L'eau ne se comporte plus comme une masse rigidement liée à la cuve, mais une partie de l'eau oscille indépendamment de la vibration de la cuve, et ce dans ce cas là où le réservoir est partiellement rempli. Si les vibrations de l'eau oscillante et celle de la partie de l'eau inerte plus la structure sont en phase, cette dernière sera soumise à des efforts supérieurs à ceux trouvés sous l'hypothèse que l'eau et la cuve font un même corps.

Hypothèse de calcul

- Le liquide sera considéré comme incompressible.
- La dissipation d'énergie due à la viscosité du fluide sera négligée

Méthode Approchée de calcul d'après HOUZNER

Cette méthode aboutit à des expressions relativement simple. Dans cette modélisation, HOUZNER décompose l'action du liquide en deux types :

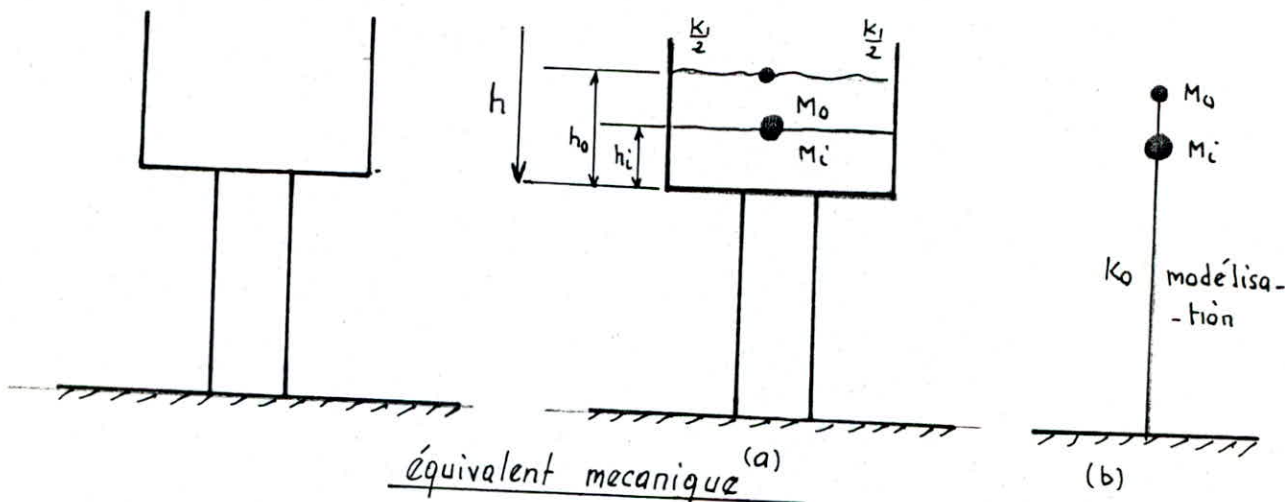
- une action passive provoquant des efforts d'impulsion.
- une action active provoquant des efforts d'oscillations.

Les efforts d'impulsion proviennent de ce qu'une partie de la masse du fluide dite "Masse passive", réagit par inertie à la translation des parois du réservoir. Son système mécanique équivalent est obtenu en considérant une masse M_i , liée rigidement au réservoir à une hauteur h_i telle qu'elle exerce sur les parois les mêmes efforts horizontaux que la masse d'eau équivalente.

Quant aux efforts d'oscillations, ils proviennent de ce qu'une autre partie de la masse du fluide, dite "MASSE ACTIVE" se met en mouvement d'oscillation sous l'action du séisme, son équilibre mécanique s'obtient en considérant une

une masse M_0 appliquée au niveau h_0

Dans le modèle adopté, la masse M_0 est reliée à la structure par une tige de même raideur k_1 formant un couplage direct avec M_i , tandis que M_i est relié par une tige représentant le support de la structure et de la constante de rappel k_0 . Pour simplifier les calculs, on admettra que la cuve réelle peut être remplacée toujours par une cuve cylindrique.



Le rayon R du réservoir est déterminé par les expressions suivantes:

$$V = \pi R^2 \cdot h$$

$$R = \sqrt{\frac{V}{\pi \cdot h}} ; \quad R = \sqrt{\frac{2000}{\pi \cdot 6,5}} \rightarrow R = 9,89 \text{ m}$$

$$\text{Taux de remplissage} \rightarrow \frac{6,5}{9,89} = 0,65 < 1,5$$

$$W_0 = W_e \frac{th(\sqrt{3} R/h)}{\sqrt{3} \cdot R/h} + M_{res} + M_{fût}$$

$$M_i = 2000 \frac{th(\sqrt{3} \cdot 9,89/6,5)}{(\sqrt{3} \cdot 9,89/6,5)} + (975,948 + 120) + (1536,9 + 75,338 + 12,054)$$

$$M_i = 3290,057 \cdot 10^4 \text{ N}$$

$$h_1 = \frac{3}{8} h = \frac{3}{8} \cdot 6,5 = 2,43 \text{ m.}$$

Masse active oscillante

$$W_1 = W_e \cdot 0,318 \frac{R}{h} t \cdot h (1,84 h/R)$$

$$h_0 = h \left[1 - \frac{ch(1,84 h/R - 1)}{1,84 h/R \cdot sh(1,84 h/R)} \right]$$

$$W_1 = 809,45 \cdot 10^4 \text{ N}$$

$$h_0 = 3,595 \text{ m.}$$

Pulsation de la masse oscillante

$$g = 9,81 \text{ m/s}^2$$

$$\omega_0^2 = 1,84 \frac{g}{R} \text{ th}(1,84 \frac{h}{R}) \longrightarrow \omega_0^2 = 1,526 \Rightarrow \boxed{\omega_0 = 1,235 \text{ rd}}$$

Calcul du poids de la masse active

$$k_1 = m_1 \omega_0^2 \longrightarrow m_1 = \frac{W_1}{g} = \frac{809,45 \times 10^4}{9,81} \longrightarrow m_1 = 825,127 \cdot 10^3 \text{ N}$$

$$m_0 = 335,378 \cdot 10^4 \text{ N}$$

$$k_1 = 825,127 \cdot 10^3 \cdot 1,526 \longrightarrow k_1 = 1259,68 \cdot 10^3 \text{ N/m}$$

Raideur du support

$$K_0 = \frac{P}{P'} \frac{3 \cdot E \cdot I}{\ell^3} \quad \text{avec} \quad P: \text{masse totale du château d'eau}$$

$$P = 975,948 + 2000 = 2975,948 \text{ t}$$

$$P' = 2975,949 + \frac{33}{140} \cdot 40,243 \cdot 38,19 = 3338,212 \text{ t}$$

$$K_0 = \frac{2975,948}{3338,212} \frac{3 \cdot 16,0975 \cdot 367,349 \cdot 10^8}{(40,69)^3} \longrightarrow K_0 = 0,23658 \cdot 10^8 \text{ N/m.}$$

Calcul des pulsations propres ω_1, ω_0 (du 1^{er} et 2^{eme} mode de vibration)

$$\omega_{1,2}^2 = \frac{1}{2} \left[\frac{k_{00}}{m_0} \frac{k_{11}}{m_1} \pm \sqrt{\left(\frac{k_{00}}{m_0} - \frac{k_{11}}{m_1} \right)^2 + 4 \frac{k_{01} \cdot k_{10}}{m_0 \cdot m_1}} \right]$$

avec

$$K_{00} = K_0 + k_1 = (0,23658 + 0,01259) \cdot 10^8 \longrightarrow k_{00} = 0,24917 \cdot 10^8 \text{ N/m}$$

$$k_{11} = k_1 = 0,01259 \cdot 10^8 \text{ N/m.}$$

$$k_{01} = k_{10} = -k_1 = -0,01259 \cdot 10^8 \text{ N/m.}$$

$$\omega_1 = 1,648 \text{ rd/s} ; \omega_2 = 2,9360 \text{ rd/s}$$

$$T_1 = \frac{2\pi}{\omega_1} = 3,812 \text{ s} ; T_2 = 2,140 \text{ s.}$$

Conclusion

— La période d'oscillation du 1^{er} mode fondamental est très grande, ceci est dû au fait que le mouvement de la masse d'eau active (oscillation est lente) est en phase avec l'oscillation de la structure.

Taux d'amplitude

$$\phi_{0n} = \frac{-k_{01}/m_0}{\frac{k_{00}}{m_0} - \omega_0^2}$$

$$\phi_{01} = \frac{-125,91/335,378}{\frac{2491,7}{335,378} - (1,648)^2}$$

$$\phi_{01} = -0,07955$$

$$\phi_{02} = +0,31496$$

Facteur de contribution

$$\frac{\gamma_{0n}}{\gamma_{0n}^2 + M_1} = \frac{m_0 \phi_{0n} + M_1}{m_0 \phi_{0n}^2 + M_1}$$

$$\gamma_1 = 1,31763$$

$$\gamma_2 = -0,2649$$

Calcul du déplacement (1^{er} mode, 2^{eme} mode)

1^{er} Mode

$$X_{11} = \gamma_1 \frac{Sv_1}{\omega_1}$$

$$X_{01} = \phi_{01} \cdot X_{11}$$

S_v : valeur de la vitesse maximale donnée par le spectre de (vitesse d'EL-CENTRO 1940). Elle est fonction de la période T et du coeff d'amortissement.

On admet 0,5% → amortissement critique de vibration de l'eau

$$\left. \begin{array}{l} T_1 = 4,019 \text{ s} \\ \zeta = 0,5\% \end{array} \right\} \rightarrow \left. \begin{array}{l} S_{v1} = 0,75 \text{ m/s} \\ X_{11} = 1,31763 \cdot \frac{0,75}{1,563} \end{array} \right\} \rightarrow X_{11} = 0,2995 \text{ m}$$

$$X_{01} = 0,079 \cdot 0,63 \rightarrow X_{01} = -0,0238 \text{ m}$$

2^{eme} Mode

$$\left. \begin{array}{l} T_2 = 2,238 \text{ s} \\ \zeta_2 = 2\% \end{array} \right\} \rightarrow \left. \begin{array}{l} S_{v2} = 0,695 \text{ m/s} \\ X_{12} = \frac{\gamma_2 \cdot S_{v2}}{\omega_2} \\ X_{02} \end{array} \right\} \rightarrow \left. \begin{array}{l} X_{12} = 0,5284 \text{ m} \\ X_{02} = 0,1664 \text{ m} \end{array} \right\}$$

Calcul des forces

1^{ere} Mode

$$F_{11} = k_{11} \bar{X}_{11} + k_{10} \bar{X}_{01} \rightarrow F_{11} = 40,7 \cdot 10^4 \text{ N}$$

$$F_{01} = k_{01} \bar{X}_{11} + k_{00} \bar{X}_{01} \rightarrow F_{01} = -97,04 \cdot 10^4 \text{ N}$$

$$F_{1t} = -56,31 \cdot 10^4 \text{ N}$$

2^{eme} Mode

$$F_{12} = k_{11} \bar{X}_{12} + k_{10} \bar{X}_{02} \rightarrow F_{12} = 45,57 \cdot 10^4 \text{ N}$$

$$F_{02} = k_{01} \bar{X}_{12} + k_{00} \bar{X}_{02} \rightarrow F_{02} = -125,8 \cdot 10^4 \text{ N}$$

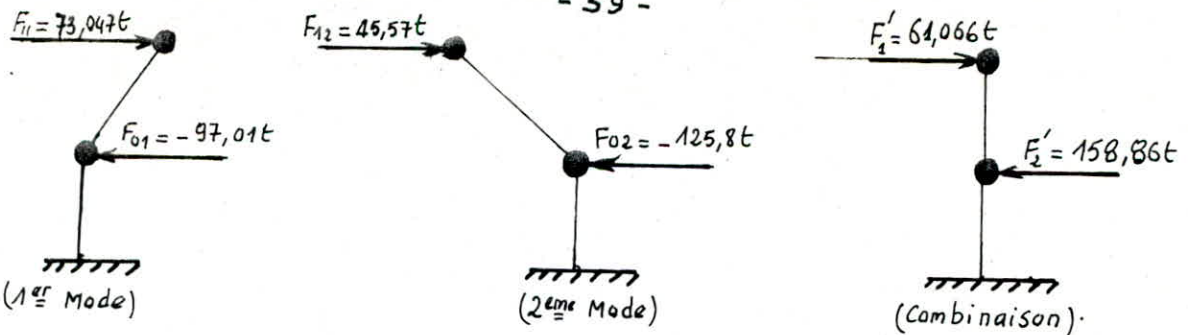
$$F_{2t} = -80,23 \cdot 10^4 \text{ N}$$

Combinaison des deux modes

La composition des deux modes est obtenue par superposition quadratique des forces.

$$F'_1 = \sqrt{F_{11}^2 + F_{12}^2} \rightarrow F'_1 = 61,099 t$$

$$F'_2 = \sqrt{F_{01}^2 + F_{02}^2} \rightarrow F'_2 = 158,86 t$$



Effort Tranchant à la base

$$\boxed{F_{el} = \sqrt{F_1'^2 + F_2'^2}} \rightarrow \boxed{F_e = 170,204 \cdot 10^4 N}$$

(F_e : force élastique)

La force réglementaire est donnée par

$$F_{reg} = B \cdot F_{el} = \frac{1}{3} \cdot 170,204 \cdot 10^4 \rightarrow \boxed{F_{reg} = 567,34 t}$$

$B = \frac{1}{3}$ (dépend de la structure, notre cas structure en voile.)

Moment fléchissant à la base

$$M = \frac{158,86}{3} \cdot 40,627 + \frac{61,099}{3} \cdot 41,785 \rightarrow \boxed{M = 3002,3426 cm.}$$

Remarque : Nous rappelons que dans l'étude sismique, les valeurs trouvées sont plus importantes qu'à celles trouvées dans l'étude hydrodynamique

Valeurs de T et M dans l'étude sismique

$$T = 1469,34 t$$

$$M = 5350,645 t.m$$

L'erreur relative rapportée au calcul

Moment fléchissant $\frac{M' - M}{M} = \frac{5350,645 - 3002,342}{3002,342} = 70\%$ L'erreur est donc vérifiée

Effort tranchant $\frac{T - T'}{T} = \frac{1469,34 - 567,36}{567,36} = 15,8\%$

Calcul de la hauteur maximale des vagues

$$\boxed{d_{max} = \frac{0,408 R}{\left(\frac{g}{\omega_0^2 \cdot \phi_{on} \cdot R} - 1 \right) \frac{t^h}{R} \left(1,84 \frac{h}{R} \right)}}$$

Au premier mode

On calcule les paramètres A_{11} et Θ_1

$$A_{11} = X_{11} - X_{01} \rightarrow A_{11} = 0,5802 m$$

$$\Theta_1 = 1,53 \frac{A_{11}}{R} h \left(1,84 \frac{h}{R} \right) \rightarrow \Theta_1 = 0,07507.$$

d'où

$$d_{max} = 62,7 cm$$

Au deuxième mode.

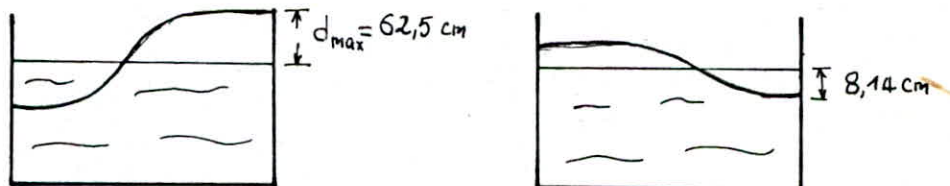
$$A_{12} = \bar{X}_{12} - \bar{X}_{02} \longrightarrow A_{12} = -0,08569 \text{ m}$$

$$\theta_2 = -0,01117$$

$$d_2 = -0,0814 \text{ m}$$

Ainsi la hauteur maximale de la vague pour la combinaison des deux modes sera:

$$d_{\max} = \sqrt{d_{1\max}^2 + d_{2\max}^2} \longrightarrow d_{\max} = 0,625 \text{ m}$$



Z	38,19	32,00	24	16	8	0,00	-2,5
T	61,099	139,85	220,6	296,7	394,3	493,2	567,34
M	137,5	222,10	499,6	1037,43	1603,72	2169,092	3002,242

Conclusion :

D'après l'étude des effets des lois hydrodynamique, on constate que l'on peut négliger l'effet des vagues. Cependant on doit prévoir une certaine hauteur suffisante, ceci pour amortir l'effet des vagues afin d'éviter l'endommagement de la coupole de couverture dû aux effets du mouvement de l'eau.

- On doit de même se rendre compte que l'action hydrodynamique et son effet engendrent sur la structure portante (la tour ou fût) des efforts supplémentaires et qui ne sont guères négligeables.

Ceci nous indique une augmentation du taux de travail du béton et de l'acier. Ces efforts supplémentaires seront tenus en compte en particulier pour des réservoirs de grandes capacités ($> 1000 \text{ m}^3$).

IV-8 Calcul de la tour

Combinaisons des efforts

Les vérifications seront faites d'après MARIUS-DIVER (calcul pratique des tours en béton armé), et conformément aux règles BA-68 et RPA 81

1^{er} cas : Vérification sous les actions du 1^{er} genre :

Les sollicitations dues aux actions d'ensemble à prendre en compte.

$$S_1^1 = G + P + V$$

$$S_1^2 = G + V$$

$$S_1^3 = G + 1,2P$$

on doit vérifier que :

$$\bar{\sigma}_{bm}(S_1^1, S_1^3) \leq 0,3 \bar{\sigma}_{28}$$

$$\bar{\sigma}_a(S_1^2) \leq \min \begin{cases} \frac{2}{3} \bar{\sigma}_{en} \\ \bar{\sigma}_2 (\text{résultat des conditions de fissuration}) \end{cases}$$

2^{eme} cas Vérification sous les actions du 2^{eme} genre

Les sollicitations à prendre en compte

$$S_2^1 = 1,1G + 1,1P + 1,1W$$

$$S_2^2 = 0,9G + 0,9P + 1,1W$$

$$S_2^3 = G + P + S_I$$

$$S_2^4 = 0,8G \pm S_I$$

La contrainte du béton dans le sens vertical doit vérifier :

$$\left. \begin{array}{l} \bar{\sigma}_b(S_2^1) \\ \bar{\sigma}_b(S_2^3) \end{array} \right\} \leq 1,5 (0,3 \cdot \bar{\sigma}_{28})$$

La contrainte de l'acier dans le sens vertical doit vérifier :

$$\left. \begin{array}{l} \bar{\sigma}_a(S_2^2) \\ \bar{\sigma}_a(S_2^3) \end{array} \right\} \leq \bar{\sigma}_{en} = 4200.$$

Nota : L'absence des gazs nocifs diminue les risques de corrosions du béton et de l'acier ce qui permet d'augmenter la valeur des contraintes admissible. Les règles pour les constructions des tours en béton armé qui reprennent dans les grandes lignes les prescriptions des règles en vigueur B.A, admettent les contraintes suivantes

Béton : sollicitation

||

1^{er} genre : $0,4 \bar{\sigma}_{28}$

2^{eme} genre : $0,6 \bar{\sigma}_{28}$

Aciers : sollicitation 1^{er} genre $0,7 \sigma_{en}$ (en fissuration)
" 2^{eme} genre σ_{en}

* Après tout calcul fait, on conclue, que les 2^{eme} cas (action du 2^{eme} genre) sont les plus défavorables.

$$P = 0,1 \text{ t/m}^2 \cdot s$$

$$S = \frac{\pi}{4} (D_{ex}^2 - D_{int}^2)$$

1^{ere} genre

(Cuve vide)

G + P + V					G + V				G + 1,2P			
Z	M	N	T	e	M	N	T	e	M	N	T	e
38,19	28,34	977,55	13,37	0,029	28,34	976,94	13,37	0,0290	0	977,87	0	0
32	85,37	1226,65	20,46	0,070	85,37	1225,04	20,46	0,0696	"	1226,97	"	"
24	218,79	1548,6	27,76	0,141	218,79	1546,99	27,76	0,0141	"	1548,92	"	"
16	434,97	1871,64	32,98	0,232	434,97	1870,03	32,98	0,233	"	1871,96	"	"
8	750,62	2192,46	36,12	0,342	750,62	2190,85	36,12	0,343	"	2192,78	"	"
0,00	1182,0	2514,41	37,16	0,470	1182,0	2512,80	37,16	0,470	"	2514,73	"	"
-2,5	1240,90	2615,01	38,42	0,474	1240,90	2613,4	38,42	0,475	"	2615,33	"	"

1^{ere} genre : (cuve pleine)

G + V + P					G + V				G + 1,2P			
Z	M	N	T	e	M	N	T	e	M	N	T	e
38,19	31,31	2977,55	14,69	0,0104	31,13	2975,94	14,69	0,0105	0	2977,87	0	0
32	93,78	3299,5	22,48	0,0284	93,78	3297,89	22,48	0,029	"	3299,82	"	"
24	240,34	3621,43	30,49	0,0663	240,34	3619,83	30,49	0,0664	"	3621,76	"	"
16	477,81	3943,37	36,23	0,121	477,81	3941,76	36,23	0,121	"	3943,69	"	"
8	824,55	4265,31	39,68	0,193	824,55	4263,70	39,68	0,2	"	4265,63	"	"
0,00	1298,42	4587,25	40,82	0,283	1298,42	4585,63	40,82	0,3	"	4587,56	"	"
-2,5	1381,71	4687,85	41,91	0,294	1381,71	4686,24	41,91	0,3	"	4688,17	"	"

2^{eme} genre

(cuve vide)

 $0,9G + 0,9P + 1,1W$ $G + P + S$ $1,1(G + P + W)$

z	M	N	T	e	M	N	T	e	M	N	T	e
38,19	54,66	879,80	25,74	0,062	113,29	977,55	229,03	0,1158	54,66	1075,31	25,74	0,0508
32	164,34	1103,99	39,39	0,148	360,040	1226,65	381,88	0,293	164,34	1349,32	39,39	0,121
24	311,17	1393,74	53,44	0,223	714,764	1548,6	498,97	0,461	311,17	1703,46	53,44	0,182
16	837,32	1684,48	63,49	0,497	1148,851	1871,64	580,29	0,6138	837,32	2058,81	63,49	0,406
8	1444,95	1973,22	69,53	0,732	1633,69	2192,46	625,845	0,7451	1444,95	2411,73	69,53	0,60
0,00	2276,18	2262,97	71,53	1,006	2140,666	2514,41	635,63	0,851	2276,18	2765,85	71,53	0,82
-2,50	1364,99	2353,51	73,39	0,58	2299,113	2615,01	631,36	0,88	1364,99	2876,51	73,39	0,474

(cuve vide)

 $0,8G + S$

z	M	N	T	e
38,19	113,29	780,75	229,03	0,1451
32	360,040	980,03	381,88	0,367
24	714,76	1237,59	498,97	0,572
16	1148,851	1496,02	580,29	0,768
8	1633,69	1752,68	625,845	0,932
0,00	2140,66	2010,24	635,63	1,065
-2,50	2299,113	2090,72	631,36	1,09

(cuve pleine)

 $0,8G + S$

M	N	T	e
263,657	2380,75	533,013	0,1107
837,907	2638,31	888,74	0,317
1663,442	2895,86	1161,23	0,574
2673,676	3153,41	1350,48	0,848
3802,02	3410,96	1456,5	1,115
4981,886	3668,5	1479,25	1,36
5350,634	3748,99	1469,34	1,4272

Z	$0,9G + 0,9P + 1,1W$				<u>2^{eme} genre : (Cuve pleine)</u>				$1,1(G + P + W)$			
	M	N	T	e	M	N	T	e	M	N	T	e
38,19	59,92	2679,8	28,281	0,022	137,5	2977,55	229,03	0,046	59,92	3275,31	28,281	0,0183
32,0	180,50	2903,98	43,274	0,0621	222,1	3299,5	381,88	0,067	180,51	3629,44	43,271	0,0497
24,0	462,63	3193,72	58,68	0,145	499,6	3621,43	498,97	0,138	462,63	3983,58	58,68	0,116
16,0	919,72	3483,5	69,74	0,264	1037,43	3943,37	580,3	0,263	919,72	4337,71	69,74	0,212
8,0	1587,15	3773,22	76,40	0,42	1603,72	4265,31	625,845	0,376	1587,15	4691,84	76,40	0,34
0,00	2499,29	4062,96	78,57	0,615	2169,09	4587,25	635,63	0,473	2499,29	5045,98	78,573	0,495
-2,5	3246,98	4153,5	80,014	1,28	3002,24	4687,85	631,36	0,640	3246,98	5156,64	80,014	0,63

sollicitations du 1^{er} genre

Z	cuve vide								cuve pleine							
	caractéristique de la section		G + P + V		G + V		G + 1,2P		G + P + V		G + V		G + 1,2P			
			Ω (cm^2)	I_V (cm^3)	G'_{b_1}	G'_{b_2}	G'_{b_1}	G'_{b_2}	G'_{b_1}	G'_{b_2}	G'_{b_1}	G'_{b_2}	G'_{b_1}	G'_{b_2}	G'_{b_1}	G'_{b_2}
38,19	$160,97 \cdot 10^3$	$58917 \cdot 10^3$	6,073	6,07	6,064	6,062	6,075	6,075	18,5	18,09	18,5	18,48	18,50	18,50	18,50	18,50
32	"	"	7,62	7,61	6,612	7,6	6,62	7,62	20,5	20,49	20,49	20,48	20,50	20,50	20,50	20,50
24	"	"	9,65	9,61	9,614	9,6	9,62	9,62	22,501	22,49	22,50	22,48	22,49	22,49	22,49	22,49
16	"	"	11,64	11,62	11,63	11,61	11,63	11,63	24,565	24,48	24,50	24,47	24,50	24,50	24,50	24,50
8	"	"	13,64	13,62	13,61	13,6	13,62	13,62	26,511	26,48	26,50	26,47	26,49	26,49	26,49	26,49
0,00	"	"	15,64	15,60	15,63	15,6	15,62	15,62	28,52	28,48	28,51	28,46	28,49	28,49	28,49	28,49
-2,5	"	"	16,27	16,22	16,26	16,21	16,25	16,25	29,15	29,09	29,14	29,09	29,13	29,13	29,13	29,13

- 66 -

Noyau central d'une section Annulaire : (de faible épaisseur)

$$e_1 = \frac{D_m}{4} = \frac{14,465}{4} = 3,616$$

On en déduit que sous les sollicitations du 1^{er} genre soit cuve pleine ou vide, la section sur toute la hauteur de la tour est entièrement comprimée car ($e < e_1$)

On en déduit de même que le tableau (T4) nous indique que la contrainte de compression dans le béton est inférieure à la contrainte admissible de compression $\bar{\sigma}_{b_m}$. Cependant la tour sous les sollicitations du 1^{er} genre sera ferroillée d'un pourcentage minimale d'acier et ceci d'après bien sûr les prescription du cahier de charges applicable à la construction en béton armé (ANNALES ITBP Art. 71)

Soit : Sens horizontal $\longrightarrow \sum (w_i + w_e) = 0,25\%$
Sens Vertical $\longrightarrow \sum (w_i + w_e) = 0,25\%$

Néanmoins l'effet le plus défavorable est obtenu sous les sollicitations du 2^{ème} genre. Ainsi les valeurs d'acier indiquées ci-dessus sont donnée à titre indicatif seulement.

Signalons que dans le cas des sollicitations du 1^{er} genre où la section est entièrement comprimée, le calcul de la contrainte maximale dans le béton est donné par la formule utilisée pour les matériaux homogènes

$$\sigma_{b_m} = \frac{N}{S_2} \pm \frac{M}{W} \quad \text{avec} \quad W = \frac{I}{r^2}, \quad W = \pi \cdot R_m^2 \cdot h_o, \quad S_2 = 2\pi \cdot R_m \cdot e$$

S_2 : aire de la section annulaire de béton homogène.

I : moment d'inertie de la section annulaire de béton homogénéisé

R_m : Rayon moyen du fût ($R_m = 14,465 \text{ m}$)

h_o : épaisseur du fût ($h_o = 35 \text{ cm}$)

Les tableaux ci-après nous donnent les valeurs des contraintes σ_{b_m}' et leur vérification vis-à-vis de la contrainte admissible $\bar{\sigma}_{b_m}'$

La section d'acier A correspondant au pourcentage total d'acier ($\sum w = w_e + w_i = 0,9\%$)

sera de : $A = \frac{\sum w \cdot 2\pi \cdot R_m \cdot h_o}{100} \longrightarrow A = 1448,77 \text{ cm}^2$.

avec

$$\left\{ \begin{array}{l} \sum w = 0,9\% \\ R_m = 7,32 \\ h_o = 35 \text{ cm} \end{array} \right.$$

solicitations du 2^eme genre

côtes z (m)	Caractéristique de la section		cuve vide				cuve pleine			
			Σ (cm ²)	$\frac{I}{V}$ (cm ³)	G'_{b_1} (kg/cm ²)	G'_{b_2} (kg/cm ²)	G'_{b_1}	G'_{b_2}	G'_{b_1}	G'_{b_2}
38,19	$160,97 \cdot 10^3$	$58917 \cdot 10^3$	6,68	6,67	5,47	5,46	20,35	20,34	16,65	16,64
32	"	"	8,39	8,37	6,86	6,85	22,55	22,54	18,04	18,03
24	"	"	10,59	10,57	8,66	8,65	24,76	24,73	19,85	19,83
16	"	"	12,80	12,77	10,48	10,45	26,96	26,93	21,66	21,62
8	"	"	15,01	14,95	12,30	12,23	29,17	29,12	23,47	23,41
0,00	"	"	17,22	17,14	14,10	14,02	31,39	31,30	25,30	25,19
-2,5	"	"	17,90	17,85	14,65	14,59	32,09	31,98	25,86	25,74

Conclusion en ce qui concerne le ferraillage de la tour

En ce qui concerne les sollicitations du 2^{eme} genre données par: $G + P + S_{Ih}$ et $0,8G + S_{Ih}$

Si l'on envisage les deux cas, cuve vide et cuve pleine et en examinant les tableaux dressés précédemment, on constatera que la section transversale n'est pas entièrement comprimée sur toute la hauteur de la tour. Cependant les tableaux nous indiquent que pour la majeure totalité des sections considérées, l'excentricité e due à la force verticale soit du noyau central avec $e = 3,616$

La section est donc partiellement comprimée ou totalement.

On en concluera donc que le ferraillage de la tour sera déterminé d'après la sollicitation du 2^{eme} genre, toutefois on calculera le ferraillage et pour le cas de la cuve vide et pour le cas de la cuve pleine. Cependant c'est le cas de la cuve pleine qui est déterminant pour le ferraillage de la tour

On procédera d'après "MARIUS-DINER".

Principe

On déterminera l'excentricité relative

avec M : moment fléchissant d'ensemble

N : effort Normal

R_m : Rayon moyen du fût

a : excentricité relative

$$a = \frac{M}{N R_m}$$

On se donne $\sum \omega = \omega_e + \omega_i$

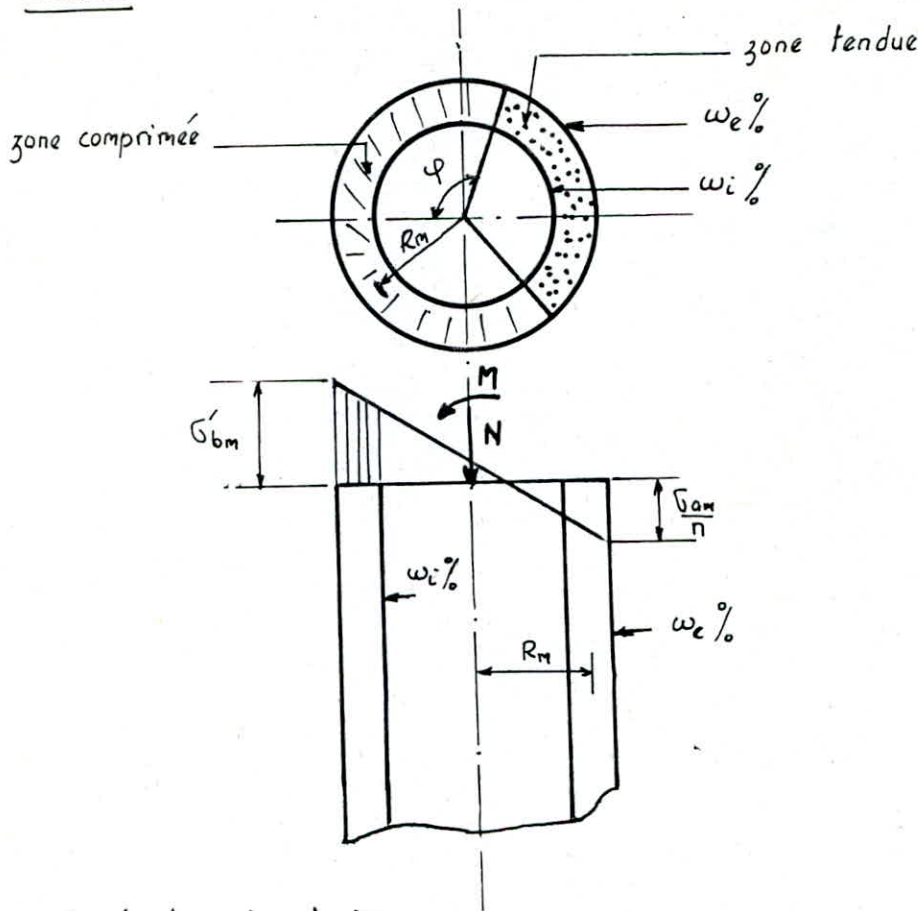
On tire du tableau C7 cas de charge A (dite sollicitation d'ensemble) dans le sens vertical

données $\longrightarrow \varphi, b, s$

Il en résulte

$$\begin{aligned} \bar{\sigma}_{bm}' &= \frac{N \cdot b}{R_m \cdot h_0} \\ \bar{\sigma}_{am} &= n \cdot s \cdot \bar{\sigma}_{bm}' \end{aligned}$$

schéma



Calcul de A_e et A_i

On calculera la section A correspondant au pourcentage total d'acier ($\sum \omega = \omega_e + \omega_i$)

d'après la formule suivante

$$A = \frac{\sum \omega \cdot 2\pi \cdot R_m \cdot h_0}{100}$$

Avec $R_m = 7,32 \text{ m}$
 $h_0 = 35 \text{ cm}$

Voir tableau

Ferraillage dans le sens transversal

L'effort tranchant produisant des cisaillements

d'après MARIUS - DIVER

$$\tau_b = H \cdot (b z) = \frac{H}{1,6 D_m \cdot h_0} \quad (\text{avec } z \approx 0,8 D_m)$$

avec b : largeur soumise au cisaillement du béton

$$b = 2h_0$$

Le béton étant fissuré à 45° sous l'effet du cisaillement, ainsi l'équilibre sera

solllicitations du 2^eme genre

(Cuve vide)

Côtes	$P + G + S_{Ih}$								$0,8G + S_{Ih}$								
	$z(m)$	$\ell(m)$	a	$\Sigma w\%$	b	φ°	S	G'_b	G_{an}	$\ell(m)$	a	$\Sigma w\%$	b	φ°	S	G'_b	G_{an}
38,19	0,1158	0,158	0,25	-	-	-	-	-	-	0,1451	0,2	0,25	-	-	-	-	-
32	0,293	0,400	"	-	-	-	-	-	-	0,367	0,501	"	0,305	176	0,001	31,82	0,4773
24	0,461	0,638	"	0,356	130	0,217	21,52	70,05	0,577	0,79	"	0,468	96	0,811	52,9	643,53	
16	0,6138	0,84	"	0,512	88	1,072	43,635	701,65	0,768	1,05	"	0,699	68	2,198	86,035	2836,6	
8	0,7451	1,02	"	0,672	70	2,040	57,507	1759,71	0,932	1,3	"	0,959	56	3,537	127,68	6724,06	
0,00	0,851	1,162	"	0,802	62	2,769	78,71	3269,22	1,065	1,455	0,40	0,9	62	2,769	128,9	5353,86	
-2,5	0,88	1,202	"	0,846	60	3,00	86,35	3885,75	1,09	1,50	0,50	0,87	66	2,371	127,3	4527,42	

solllicitations du 2^eme genre (cuve pleine)

Côtes	$G + P + S_{Ih}$								$0,8G + S_{Ih}$								
	$z(m)$	$\ell(m)$	a	$\Sigma w\%$	b	φ°	S	G'_b	G_{an}	$\ell(m)$	a	$\Sigma w\%$	b	φ°	S	G'_b	G_{an}
38,19	0,046	0,0062	0,25	-	-	-	-	-	-	0,1107	0,151	0,25	-	-	-	-	-
32	0,067	0,009	"	-	-	-	-	-	-	0,317	0,433	"	-	-	-	-	-
24	0,138	0,018	"	-	-	-	-	-	-	0,574	0,784	"	0,457	98	0,756	51,65	585,71
16	0,263	0,038	"	-	-	-	-	-	-	0,848	1,16	"	0,802	62	2,769	98,71	4099,92
8	0,376	0,051	"	-	-	-	-	-	-	1,115	1,52	0,30	0,993	58	3,254	132,2	6452,7
0,00	0,473	0,065	"	-	-	-	-	-	-	1,36	1,86	0,80	0,92	68	2,198	131,73	4343,14
-2,50	0,64	0,087	"	-	-	-	-	-	-	1,427	1,95	1,20	0,89	72	1,894	130,23	3699,83

assuré par les bielles comprimées à 45° de même par les armatures transversales.

Cependant il en résultera une traction dans les cercles. Cette contrainte de traction est donc

$$\sigma_{am} = \frac{100 \cdot H}{1,6 \cdot D_m \cdot \sum \omega \cdot h_0}$$

Elle est due à l'effort tranchant le plus important.

Dans notre cas, on constate que l'effort tranchant le plus important est dû au seisme, cas de la cuve pleine (sollicitation d'ensemble du 2^{ème} genre) $\rightarrow 0,8G + S$

direction du vent

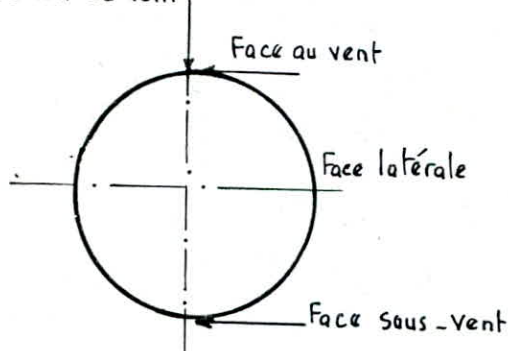


Fig: ETUDE du Ferrailage horizontal
(Annulaire)

Ainsi le ferrailage en cercle se fera donc en conséquence $H = T = 1469,34 t$.

Rappelons que dans le cas des sollicitations du 2^{ème} genre, l'effort tranchant sera majoré de 1,925 (d'après M. DIVER) donc on aura $1469,34 \cdot 1,925 \rightarrow H = 2828,5 t$

$$\sum \omega = \omega_e + \omega_i = 0,9 \%$$

Ainsi la contrainte de traction dans les cercles sera de: $\sigma_{am} = 3825,56 \text{ kg/cm}^2 < 4200 \text{ kg/cm}^2$

La section d'acier nécessaire sera donc $A = \omega \cdot h_0 = 0,9 \cdot 35 = 31,5 \text{ cm}^2/\text{m.l}$

$$A_i = A_e = \frac{31,5}{2} = 15,75 \text{ cm}^2/\text{m.l}$$

On pourrait prendre ce type de ferrailage sur toute la hauteur de la tour ($4 \times 4 \text{ T12/m.l}$) avec un espace entre $E = 20 \text{ cm}$ et la longueur de recouvrement $l_f = 50 \phi_{max} = 50 \cdot 1,2$
 $l_f = 60 \text{ cm}$

Conclusion :

Le ferrailage de la tour en ce qui concerne les armatures dans le sens vertical sera déduit d'après le cas le plus défavorable des sollicitations d'ensemble qui est $0,8G + S$ correspondant à la cuve pleine.

Z (m)	we %	wi %	Ae (cm²)	Ai (cm²)	Ae adopté	Ai adopté
38.19	0.125	0.125	201.22	201.22	90HA20	90HA20
32.00	"	"	"	"	"	"
24.00	"	"	"	"	"	"
16.00	"	"	"	"	"	"
8.00	0.15	0.15	241.46	241.46	"	"
0.00	0.40	0.40	643.9	643.9	90HA32	90HA32
-2.5	0.6	0.6	965.85	965.85	90HA40	90HA40

Remarque

L'effet du moment d'ovaliation est d'une faible importance sur notre ouvrage du fait que ce dernier est constitué d'un grand diamètre de la cuve et de la tour

IV-9 Fondation

Pour une tour en voile mince, la semelle continue est le type le moins coûteux, mais étant donné que la fondation sera dimensionnée par les sollicitations maximales de toutes les combinaisons d'effort. on a $M_{max} = 5350,34 \text{ t.m}$, $N_{max} = 4688,17 \text{ t}$
 $D_{moy_t} = 14,64 \text{ m}$.

Calcul de la charge à transmettre au sol par metre linéaire

$$P = \frac{N}{\pi} = \frac{N}{\pi D_m} \implies P = 101,98 \text{ t/ml}$$

on donne $D_f = 24,0 \text{ m}$, $e = 1,0 \text{ m}$, $h_f = 2,5 \text{ m}$.

Vérification des contraintes dues à ces sollicitations (cas le plus défavorable)

$$\bar{\sigma} = \frac{N}{S} + \frac{M \cdot v}{I} = \frac{N}{S} + \frac{M}{\omega}$$

$$S = \pi \cdot \frac{D_f^2}{4} = 452,16 \text{ m}^2, \quad \omega = \frac{\pi}{36} D_f^3 = 1356,48 \text{ m}^3$$

$$\bar{\sigma}_1 = \frac{4688,17 \cdot 10^3}{452,16 \cdot 10^4} + \frac{5350,34 \cdot 10^5}{1356,48 \cdot 10^6} = \boxed{1,43 \text{ kg/cm}^2 < \bar{\sigma}_s = 3,5 \text{ kg/cm}^2}$$

$$\bar{\sigma}_2 = \frac{4688,17 \cdot 10^3}{452,16 \cdot 10^4} - \frac{5350,34 \cdot 10^5}{1356,48 \cdot 10^6} = \boxed{0,641 \text{ kg/cm}^2 < \bar{\sigma}_s}$$

Vérification de la rigidité

$$\delta < 2h_f \quad \delta = 4,51 \text{ m}$$

$$\delta < 2,2,5 = 5 \text{ m}$$

Vérification au non poinçonnement : On doit vérifier que $\frac{1,6N}{P_c \cdot h_t} \leq 1,2 \bar{\sigma}_b$ ($\bar{\sigma}_b = 6,25 \text{ bar}$)
 $\Rightarrow \boxed{5,26 \leq 7,5 \text{ kg/cm}^2}$

Calcul des aciers

L'effort dans les armatures : $F = \frac{P(B-b)}{B(h_f-d)}$

$$\text{d'où } A = \frac{F}{\bar{\sigma}_a} = \frac{P(B-b)}{B(h_f-d)\bar{\sigma}_a} = 43,92 \text{ cm}^2 \Rightarrow A = 14 \text{ HA20} \quad \text{espacé de 20 cm}$$

$$\bar{\sigma}_a = \frac{P(B-b)}{8A(h_f-d)} = 1438,09 \text{ kg/cm}^2 < \bar{\sigma}_a = 1470 \text{ kg/cm}^2$$

- donc la contrainte adoptée $\bar{\sigma}_a = 1438,09 \text{ kg/cm}^2$ est admissible, compte tenu des risques de fissuration.

- Pour les armatures de répartition on prend $\frac{1}{4}$ des armatures longitudinales

$$A_1 = \frac{43,98}{4} = 10,995 \text{ cm}^2 \implies \boxed{\phi 16 = 12,06 \text{ cm}^2 \quad \text{espacé de 16,6 cm}}$$

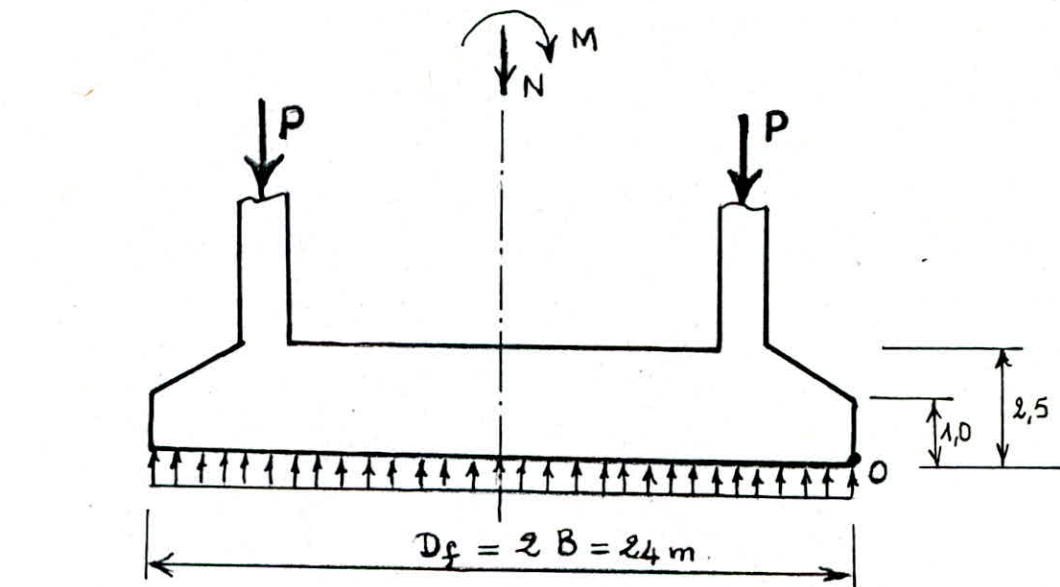


Schéma de fondation et
épure de la capacité portante
du sol de fondation.

Conclusion

En conclusion, on peut dire qu'un projet de fin d'étude est une synthèse de toutes connaissances acquises le long de la scolarité, une mise en évidence et en application de celles-ci à un cas spécifique. C'est aussi le passage du cycle académique (théorie) au cycle pratique.

On a appliqué ces connaissances à un château d'eau qui est considéré comme un ouvrage d'art dont le principal objectif a été de calculer les éléments résistants. Malgré les diverses difficultés rencontrées le long de notre travail qui nous ont amené soit à reconcevoir partiellement le projet, à ajouter ou modifier certains éléments indisponables. Nous avons constaté deux éléments importants :

Le phénomène hydrodynamique a des effets non négligeables sur la structure qu'il faut le prendre en compte dans les calculs pour les réservoir ou château d'eau de grande capacité. Il est souhaitable de faire une étude plus poussée sur ce phénomène. Le choix de la fondation nous a conduit à prévoir un radier au lieu d'une semelle annulaire même si les dimensions paraissaient énormes, donc ce choix est judicieux, on peut solutionner ce choix par un radier à caisson si celui-ci s'avère économique.

A) Programme de la TI59 : Formule de coolbrook pour le calcul du réseau maillé:

LRN 2nd LBL A 2nd stf lg 8 RCL 03 ÷ RCL 00 = 2nd log x 2 +/- +
 $1,14 = x^2 \frac{1}{x}$ STO 05 2nd LBL = $2,51 \times RCL 00 \times 2nd \pi \times RCL 04$
 $\div 4 \div RCL 01 2nd |x| \div RCL 05 \sqrt{x} + RCL 03 \div 3,7 \div RCL 00 = 2nd$
 $\log x 2 +/- = x^2 \frac{1}{x}$ STO 06 - RCL 05 = 2nd |x| INV 2nd $x \geq t x^2$
 $RCL 06 STO 05 GT0 = 2nd LBL x^2 RCL 06 \times 8 \times RCL 01 x^2 \div 2nd \pi$
 $x^2 \div 9,8 \div RCL 00 y^x 5 = STO 07 R/S \times RCL 02 = STO 08 SUM 09$
 $R/S \div RCL 01 = STO 10 SUM 11 R/S 2nd LBL B RCL 09 R/S$
 $\div RCL 11 R/S \div 2 = +/- STO 12 RCL 09 +/- SUM 09 RCL 11 +/-$
 $SUM 11 RCL 12 R/S LRN.$

• Stockage des données: $D \rightarrow STO 00$.

$Q_i \rightarrow " 01$
 $L_g \rightarrow " 02$ Precision: $10^{-5} x \leq t$
 $\epsilon \rightarrow " 03$
 $y \rightarrow " 04$

• Resultats: $A \rightarrow J_i$
 $R/S \rightarrow \Delta H_i$
 $R/S \rightarrow \Delta H_i/Q_i$

$B \rightarrow \sum \Delta H_i$
 $R/S \rightarrow \sum \frac{\Delta H_i}{Q_i}$
 $R/S \rightarrow - \frac{\sum \Delta H_i}{\sum \frac{\Delta H_i}{Q_i}} = \Delta Q_o$

B)

le programme qui permet de calculer le Reynolds, le gradient de perte charge, les p.d.c et le coefficient:

LRN LBL A $1,14 - 0,86 \times (RCL 01 \div RCL 02)$ STO 07 $\ln x = x^2 \frac{1}{x}$
 $STO 05 STO 08 RCL 03 \times RCL 02 \div RCL 00 = STO 06 R/S 2nd LBL B$
 $(RCL 07 \div 3,7 + 2,51 \div RCL 06 \div RCL 08 \sqrt{x}) \ln x \times 0,86 = x^2 \frac{1}{x}$
 $STO 09 - RCL 08 = 2nd |x| INV 2nd x \geq t RCL 09 STO 08 GT0 B$
 $2nd LBL C RCL RCL 09 \times RCL 03 x^2 \div 19,6 \div RCL 02 = STO 10 R/S$
 $2nd LBL D RCL 10 \times RCL 04 = STO 11 R/S 2nd LBL E RCL 11$
 $\times 0,15 = STO 12 R/S 2nd LBL F RCL 12 + RCL 11 = R/S LRN$

• Stockage des données:

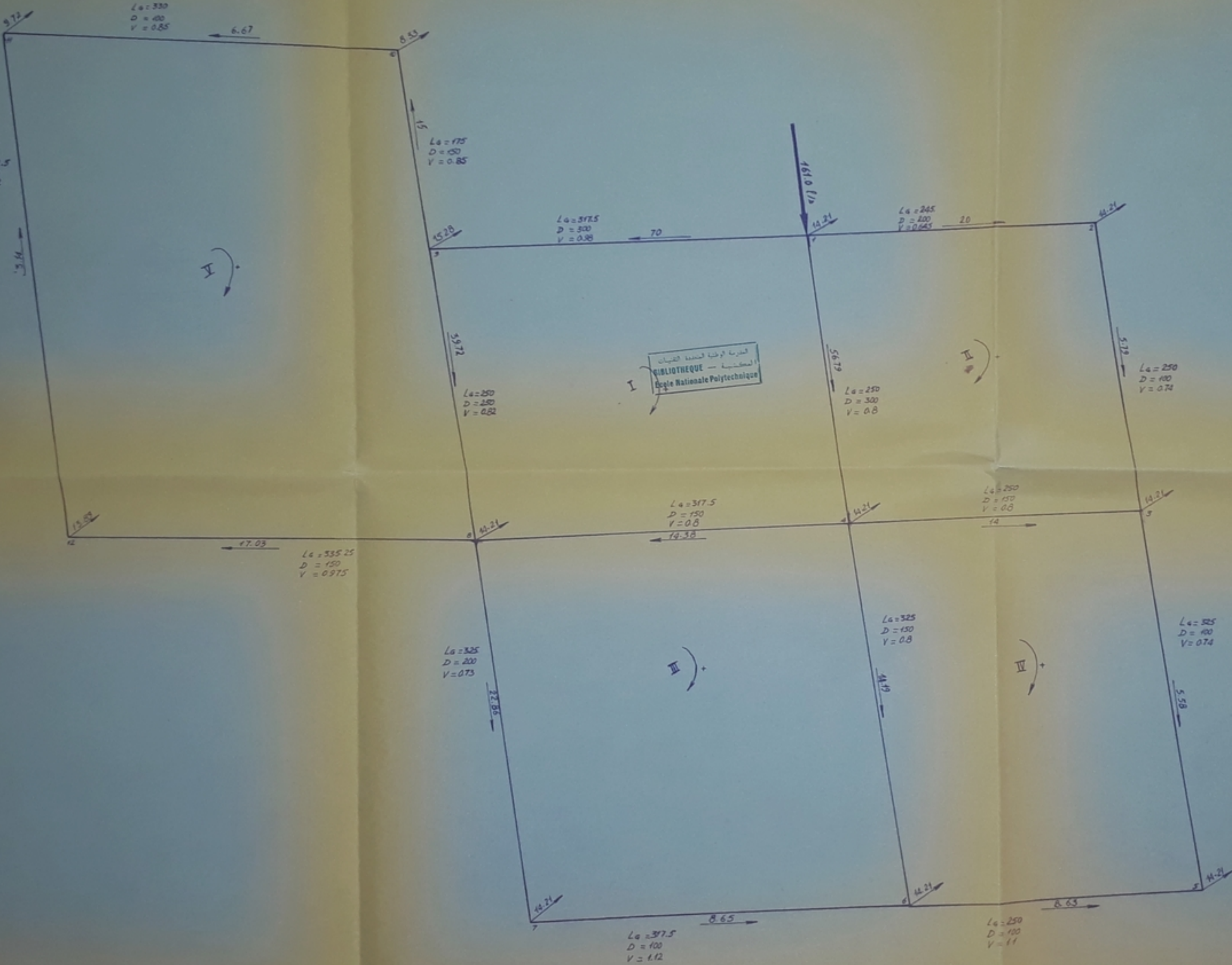
$y \rightarrow STO 00$
 $\epsilon \rightarrow " 01$
 $D \rightarrow " 02$
 $V \rightarrow " 03$
 $L_g \rightarrow " 04$
 $x \leq 10^{-4}$

Resultats:

$A \rightarrow Re$
 $B \rightarrow J$
 $C \rightarrow \Delta H_L$
 $D \rightarrow \Delta H_s$
 $E \rightarrow \Delta H_f$
 $RCL 05 \rightarrow f_{Nik}$
 $RCL 09 \rightarrow f_{co.}$

- BIBLIOGRAPHIE -

- [1] A. DUPONT
"Hydraulique Urbaine Tome II"
- [2] A. GUERRIN
"Traité en béton armé Tome VI"
- [3] TIMOSHENKO
"Théorie des plaques et coques"
- [4] R. BARES
"Calcul pratique des tours en Béton armé"
- [5] P. CHARRON
"Calcul et vérification des ouvrages en Béton armé"
- [6] M. JACOBSON
"Technique des travaux Tome I"
- [7] RILI - SALHI
"Conception et calcul des structures soumises aux séisme"
- [8] "Annales de L'I.T.B.T.P N° 306 Juin 1973"
- [9] "Annales de L'I.T.B.T.P N° 280 Avril 1971"
- [10] Regles C.C.B.A 68
 R.P.A 81
 N.V 65



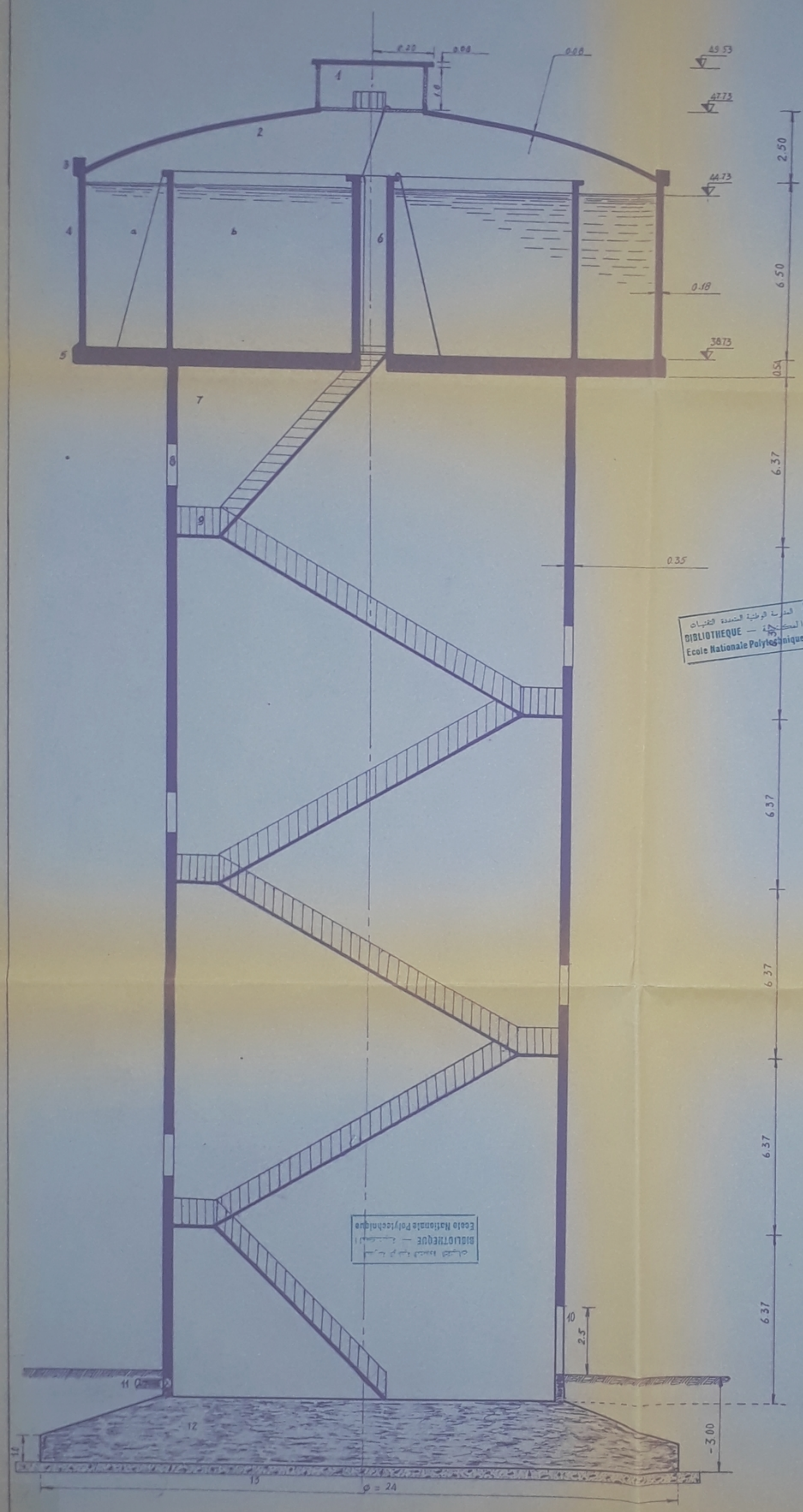
PH 03696

- 1-

المرساة الوطنية المتعددة الفئران
BIBLIOTHEQUE — المكتبة
Ecole Nationale Polytechnique

ECOLE	NATIONALE	POLYTECHNIQUE
ETUDE TECHNIQUE D'UN CHATEAU D'EAU (2000 m ²)		
RESEAU MAILLE		
ETUDIE PAR	PLANCHE N° 1	ECHELLE : HORizontale → 500 mm VERTICALE → 500 mm
A. HADJAM A. BOUMALI	PROPOSE PAR	PROMOTION
DIRIGE PAR :	MR FARKAS	JUIN 86
MR FARKAS		

$\begin{cases} V \rightarrow [m] \\ D \rightarrow [mm] \\ \theta \rightarrow [deg] \end{cases}$



PH 03686

- 2 -

ANNEXES

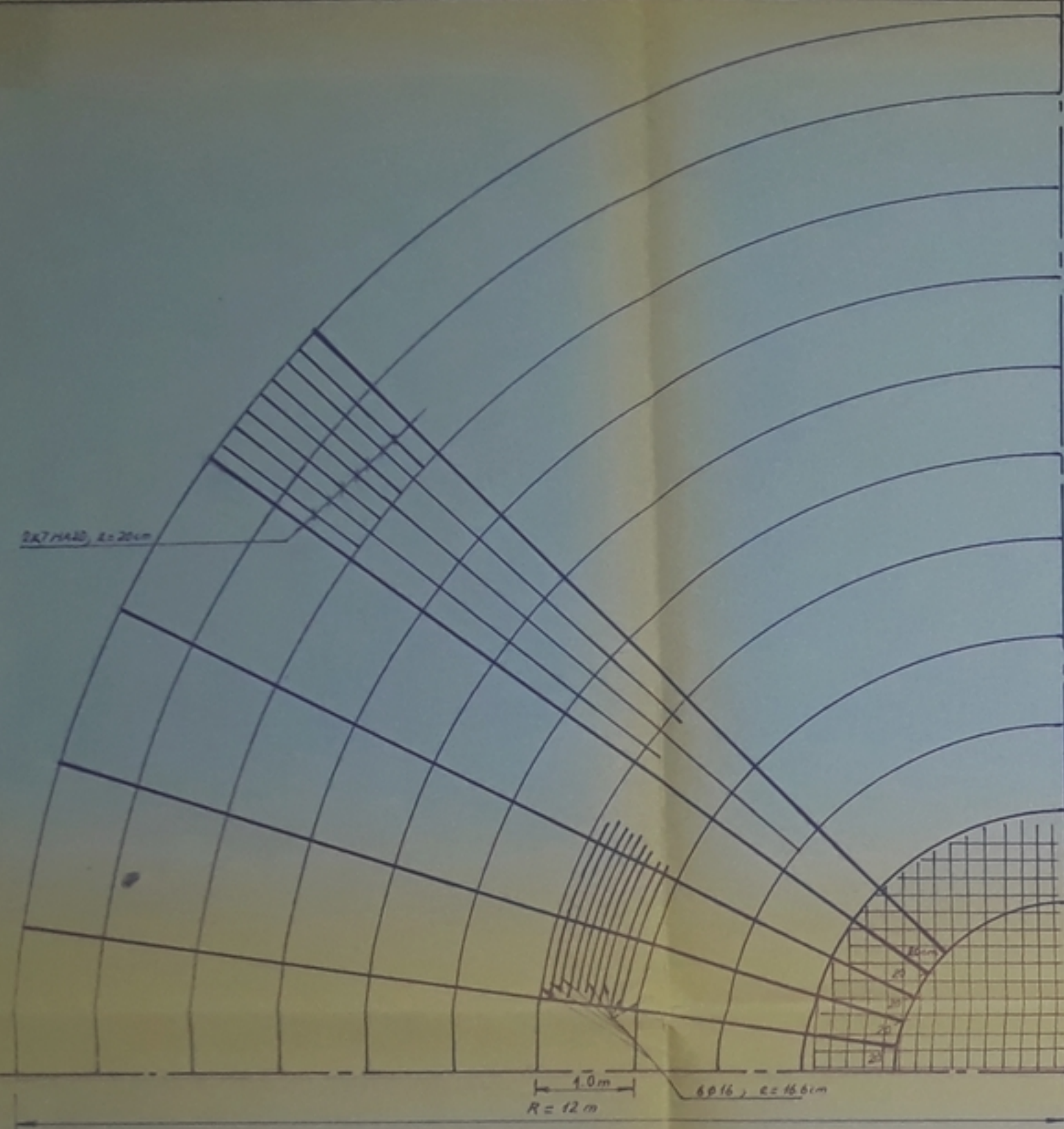
- 1. L'ANTERNEAU (DALLE CIRCULAIRE + 8 POTEAUX GRILLAGE)
- 2. EUPOLE
- 3. CEINTURE SUPERIEURE + ACROTERE
- 4. CUVE (Ø=6 m)
- 5. CEINTURE INFERIEURE
- 6. ACCES
- 7. FÔT
- 8. FENETRE
- 9. DALLE DE REPOS + ECHELLES METALLIQUES
- 10. PORTE DE VISITE
- 11. CONDUITE POUR ALIMENTATION DU RESERVOIR
- 12. FONDATION
- 13. BETON DE PROPRETE

المنارة الوطنية المتعددة الفنون
المكتبة —
BIBLIOTHEQUE —
Ecole Nationale Polytechnique

ECOLE	NATIONALE	POLYTECHNIQUE
ETUDE TECHNIQUE D'UN CHATEAU D'EAU (2000 m³)		
VUE D'ENSEMBLE DE L'OUVRAGE		
ETUDIE PAR A. HADJAM A. BOUHALI DIRIGE PAR : MR FARKAS	PLANCHE N° 2 PROPOSE PAR MR FARKAS	ECHELLE : HORZ.: 1cm → 60m VERT.: 1cm → 60m PROMOTION JUIN 86

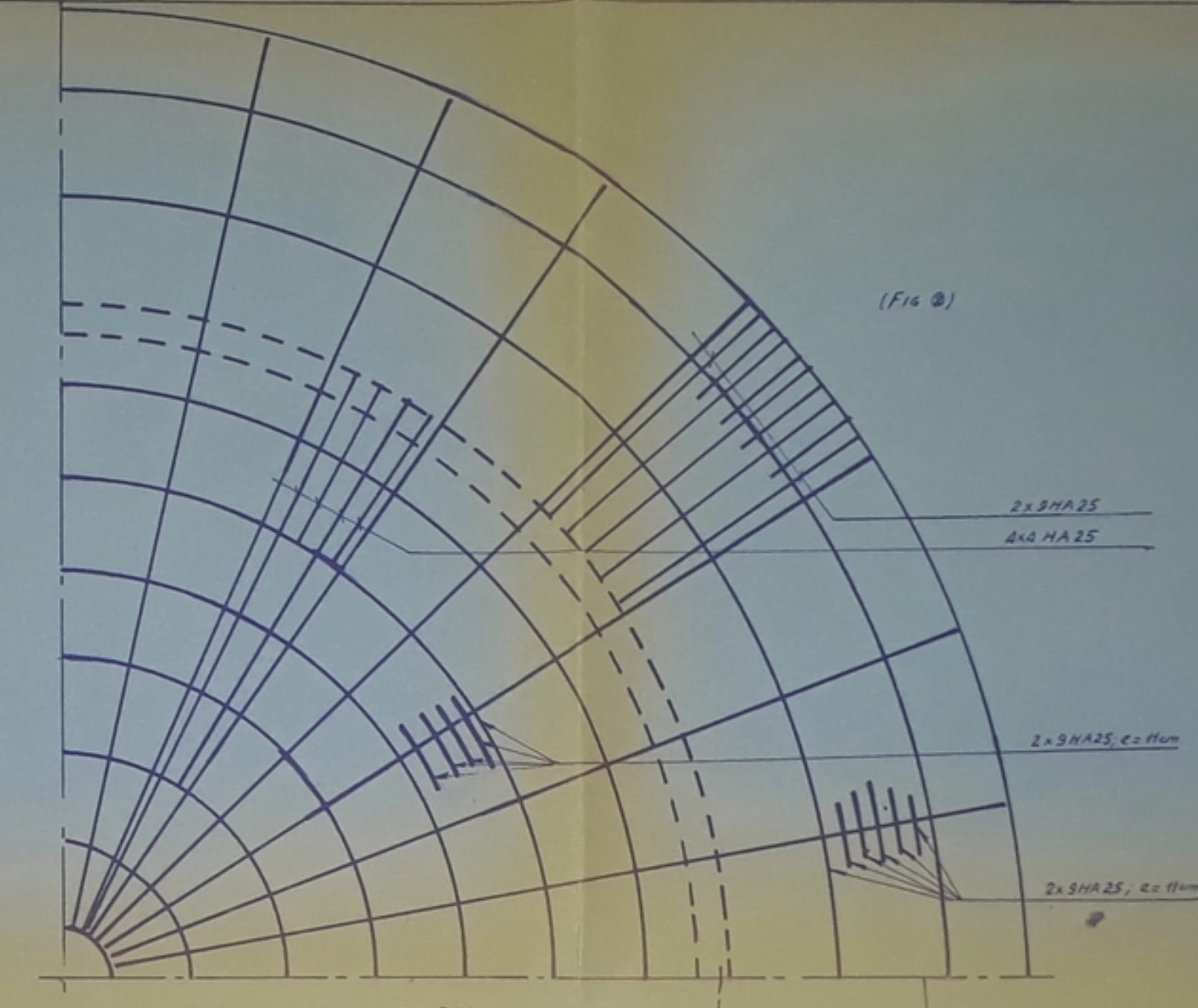
PH 03686

- 3 -

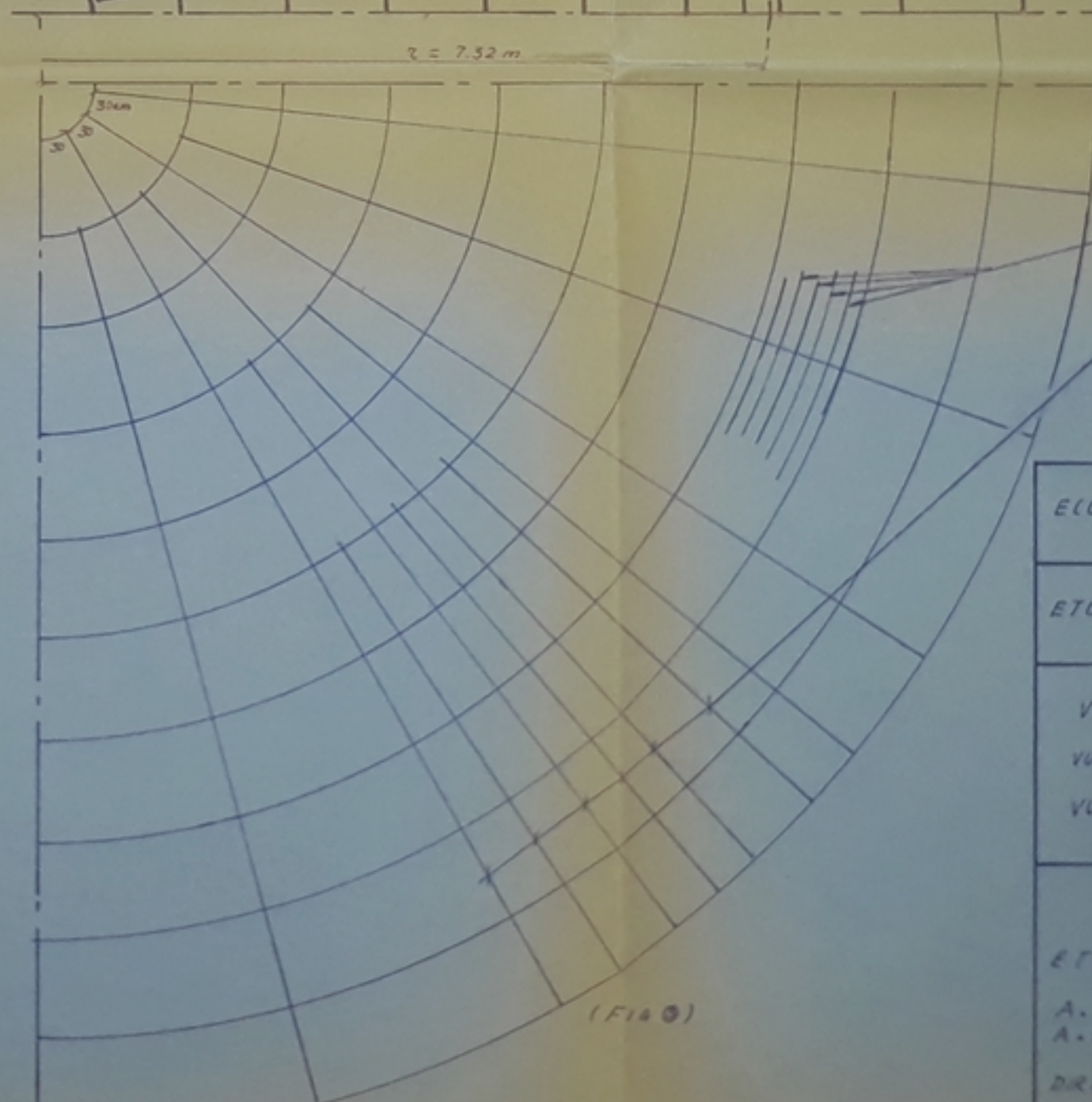


(FIG 0)

المدرسة الوطنية المتعددة التخصصات
BIBLIOTHEQUE —
Ecole Nationale Polytechnique



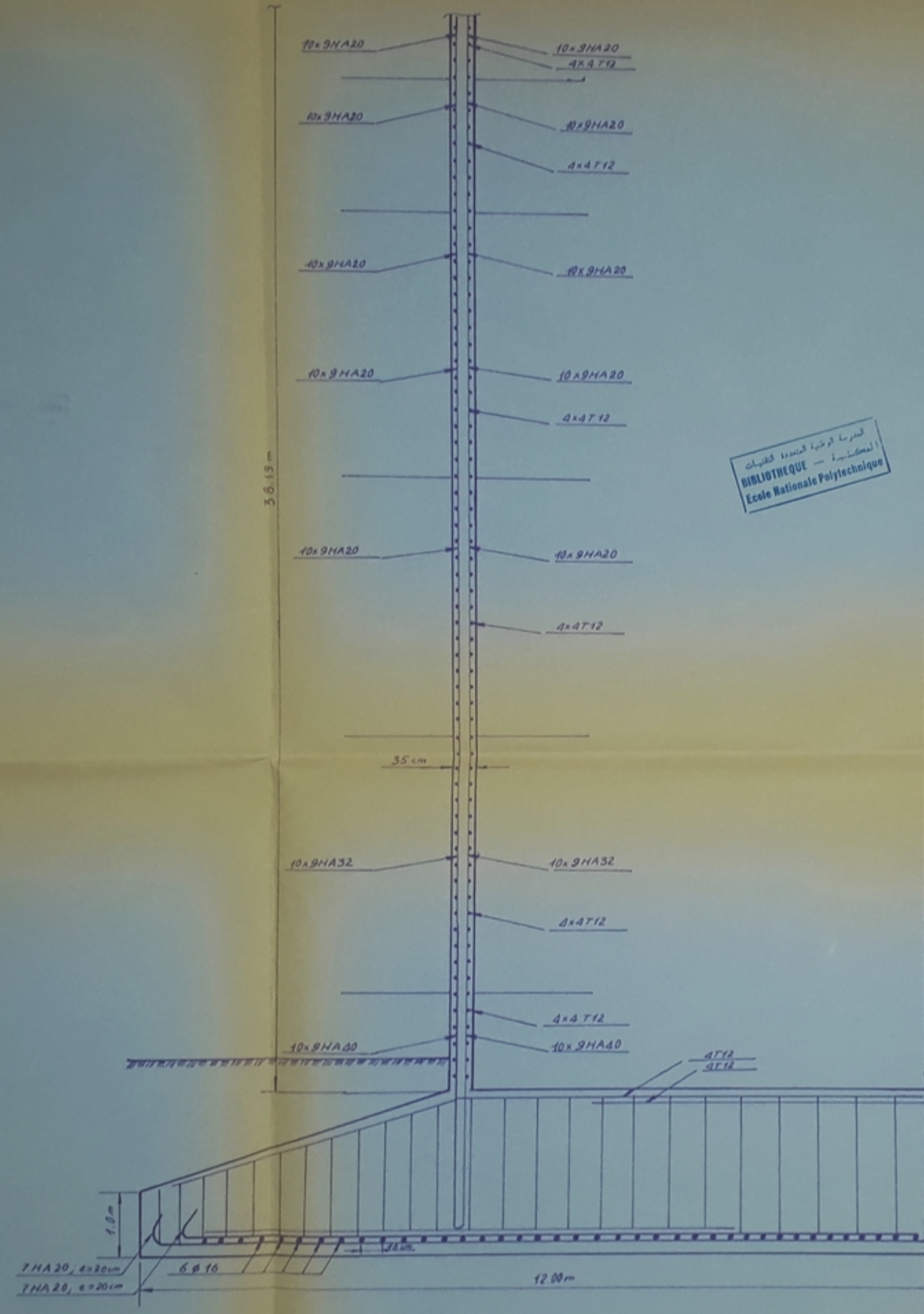
(FIG 0)



(FIG 0)

ECOLE NATIONALE POLYTECHNIQUE	PLANCHE N° 3	ECHELLE : HORZ.) 1:50 VERT.
ETUDE PAR A. HADJAM A. BOUMALI DIRIGE PAR : M. FARKAS	PROPOSE PAR : M. FARKAS	PROMOTION JUIN 86

الجامعة المغربية للعلوم والتكنولوجيا
BIBLIOTHEQUE —
Ecole Nationale Polytechnique



الجامعة الوطنية للمهندسين
BIBLIOTHEQUE — المكتبة
Ecole Nationale Polytechnique

الجامعة الوطنية للمهندسين
BIBLIOTHEQUE — المكتبة
Ecole Nationale Polytechnique

PHO 36 86

- 4 -

الجامعة الوطنية للمهندسين
BIBLIOTHEQUE — المكتبة
Ecole Nationale Polytechnique

ECOLE NATIONALE POLYTECHNIQUE		
ETUDE TECHNIQUE D'UN CHATEAU D'EAU (2000 m ³)		
FERRAILLAGE DE TOUR ET FONDATION COUPES LONGITUDINALES		
ETUDIE PAR	PLANCHE N° 4	ECHELLE : HORI : 1 cm → 10 m VERT : 1 cm → 10 m
A. MADJAM A. BOUJALI	PROPOSE PAR	PROMOTION
DIRIGE PAR :	MR FARKAS	JUIN 86
MR FARKAS		

المدرسة الوطنية المتعددة التقنيات
للسكنكية —
BIBLIOTHEQUE —
Ecole Nationale Polytechnique

الجامعة الوطنية المتعددة التقنيات
BIBLIOTHEQUE — مكتبة
Ecole Nationale Polytechnique

ECOLE NATIONALE POLYTECHNIQUE

ETUDE TECHNIQUE D'UN CHATEAU D'EAU (2000M³)

SCHEMA DE FERRAILLAGE

DES ELEMENTS DE LA CUVE

ETUDIE PAR
A. HADJAM
A. BOUHALI
DIRIGE PAR
MR FARKAS

PLANCHE
N° 5

PROPOSE PAR
M^{me} FARKAS

ECHELLE :
HORZ.) 1cm → 113 m
VERT.)

